

50376
1970
191

50376
1970
191

FOUQUART Yves



SCD LILLE 1



D 030 307862 4

50376
1970
191

UNIVERSITE DE LILLE
FACULTE DES SCIENCES

THESE DE : DOCTORAT DE 3ème Cycle
DISCIPLINE : OPTIQUE

N° d'Ordre
183

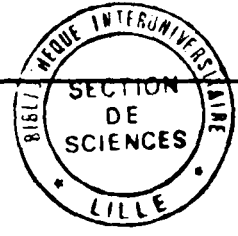
50376
1970
191

NOM DU CANDIDAT : FOUQUART Yves

JURY : PRESIDENT : Madame LENOBLE - Professeur
RAPPORTEUR : Directeur du Travail : Mme LENOBLE
EXAMINATEURS : MM. MONTEL et RACZY
INVITE : M. AMAT - Professeur à la Faculté des Sciences de PARIS

TITRE DE LA THESE :

CONTRIBUTION A L'ETUDE DU TRANSFERT RADIATIF DANS L'ATMOSPHERE
EFFET D'UNE BRUME SUR L'ECHAUFFEMENT RADIATIF



RESUME

L'absorption du flux solaire incident par les gaz atmosphériques joue un rôle important dans le bilan énergétique de l'atmosphère.

En présence d'une couche diffusante, l'équilibre radiatif est modifié. On a étudié l'influence d'une brume sur l'échauffement radiatif dû à l'absorption du flux solaire dans le proche infra-rouge. Cette étude, d'abord effectuée en tenant compte de la seule diffusion primaire a montré qu'il n'était pas possible de négliger les diffusions multiples. On a alors été amené à mettre au point une méthode de résolution de l'équation du transfert radiatif en milieu inhomogène et on a pu mettre en évidence l'effet très important d'une couche de brume sur l'échauffement radiatif.

Soutenance prévue le Mardi 21 AVRIL 1970

à 10 heures

Bâtiment des Enseignements de Physique

Amphithéâtre FRESNEL



030 030086 5

Ce travail a été effectué au Laboratoire d'Optique Atmosphérique de la Faculté des Sciences de Lille, sous la direction de Madame LENOBLE, Professeur. Je tiens à lui exprimer ici ma profonde gratitude pour les constants encouragements et les précieux conseils qu'elle m'a donnés.

Je remercie l'ensemble du personnel du Laboratoire de Calcul Numérique pour l'aide qu'il m'a apportée et en particulier Messieurs STRUYVE et GEST, qu'ils trouvent ici, avec mes remerciements l'assurance de ma sincère amitié.

Ma reconnaissance va également à Messieurs AMAT, MONTEL et RACZY qui ont fait l'honneur de bien vouloir faire partie de mon jury.

Je tiens, enfin, à remercier tous mes collègues de Laboratoire pour leur aide amicale.

INTRODUCTION

Ce travail représente le développement d'une étude commencée, dans le cas de la diffusion primaire, par J. LENOBLE et A. CURTIS au Jet Propulsion Laboratory sur la suggestion de L. KAPLAN.

L'absorption par les gaz atmosphériques du rayonnement solaire a un effet important sur l'équilibre thermique de l'atmosphère. Les radiations de courte longueur d'onde sont absorbées dans la haute atmosphère où la densité de l'air est très faible et leur effet sur le bilan énergétique est négligeable. Les radiations de grande longueur d'onde (supérieures à 3μ) sont émises en très faible quantité par le soleil et leur effet est aussi négligeable. Entre $0,3 \mu$ et 3μ l'émission solaire est importante et il existe de nombreuses bandes d'absorption dont les plus importantes sont celles de la vapeur d'eau et du gaz carbonique dans le rouge et le proche infrarouge.

Le rayonnement solaire est aussi diffusé par les molécules d'air et par les aérosols en suspension. La diffusion moléculaire dans le proche infrarouge est très faible, la profondeur optique diffusante totale variant de 0,01 pour 1μ à 0,0001 pour 3μ et son effet sur l'échauffement radiatif est probablement très faible. Dans le cas des aérosols en suspension dans l'air dus essentiellement à la pollution atmosphérique et surtout dans le cas des brumes la profondeur optique diffusante est beaucoup plus grande et l'effet de la diffusion n'est sans doute pas négligeable. Au cours de cet exposé nous nous proposons donc de calculer l'échauffement radiatif, provoqué par l'absorption du rayonnement solaire dans le proche infrarouge, en tenant compte de la diffusion et de comparer les résultats à ceux que l'on obtient en négligeant la diffusion.

Les brumes étant relativement peu diffusantes on peut penser à priori que l'effet essentiel serait dû à la diffusion primaire; nous calculerons donc, en premier lieu l'échauffement radiatif en négligeant les diffusions multiples. Dans le cas où les résultats seraient peu affectés par la diffusion primaire on pourrait alors négliger l'influence des diffusions multiples.

Nous étudierons ensuite l'influence des diffusions multiples dans le cas de brumes suffisamment diffusantes et il nous faudra pour cela mettre au point une méthode de résolution de l'équation du transfert radiatif adaptée au cas des couches inhomogènes. Afin de tester la précision de la méthode nous en comparerons les résultats avec ceux obtenus dans le cas de couches homogènes, pour une méthode exacte. Nous étudierons ensuite l'échauffement provoqué par l'absorption du rayonnement solaire par une raie de la vapeur d'eau en calculant la moyenne des échauffements monochromatiques obtenus point par point et nous comparerons les résultats à ceux obtenus par un calcul direct de l'échauffement moyen dans la raie. Nous pourrions ainsi évaluer la précision des méthodes de calcul de la transmission moyenne et du coefficient d'absorption moyen pour une raie ou pour une bande. Enfin nous étudierons le cas de bandes d'absorption de la vapeur d'eau dans le proche infrarouge.

DEFINITIONS RAPPELS ET NOTATIONS

I/ ABSORPTION PAR UNE RAIE SIMPLE

Cas d'une couche homogène

Considérons une couche d'épaisseur Z d'un milieu absorbant homogène de coefficient d'absorption k_ν ; soit I_0 l'intensité d'un rayonnement incident monochromatique de fréquence ν faisant l'angle θ avec la verticale, à la sortie de la couche l'intensité du rayonnement sera

$$I = I_0 \exp\left(-\frac{1}{\mu} k_\nu Z\right)$$

où $\mu = \cos \theta$

La transmission à la fréquence ν est donc

$$T(\nu) = \frac{I}{I_0} = \exp\left(-\frac{1}{\mu} k_\nu Z\right)$$

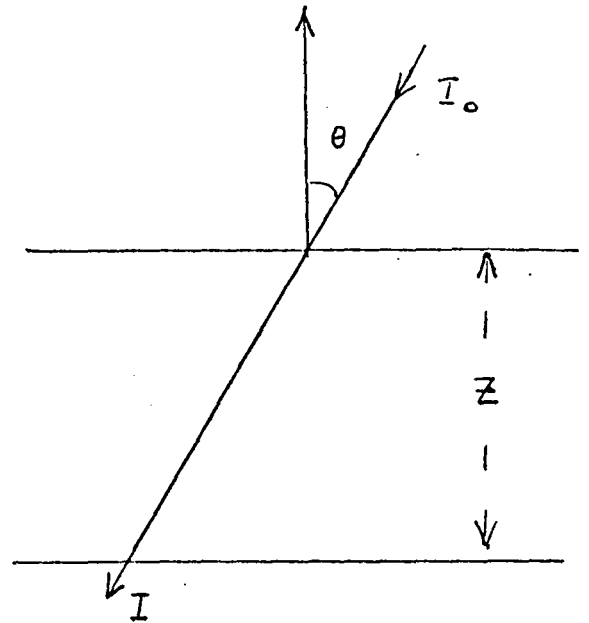
et la transmission moyenne sur un intervalle de fréquence $\Delta\nu$

$$T = \frac{1}{\Delta\nu} \int_{\Delta\nu} T(\nu) d\nu = \frac{1}{\Delta\nu} \int_{\Delta\nu} \exp\left(-\frac{1}{\mu} k_\nu Z\right) d\nu \quad (I-1)$$

Le coefficient d'absorption k_ν est décomposé suivant un produit de termes $\sigma g(\nu)$ où σ figure l'intensité totale de la raie

$$\sigma = \int_{\text{raie}} k_\nu d\nu$$

et $g(\nu)$ figure la forme de la raie. Cette forme est due aux collisions entre les molécules des différents gaz présents dans l'atmosphère et pour une part très inférieure à l'élargissement Doppler dû aux mouvements thermiques des



molécules. L'effet prépondérant des collisions dans la basse atmosphère nous conduit à prendre pour $g(\nu)$ l'approximation de LORENTZ :

$$k_{\nu} = \frac{\sigma \phi \alpha}{\pi [(\nu - \nu_0)^2 + \alpha^2]} \quad (I-2)$$

où

- α est la demie largeur de raie définie par la largeur de la raie pour une intensité égale à la moitié de l'intensité maximum. Elle est fonction de la température et de la pression

- ρ est la densité d'absorbant

- ν_0 est la fréquence au centre de la raie.

Nous pouvons calculer, dans le cas d'une raie de LORENTZ la transmission moyenne dans un intervalle $\Delta\nu$ ne contenant qu'une seule raie. Posons $u = \frac{\sigma \rho}{2\pi\alpha} \frac{Z}{\mu}$, nous obtenons

$$T = 1 - \frac{2\pi\alpha}{\Delta\nu} L(u) \quad (I-3)$$

où $L(u) = u e^{-u} (I_0(u) + I_1(u))$ est la fonction de LADENBURG et REICHE; I_0 et I_1 sont les fonctions de Bessel modifiées de première espèce.

Nous appellerons largeur équivalente de la raie la quantité

$$W = \int_{\Delta\nu} \left[1 - \exp\left(-\frac{1}{\mu} k_{\nu} Z\right) \right] d\nu = 2\pi\alpha L(u) \quad (I-4)$$

Cas d'une couche non homogène

Dans l'atmosphère la pression p et la température T varient le long du trajet du rayonnement en fonction de l'altitude z . De ce fait l'intensité σ et la demie-largeur de raie α varient avec z . Dans ce cas la transmission moyenne de la couche d'épaisseur Z sur un intervalle spectral $\Delta\nu$ s'exprime par

$$T = \frac{1}{\Delta\nu} \int_{\Delta\nu} \exp\left(-\frac{1}{\mu} \int_0^Z k(z) dz\right) d\nu \quad (I-5)$$

Etude de la demie largeur de raie $\alpha(z)$

Dans le cas d'un élargissement prépondérant du aux collisions entre les molécules des différents gaz atmosphériques (raie de LORENTZ) la demie-lar-

ur α est inversement proportionnelle au temps moyen τ séparant deux chocs consécutifs $\alpha = \frac{1}{4\pi\tau}$. Dans un gaz pur τ est proportionnel au libre parcours moyen ℓ des molécules et inversement proportionnel à leur vitesse moyenne V , soit $\alpha \sim \frac{\ell}{V}$. Le libre parcours moyen est $\ell = \frac{1}{n\pi\sigma^2}$ où σ est la section efficace de choc et n le nombre de molécules par unité de volume. A température constante n est proportionnel à la pression et à pression constante n est inversement proportionnel à la température, le libre parcours moyen ℓ est donc proportionnel à $\frac{T}{p}$; d'autre part V est proportionnel à $T^{\frac{1}{2}}$. Finalement

$$\tau \sim \frac{T}{pT^{\frac{1}{2}}} = \frac{T^{\frac{1}{2}}}{p} \quad \text{et} \quad \alpha \sim pT^{-\frac{1}{2}}$$

où

$$\alpha = \alpha_0 \times \frac{p}{p_0} \left(\frac{T_0}{T} \right)^{\frac{1}{2}} \quad (\text{I-6})$$

Etude de l'intensité de la raie $\sigma(z)$

Les fréquences des raies d'absorption que nous considérerons correspondent des transitions de vibration-rotation de la vapeur d'eau. Dans ce cas l'intensité de la raie est d'après HERZBERG (référence 1)

$$\sigma = \frac{8\pi^3}{3hc} \omega \frac{N}{Q_p(T)} \exp\left(-\frac{E_{VR}}{kT}\right) |M|^2 \left(1 - \exp\left(-\frac{h\omega}{kT}\right)\right) \quad (\text{I-7})$$

h est la constante de PLANCK

k la constante de BOLTZMANN

ω la fréquence de la raie

N le nombre de molécules par unité de volume

$Q_p(T)$ la "fonction de partition" à la pression p et à la température T

M est l'élément de matrice du dipôle correspondant à la transition

$E_{VR} = G_0(v) + F(J,K)$ est l'énergie de vibration plus l'énergie de rotation l'état initial.

La molécule H_2O est de type toupie assymétrique, cependant nous pouvons

considérer la toupie symétrique comme une première approximation. Posons

$B = \frac{h}{8\pi^2 c I_n^e}$ où les I_n^e sont les moments principaux d'inertie correspondant

à des positions d'équilibre de la molécule vibrante. Les constantes de rotation

de la toupie symétrique correspondant à la molécule H_2O sont alors $\bar{B}_{v1} = B_{v1}$

$$\text{et } \bar{B}_{v2} = \frac{1}{2} (B_{v2} + B_{v3})$$

où

$$B_{vn} = B_{en} - \sum_{m=1}^3 \alpha_{nm} \left(V_m + \frac{1}{2} \right)$$

si l'on tient compte de l'interaction vibration-rotation.

L'énergie de rotation est alors

$$F_v(J,K) = \bar{B}_{v2} J(J+1) + (B_{v1} - \bar{B}_{v2}) K^2 \quad (\text{I-9})$$

où J est le nombre quantique correspondant au moment angulaire total et K sa composante suivant l'axe de symétrie de la toupie symétrique.

La molécule H₂O possède trois modes de vibration fondamentaux non dégénérés, un antisymétrique et deux symétriques, repérés par m dans la formule (I-8), dans ces conditions son énergie de vibration est au premier ordre

$$G_o(v_1, v_2, v_3) = \sum_{i=1}^3 \omega_i \left(v_i + \frac{1}{2} \right) \quad (\text{I-10})$$

où v_i est le nombre quantique de vibration correspondant au mode de vibration i et ω_i la constante de vibration.

La "fonction de partition" est d'après HERZBERG

$$Q_p(T) = \prod_{i=1}^3 \left[1 - \exp\left(-\frac{hc\omega_i^o}{kT}\right) \right]^{-1} \exp\left(-\frac{B_{e2}^{\frac{1}{2}} B_{e3}^{\frac{1}{2}}}{4(kT/hc)}\right) \\ \times \left(\frac{\pi(kT/hc)^3}{B_{e1} B_{e2} B_{e3}} \right)^{\frac{1}{2}} \left[1 + \frac{1}{12} \left(1 - \frac{B_{e2}^{\frac{1}{2}} B_{e3}^{\frac{1}{2}}}{(kT/hc)} \right) \times \frac{B_{e2}^{\frac{1}{2}} B_{e3}^{\frac{1}{2}}}{(kT/hc)} \right] \quad (\text{I-11}) \\ \times \exp\left(-\frac{hc G(o)}{kT}\right)$$

où les ω_i^o sont les fréquences des trois modes fondamentaux de vibration, c est la vitesse de la lumière. Cette expression néglige l'interaction vibration-rotation et suppose donc B_{vn} ≈ B_{en} ce qui est raisonnable pour une température T ≤ 300 K.

Les formules (I-7) et (I-11) nous permettent de relier l'intensité d'une raie de vibration-rotation à la température T à l'intensité de la même raie

à la température T_0 . Dans l'infrarouge $\exp\left(-\frac{hc \omega}{kT}\right) \ll 1$, d'autre part

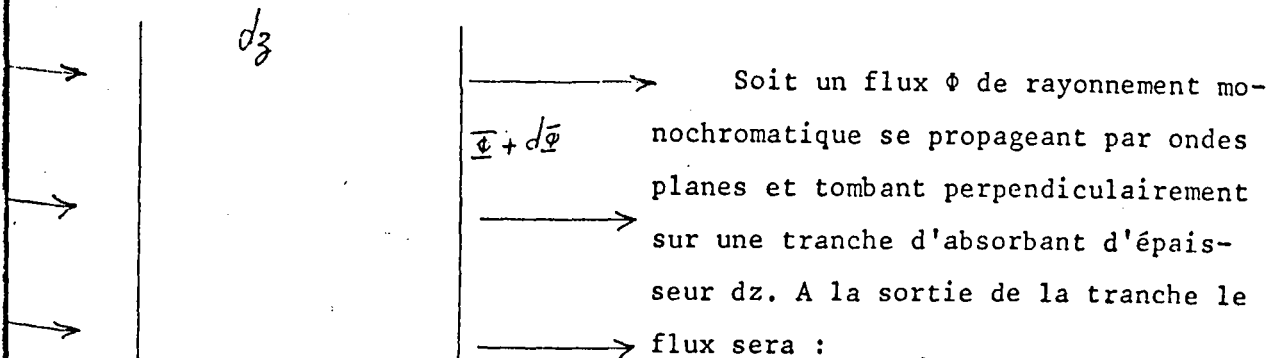
$\exp\left(-\frac{B_2^1}{e^2} \frac{B_3^1}{e^3}\right) \neq 1$, compte tenu de ces simplifications nous obtenons :

$$\sigma(T) = \sigma(T_0) \left(\frac{T_0}{T}\right)^{\frac{3}{2}} \exp\left(-\frac{hc F(J,K)}{k} \left(\frac{1}{T} - \frac{1}{T_0}\right)\right) \quad (I-12)$$

Les raies les plus fortes sont celles obtenues pour des transitions de niveau J faible; dans ce cas le calcul montre que l'intensité de la raie varie peu dans la basse atmosphère où la température décroît de 300 K à 220 K environ.

II/ DIFFUSION

1/ Albédo pour une diffusion



$$\phi + d\phi = \phi + d\phi_1 + d\phi_2$$

où

- $d\phi_1 = -k_v \phi dz$ est le flux perdu par absorption

- $d\phi_2 = -s\phi dz$ est le flux perdu par diffusion

- k_v est le coefficient d'absorption défini précédemment

- s le coefficient de diffusion; il dépend du nombre et du type de particules diffusantes à l'altitude z et varie lentement en fonction de la fréquence; nous négligerons cette variation dans les intervalles de fréquence considérés.

Si à l'altitude z il y a N_i particules diffusantes sphériques de l'espèce i de rayon a_i : $s = \sum \pi a_i^2 N_i F_i(\alpha)$ où F_i est la section efficace de diffusion, calculée par la théorie de MIE (référence 2).

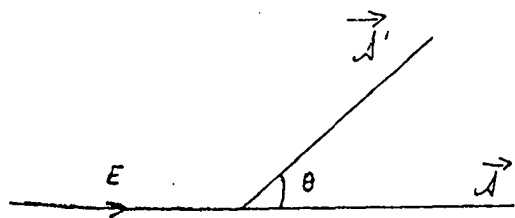
Pour un flux monochromatique nous aurons donc pour une couche finie non homogène d'épaisseur Z traversée sous l'angle θ une transmission :

$$T(\nu) = \exp - \frac{1}{\cos\theta} \int_0^z (s(z) + k_\nu(z)) dz \quad (I-13)$$

Nous appellerons "albédo pour une diffusion" le rapport

$$\omega_{ov}(z) = \frac{s(z)}{s(z) + k_\nu(z)} \quad (I-14)$$

2/ Fonction de diffusion; fonction de phase



L'intensité diffusée dans une direction \vec{s} faisant l'angle θ avec la direction d'incidence \vec{s} par une particule d'espèce i recevant l'éclairement E est

$$I(\theta) = E f_i(\theta, \lambda) \quad (I-15)$$

où θ est l'angle de diffusion

λ la longueur d'onde du rayonnement incident

f_i dépend de la nature, de la forme et des dimensions des particules de l'espèce i .

Le diagramme f en fonction de θ est l'indicatrice de diffusion. Cette fonction a été calculée par MIE pour des particules sphériques et elle est tabulée assez largement pour diverses valeurs de l'indice m et du paramètre $\alpha = \frac{2\pi a}{\lambda}$ où a est le rayon de la particule. Dans la suite nous nous limiterons à l'étude de la diffusion due aux particules sphériques dont sont composés pour l'essentiel les brumes et les nuages de l'atmosphère.

En admettant que la diffusion par une particule quelconque est indépendante de la diffusion due aux autres particules on peut exprimer l'intensité diffusée par un élément de volume dv d'un milieu comportant divers type de particules; si N_i désigne le nombre de particules de l'espèce i par unité de volume nous écrirons

$$I = E \sum_i N_i f_i(\theta, \lambda) dv \quad (I-16)$$

En lumière monochromatique, et à l'échelle macroscopique nous définirons une fonction de diffusion

$$f(\theta) = \sum_i N_i f_i(\theta, \lambda) dv \quad (I-17)$$

variant lentement avec la longueur d'onde.

Si $f(\theta)$ est indépendant de θ la diffusion est dite isotrope.

On définit la fonction de phase $P(\theta)$ par :

$$f(\theta) = \frac{s}{4\pi} p(\theta) = \frac{\bar{\omega}_0 v}{4\pi} (s+k_v) p(\theta) \quad (I-18)$$

On peut démontrer que si $\mu = \cos\theta$ on a :

$$\int_{-1}^{+1} p(\mu) d\mu = 2 \quad (I-19)$$

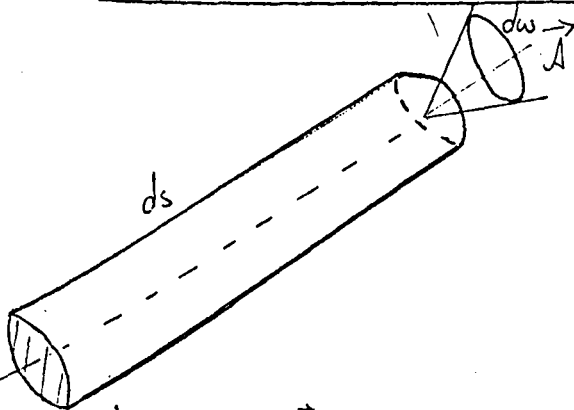
Pour une diffusion isotrope $p(\mu) = 1$.

Pour l'utilisation que nous en faisons la forme mathématique la plus avantageuse de la fonction de phase est un développement en série de polynômes de LEGENDRE

$$p(\theta) = \sum_{\ell=0} \beta_{\ell} P_{\ell}(\cos\theta) \quad (I-20)$$

où la normalisation (I-19) entraîne $\beta_0 = 1$.

III/ EQUATION DE TRANSFERT (référence 3)



Pour un petit élément de volume cylindrique de surface de base $d\omega$ et de hauteur ds autour de la direction \vec{s} au point M, si nous écrivons qu'il y a conservation de l'énergie nous aboutissons à la forme suivante

$$\frac{dI_v(M, \vec{s})}{ds} = - (s(M) + k_v(M)) I_v(M; \vec{s}) + J_v(M, \vec{s}) \quad (I-21)$$

expression générale de l'équation de transfert en rayonnement monochromatique

- $s(M)$ et $k_v(M)$ sont respectivement les valeurs du coefficient de diffusion et du coefficient d'absorption monochromatique au point M.

- $I_v(M, \vec{s})$ est la luminance énergétique monochromatique au point M du rayonnement se propageant dans la direction \vec{s} .

- $J_{\nu}(M, \vec{s})$ est la fonction source monochromatique au point M dans la direction \vec{s} .

L'expression la plus générale de cette fonction source est :

$$J_{\nu}(M, \vec{s}) = k_{\nu}(M) B_{\nu}(M) + \frac{s(M)}{4\pi} \int_{\text{espace}} I_{\nu}(M, s) p(M, \vec{s}, \vec{s}') d\omega' + \frac{s(M)}{4\pi} \sum_{\text{sources } i} E_i p(M, \vec{s}, \vec{s}_i) \quad (\text{I-22})$$

où

- $B_{\nu}(M)$ est la luminance énergétique du corps noir à la fréquence ν à la température T du point M

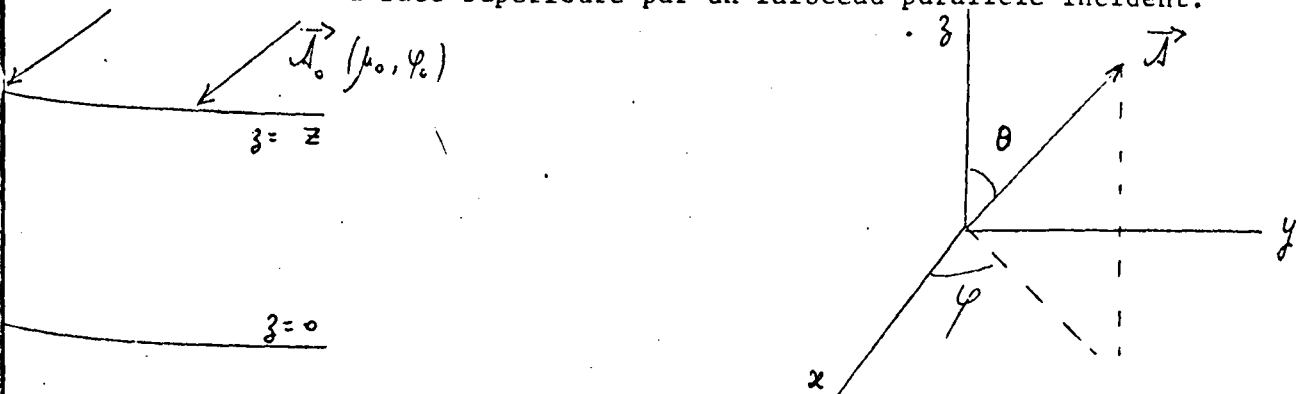
- E_i l'éclairement produit en M par la source i dans la direction \vec{s} .

- $p(M; \vec{s}, \vec{s}')$ la fonction de phase en M pour l'angle entre les direction \vec{s} et \vec{s}' .

Si (\vec{s}, \vec{n}) est l'angle entre \vec{s} et la normale \vec{n} à une surface (S) le flux à travers cette surface sera :

$$F = \int_{\text{espace}} \cos(\vec{s}, \vec{n}) I(\vec{s}) d\omega \quad (\text{I-23})$$

Dans la suite nous assimilerons l'atmosphère à une couche "plane parallèle" où les propriétés sont constantes sur un plan horizontal, éclairée de façon uniforme sur sa face supérieure par un faisceau parallèle incident.



Repérons une direction quelconque \vec{s} par l'azimuth ϕ et par le cosinus de la colatitude $\mu = |\cos\theta|$ c'est à dire $\cos\theta = \mu$ pour $0 \leq \theta \leq \frac{\pi}{2}$ et $\cos\theta = -\mu$ pour $\frac{\pi}{2} < \theta \leq \pi$. Si πF est l'éclairement produit par le faisceau incident de direction $(-\mu_0, \phi_0)$ sur un plan perpendiculaire à cette direction, sur la face supérieure de la couche, l'équation de transfert s'écrira sous la forme

$$\mu \frac{dI_{\nu}}{dz}(z; \mu, \phi) = - (s(z) + k_{\nu}(z)) I_{\nu}(z; \mu, \phi) + J_{\nu}(z; \mu, \phi) \quad (\text{I-24})$$

où

$$J_{\nu}(z; \mu, \phi) = \frac{Fs(z)}{4} p(\mu, \phi; -\mu_0, \phi_0) \exp \left(-\frac{1}{\mu_0} \int_z^{\infty} (s(z) + k_{\nu}(z)) dz \right) + \frac{s(z)}{4\pi} \int_0^{2\pi} \int_{-1}^{+1} p(\mu, \phi; \mu', \phi') I_{\nu}(z; \mu', \phi') d\mu' d\phi' \quad (I-25)$$

en admettant que p est indépendant de l'altitude et en négligeant l'émission qui n'intervient pas dans l'atmosphère pour les longueurs d'onde que nous considérerons. F varie lentement avec la fréquence et nous pouvons le considérer comme constant dans de petits intervalles de fréquence. Nous prendrons pour tous les calculs effectués $F = 1$, les résultats étant proportionnels à F.

Nous écrirons les conditions aux limites en exprimant le rayonnement diffus reçu par la couche sur sa face supérieure et sur sa face inférieure.

IV/ TAUX D'ECHAUFFEMENT RADIATIF

Le flux radiatif diffus à la fréquence ν , à l'altitude z est donné par

$$F_{\nu}^D(z) = \int_0^{2\pi} \int_{-1}^{+1} \mu I_{\nu}(z; \mu, \phi) d\mu d\phi = \int_0^{2\pi} \int_0^1 \mu I_{\nu}(z; \mu, \phi) d\mu d\phi - \int_0^{2\pi} \int_0^1 \mu I_{\nu}(z; -\mu, \phi) d\mu d\phi \quad (I-26)$$

$$F_{\nu}^D(z) = U_{\nu}^D(z) - D_{\nu}^D(z) \quad (I-27)$$

où le flux montant U est compté positivement et le flux descendant D est compté négativement.

L'échauffement radiatif correspondant est

$$h_{\nu}^D(z) = -\frac{dF_{\nu}^D(z)}{dz} \quad (I-28)$$

C'est le gain d'énergie par unité de volume ici exprimé en Watts cm^{-2} . La variation correspondante de température est

$$dT = \frac{1}{\rho_a(z) C_p} h_{\nu}(z) \quad (I-29)$$

où ρ_a est la densité de la couche d'air à l'altitude z considérée et C_p sa capacité calorifique à pression constante.

Nous définirons le flux moyen dans un intervalle spectral $\Delta\nu_i$ par

$$F_i^D(z) = \frac{1}{\Delta\nu_i} \int_{\Delta\nu_i} d\nu F_\nu^D(z) = U_i^D(z) - D_i^D(z) \quad (I-30)$$

et un taux d'échauffement moyen

$$h_i^D(z) = - \frac{dF_i^D}{dz}(z) \quad (I-31)$$

- Le flux solaire directement transmis, de direction $(-\mu_o, \phi_o)$, est à l'altitude de z , en moyenne sur l'intervalle spectral $\Delta\nu_i$

$$F_i^S(z) = - \frac{\pi F \mu_o}{\Delta\nu_i} \int_{\Delta\nu_i} \exp \left(- \frac{1}{\mu_o} \int_z^\infty (s(z) + k_\nu(z)) dz \right) d\nu_i \quad (I-32)$$

et l'échauffement radiatif correspondant est défini par

$$h_i^S(z) = - \frac{dF_i^S}{dz}(z) \quad (I-33)$$

- Le flux total est donc pour l'intervalle $\Delta\nu_i$

$$F_i(z) = F_i^S(z) + F_i^D(z)$$

et l'échauffement total

$$h_i(z) = h_i^S(z) + h_i^D(z) \quad (I-34)$$

CHAPITRE II

CALCUL DE L'EFFET DE LA DIFFUSION PRIMAIRE SUR L'ECHAUFFEMENT RADIATIF

Dans ce chapitre nous allons déterminer l'influence de la diffusion sur l'échauffement radiatif calculé en valeur moyenne dans une bande d'absorption en nous limitant à la diffusion primaire ce qui pour les faibles profondeurs optiques diffusantes que nous aurons à considérer semble une approximation raisonnable. Nous chercherons par la suite à déterminer l'erreur ainsi commise. Dans ce chapitre nous négligerons en première approximation la variation de l'intensité et de la demie largeur de raie en fonction de la température le long du trajet atmosphérique.

I/ CALCUL DE L'ECHAUFFEMENT RADIATIF EN L'ABSENCE DE DIFFUSION

En l'absence de diffusion ($s(z) = 0$) le flux transmis à l'altitude z pour la direction μ_0 est donné par la formule (I-32) où $s(z)$ est nul

$$F_i^s(z) = \frac{1}{\Delta v_i} \int_{\Delta v_i} -\pi F \mu_0 \exp\left(-\frac{1}{\mu_0} \int_z^\infty k_v(z) dz\right) dv_i$$

et l'échauffement radiatif correspondant est alors

$$h_i^s(z) = \frac{1}{\Delta v_i} \int_{\Delta v_i} \pi F k_v(z) \exp\left(-\frac{1}{\mu_0} \int_z^\infty k_v(z) dz\right) dv \quad (\text{II-1})$$

Si nous appelons transmission à l'altitude z pour la direction μ_0 la fonction

$$T_i(\mu_0, z) = \frac{1}{\Delta v_i} \int_{\Delta v_i} \exp\left(-\frac{1}{\mu_0} \int_z^\infty k_v(z) dz\right) dv$$

dont nous allons calculer la valeur moyenne dans une bande d'absorption, l'échauffement radiatif s'exprime alors de la façon suivante

$$h_i(z) = - \pi F \mu_o \frac{dT_i(\mu_o, z)}{dz} \tag{II-2}$$

II/ CALCUL DE LA TRANSMISSION MOYENNE DANS UNE BANDE POUR UN TRAJET HOMOGENE

Pour une couche d'épaisseur Z d'un milieu homogène, éclairée sur sa face supérieure par un faisceau incident vertical la transmission moyenne pour un intervalle de fréquence $\Delta\nu$ ne contenant qu'une seule raie de LORENTZ est donnée par la formule (I-3).

Les bandes de vibration-rotation de H_2O que nous considérons sont des bandes irrégulières; nous exposerons ici très brièvement la méthode statistique que nous avons utilisée permettant de calculer la transmission moyenne dans une bande (référence 4).

Considérons L raies ($j = 1, 2 \dots L$) d'espacement moyen δ , dans un intervalle $\Delta = L\delta$. Chaque raie est caractérisée par un coefficient d'absorption $k_j(\nu - \nu_j) = \sigma_j g(\nu - \nu_j)$ et on suppose que toutes les raies ont la forme de LORENTZ caractérisée par la même demie largeur dans la couche considérée. Soit $N(\nu_1 \nu_2 \dots \nu_L) d\nu_1 d\nu_2 \dots d\nu_L$ la probabilité d'existence des raies entre $\nu_1 + d\nu_1, \nu_2 + d\nu_2, \dots \nu_L + d\nu_L$ et $P(\sigma_j) d\sigma_j$ la probabilité pour que la raie j ait son intensité comprise entre σ_j et $\sigma_j + d\sigma_j$ avec $\int_0^\infty P(\sigma_j) d\sigma_j = 1$. Nous définirons l'intensité moyenne par

$$\bar{\sigma} = \frac{\int_0^\infty \sigma P(\sigma) d\sigma}{\int_0^\infty P(\sigma) d\sigma}$$

La probabilité d'avoir un certain arrangement des raies dans l'intervalle considéré est $N(\nu_1 \nu_2 \dots \nu_L) d\nu_1 d\nu_2 \dots d\nu_L \prod_{j=1}^L P(\sigma_j) d\sigma_j$.

En négligeant l'effet faible des raies extérieures à l'intervalle Δ , la transmission à une fréquence ν voisine du centre de Δ pour cet arrangement de raies est

$$\exp \left(- \rho Z \sum_{j=1}^L \sigma_j g(\nu - \nu_j) \right) = \prod_{j=1}^L \exp \left(- \rho Z \sigma_j g(\nu - \nu_j) \right) \quad ;$$

la transmission moyenne pour tous les arrangements possibles est donc

$$T = \frac{\int_{-\Delta/2}^{+\Delta/2} \dots \int_{-\Delta/2}^{+\Delta/2} N(\nu_1 \nu_2 \dots \nu_L) d\nu_1 d\nu_2 \dots d\nu_L \int_0^\infty \dots \int_0^\infty \prod_{j=1}^L P(\sigma_j) \exp(-\rho Z \sum_{j=1}^L \sigma_j g(\nu - \nu_j)) d\sigma_j}{\int_{-\Delta/2}^{+\Delta/2} \dots \int_{-\Delta/2}^{+\Delta/2} N(\nu_1 \nu_2 \dots \nu_L) d\nu_1 d\nu_2 \dots d\nu_L \int_0^\infty \dots \int_0^\infty \prod_{j=1}^L P(\sigma_j) d\sigma_j}$$

La bande est en désordre, toutes les positions de raie sont donc également probable et $N(v_1, v_2 \rightarrow v_L)$ est constante et nous pouvons écrire

$$T = \left[1 - \frac{1}{L\delta} \int_{-\Delta/2}^{+\Delta/2} dv' \int_0^\infty P(\sigma') (1 - \exp(-\rho Z \sigma' g(v-v'))) d\sigma' \right]^L$$

si L est grand comme $(1 - \frac{x}{n}) \rightarrow e^{-x}$ quand $n \rightarrow \infty$ on peut écrire

$$T = \exp \left(- \frac{1}{\delta} \int_{-\Delta/2}^{+\Delta/2} dv' \int_0^\infty P(\sigma') (1 - \exp(-\rho Z \sigma' g(v-v'))) d\sigma' \right)$$

Le résultat étant peu sensible à la forme choisie pour $P(\sigma)$ nous choisirons le cas le plus simple $P(\sigma) = \delta(\sigma - \bar{\sigma})$, soit toutes les raies de la même intensité $\bar{\sigma}$ ce qui donne

$$T = \exp \left(- \frac{1}{\delta} \int_{-\Delta/2}^{+\Delta/2} (1 - \exp(-\rho Z \bar{\sigma} g(v-v'))) dv' \right)$$

ou encore

$$T = \exp \left(- \frac{\bar{W}}{\delta} \right) \tag{II-3}$$

Pour calculer la largeur équivalente moyenne \bar{W} nous écrivons :

$$\bar{W} = 2\pi \bar{\alpha} L \left(\frac{\bar{\sigma} \rho Z}{2\pi \bar{\alpha}} \right) \tag{II-4}$$

et nous définirons $\bar{\alpha}$ et $\bar{\sigma}$ en cherchant l'accord pour les approximations de raie faible et de raie forte

$$\bar{W} = \rho Z \bar{\sigma} \text{ pour les raies faibles}$$

$$\bar{W} = 2 \sqrt{\rho Z} \sqrt{\bar{\sigma} \bar{\alpha}} \text{ pour les raies fortes}$$

Nous définirons ainsi $\bar{\sigma}$ par

$$\bar{\sigma} = \frac{1}{L} \sum_{j=1}^L \sigma_j \tag{II-5}$$

et $\bar{\alpha}$ par

$$\overline{\sigma \alpha} = \left[\overline{(\sigma \alpha)^2} \right]^{\frac{1}{2}} = \left[\frac{1}{L} \sum_{j=1}^L (\sigma_j \alpha_j)^2 \right]^{\frac{1}{2}} \quad (\text{II-6})$$

ALCUL DE LA TRANSMISSION MOYENNE POUR UN TRAJET ATMOSPHERIQUE

insi que nous l'avons exposé au chapitre I la pression p et la température T variant en fonction de l'altitude z, le coefficient d'absorption varie le long du trajet du rayonnement, nous allons chercher à expliquer l'effet de cette variation sur la transmission donnée par la formule pour une couche atmosphérique.

Trajet équivalent

La méthode consiste à chercher un trajet homogène équivalent à la pression p_e et à la température T_e avec une densité effective d'absorbant ρ_e; et σ_e et α_e l'intensité et la demie largeur effectives dans ce cas. Ce trajet équivalent sera tel que

$$T_A(z) = T(\rho_e, \sigma_e, \alpha_e)$$

T(z) est la transmission pour le trajet réel et T(ρ_e, σ_e, α_e) la valeur de la transmission calculée pour le trajet homogène équivalent.

Nous exposerons très brièvement ici l'approximation de CURTIS-GODSON (référence 5) à deux paramètres que nous utiliserons dans la suite de ce qui est exposé et qui donne des résultats très satisfaisants.

Approximation de CURTIS-GODSON (référence 5)

Considérons une forme de LORENTZ pour toutes les raies j de l'intervalle Δν et déterminons ρ_e, σ_{je} et α_{je} pour avoir accord dans les régions de fréquences fortes et de raies faibles entre

$$T_A(z) = \frac{1}{\Delta\nu} \int_{\Delta\nu} \exp \left(- \int_z^Z \frac{\sigma_j(z') \alpha_j(z') \rho(z') dz'}{\pi [(v-v_j)^2 + \alpha_j^2(z')] } \right) dv$$

$$T(z) = \frac{1}{\Delta\nu} \int_{\Delta\nu} \exp \left(- \rho_e (Z-z) \sum_j \frac{\sigma_{je} \alpha_{je}}{\pi [(v-v_j)^2 + \alpha_{je}^2]} \right) dv$$

Sur les raies fortes nous pouvons remplacer $\alpha_j(z')$ par α_{je} au dénominateur au centre l'absorption est totale et pour les ailes $\alpha_j \ll (\nu - \nu_j)^2$, ce qui conduit à la première identification

$$\sigma_{je} \alpha_{je} \rho_e(z-z) = \int_z^Z \sigma_j(z') \alpha_j(z') \rho(z') dz' \quad (\text{II-7})$$

Sur les raies faibles on peut développer l'exponentielle et remplacer l'intégrale sur $\Delta\nu$ par une intégrale de $-\infty$ à $+\infty$ puisque $\Delta\nu \gg \alpha_j$; cela donne

$$T_A(z) = 1 - \frac{1}{\Delta\nu} \sum_j \int_z^Z \rho(z') dz' \int_{-\infty}^{+\infty} \frac{\sigma_j(z') \alpha_j(z')}{\pi [(\nu - \nu_j)^2 + \alpha_j^2(z')]^2} d\nu$$

pour obtenir l'accord il faut que α_{je} vérifie l'équation

$$\alpha_{je} \int_z^Z \sigma_j(z') \rho(z') dz' = \int_z^Z \sigma_j(z') \alpha_j(z') \rho(z') dz' \quad (\text{II-8})$$

En combinant les relations (II-7) et (II-8) nous définissons le produit $\sigma_{je} \rho_e$ par

$$\sigma_{je} \rho_e(z-z) = \int_z^Z \sigma_j(z') \rho(z') dz' \quad (\text{II-9})$$

Nous pouvons appliquer l'approximation de CURTIS-GODSON au cas d'une bande désordonnée nous obtenons :

$$\bar{W}_e = 2\pi \bar{\alpha}_e L \left(\frac{\rho_e(z-z) \bar{\sigma}_e}{2\pi \bar{\alpha}_e} \right) \quad (\text{II-10})$$

Les valeurs moyennes $\bar{\sigma}_e$ et $\bar{\alpha}_e$ étant obtenues au mieux par

$$\bar{\sigma}(z) = \frac{1}{L} \sum_{j=1}^L \sigma_j(z) \quad (\text{II-11})$$

$$\bar{\sigma}(z) \bar{\alpha}(z) = \frac{1}{L} \sum_{j=1}^L \left[\sigma_j(z) \alpha_j(z) \right]^{\frac{1}{2}} \quad (\text{II-12})$$

$$\bar{\sigma}_e \rho_e(z-z) = \int_z^Z \bar{\sigma}(z') \rho(z') dz' \quad (\text{II-13})$$

$$\bar{\alpha}_e \bar{\sigma}_e \rho_e(z-z) = \int_z^Z \bar{\sigma}(z') \rho(z') \bar{\alpha}(z') dz' \quad (\text{II-14})$$

POSITION DU PROBLEME

1/ Diffusion

Nous étudierons successivement le cas où la brume est répartie dans toute l'atmosphère et le cas où son épaisseur est limitée à 1 ou 2 km. Le coefficient de diffusion s est proportionnel au nombre de particules diffusantes que nous supposons varier exponentiellement avec l'altitude suivant la loi.

$$\begin{aligned} s(z) &= s_0 n_0 \exp\left(-\frac{z}{H_1}\right) && \text{si } z < Z \\ s(z) &= 0 && \text{si } z > Z \end{aligned} \quad (\text{II-15})$$

est l'altitude correspondant à la limite supérieure de la couche.

et n_0 sont respectivement le coefficient de diffusion pour une particule et le nombre de particules diffusantes au niveau du sol.

est l'échelle de hauteur correspondant au diffusant.

roduisons la variable $\xi = \exp\left(-\frac{z}{H_1}\right)$, nous définirons la profondeur optique diffusante totale de l'atmosphère

$$\tau_F = \int_0^Z s(z) dz = \int_{\xi_1}^1 s_0 n_0 H_1 d\xi = s_0 n_0 H_1 (1-\xi_1) \quad (\text{II-16})$$

la suite nous utiliserons pour simplifier l'écriture

$$\tau = \int_0^\infty s(z) dz = s_0 n_0 H_1 = \frac{\tau_F}{1-\xi_1}$$

le cas où la brume est répartie dans toute l'atmosphère nous aurons $\xi_1 = 0$ et $\tau_F = \tau$.

2/ Absorption

Nous emploierons un modèle statistique de raies de LORENTZ ce qui est une

approximation correcte pour les bandes de la vapeur d'eau. Dans la suite nous appellerons $\bar{\sigma}_0$ et $\bar{\alpha}_0$ les valeurs moyennes de l'intensité et de la demie largeur de raie, au niveau du sol, dans l'intervalle $\Delta\nu$ considéré, et δ l'espacement moyen des raies.

Dans une première approximation nous négligerons la variation de la demie largeur de raie et de l'intensité avec la température; nous aurons donc en supposant que la pression varie exponentiellement avec l'altitude

$$\alpha(z) = \alpha_0 \frac{p(z)}{p_0} = \alpha_0 e^{-z/H} \quad \sigma(z) = \sigma_0 \quad (\text{II-17})$$

où H est l'échelle de hauteur de l'atmosphère H = 8 km

Nous supposons que la densité d'absorbant varie aussi exponentiellement avec l'altitude soit

$$\rho(z) = \rho_0 e^{-z/H_0} \quad (\text{II-18})$$

où ρ_0 est la densité de vapeur d'eau au niveau du sol et H_0 l'échelle de hauteur correspondant à la vapeur d'eau.

Posons $\beta = H/H_1$ et $\gamma = H_0/H_1$, nous obtenons

$$\alpha(z) = \alpha_0 \xi^{\frac{1}{\beta}} \quad \text{et} \quad \rho(z) = \rho_0 \xi^{\frac{1}{\gamma}} \quad (\text{II-19})$$

V/ FLUX DIFFUS ET ECHAUFFEMENT RADIATIF CORRESPONDANT

L'intensité diffusée $I_\nu(z; \mu, \phi)$ à l'altitude z dans la direction (μ, ϕ) et à la fréquence ν est définie par l'équation de transfert (I-24)

$$\mu \frac{dI_\nu}{dz}(z; \mu, \phi) = - (s(z) + k_\nu(z)) I_\nu(z; \mu, \phi) + J_\nu(z; \mu, \phi) \quad (\text{II-20})$$

où

$$J_\nu(z; \mu, \phi) = \frac{Fs(z)}{4} p(\mu, \phi; -\mu_0, \phi_0) \exp\left(-\frac{1}{\mu_0} \int_z^\infty (s(z) + k_\nu(z)) dz\right) \quad (\text{II-21})$$

$$+ \frac{s(z)}{4\pi} \int_0^{2\pi} \int_{-1}^{+1} p(\mu, \phi; \mu', \phi') I_\nu(z; \mu', \phi') d\mu' d\phi'$$

où $s(z) = 0$ pour $z > Z$

Multiplions l'équation (II-20) par $d\mu d\phi$ et intégrons de -1 à $+1$ et de 0 à 2π en utilisant la relation (I-19), nous obtenons

$$\frac{dF_v(z)}{dz} = \int_0^{2\pi} \int_{-1}^{+1} \mu \frac{dI_v}{dz}(z; \mu, \phi) d\mu d\phi = - (s(z) + k_v(z)) \int_0^{2\pi} \int_{-1}^{+1} I_v(z; \mu, \phi) d\mu d\phi + s(z) \pi F \exp\left(-\frac{1}{\mu_0} \int_z^\infty (s(z'') + k_v(z'')) dz''\right) + s(z) \int_0^{2\pi} \int_{-1}^{+1} I_v(z; \mu', \phi') d\mu' d\phi'$$

$$I_v(z; \mu, \phi) d\mu d\phi + s(z) \pi F \exp\left(-\frac{1}{\mu_0} \int_z^\infty (s(z'') + k_v(z'')) dz''\right) + s(z) \int_0^{2\pi} \int_{-1}^{+1} I_v(z; \mu', \phi') d\mu' d\phi'$$

est à dire :

$$h_v^D(z) = k_v(z) \int_0^{2\pi} \int_{-1}^{+1} I_v(z; \mu, \phi) d\mu d\phi - \pi F s(z) \exp\left(-\frac{1}{\mu_0} \int_z^\infty (s(z'') + k_v(z'')) dz''\right) \quad (II-22)$$

$$\int_z^\infty (s(z'') + k_v(z'')) dz''$$

Nous supposons que le sol est noir et qu'il n'y a pas d'intensité diffusée venant du dessus de l'atmosphère ce qui nous donne les conditions aux limites suivantes :

$$I_v(\infty; -\mu, \phi) = 0 \quad (II-23)$$

$$I_v(0; +\mu, \phi) = 0$$

L'équation transferte (II-20) et des conditions aux limites (II-23) nous obtenons

$$I_v^-(z; -\mu, \phi) = \frac{1}{\mu} \int_z^\infty J_v(z'; -\mu, \phi) \exp\left(-\frac{1}{\mu} \int_z^{z'} (s(z'') + k_v(z'')) dz''\right) dz' \quad (II-24)$$

$$I_v^+(z; +\mu, \phi) = \frac{1}{\mu} \int_0^z J_v(z'; +\mu, \phi) \exp\left(-\frac{1}{\mu} \int_{z'}^z (s(z'') + k_v(z'')) dz''\right) dz'$$

Dans une première approximation nous négligerons l'influence de la diffusion multiple. Pour les faibles profondeurs optiques diffusantes considérées c'est une approximation qui semble raisonnable; nous chercherons à es-

er l'erreur introduite, dans le chapitre III.

En négligeant la diffusion multiple la fonction source s'écrit :

$$J_V(z; \mu, \phi) = \frac{F s(z)}{4} p(\mu, \phi; -\mu_0, \phi_0) \exp \left(- \frac{1}{\mu_0} \int_z^\infty (s(z'') + k_V(z'')) dz'' \right) \quad (\text{II-25})$$

qui correspond au flux solaire transmis par la couche de l'atmosphère au
sus de z et diffusé à l'altitude z dans la direction (μ, ϕ) . Les équations

-24) deviennent dans ce cas :

$$I_V^-(z; -\mu, \phi) = \frac{F}{4\mu} p(-\mu, \phi; -\mu_0, \phi_0) \int_z^\infty s(z') \exp \left(- \frac{1}{\mu} \int_z^{z'} (s(z'') + k_V(z'')) dz'' - \frac{1}{\mu_0} \int_{z'}^\infty (s(z'') + k_V(z'')) dz'' \right) dz' \quad (\text{II-26})$$

$$I_V^+(z; +\mu, \phi) = \frac{F}{4\mu} p(+\mu, \phi; -\mu_0, \phi_0) \int_0^z s(z') \exp \left(- \frac{1}{\mu} \int_{z'}^z (s(z'') + k_V(z'')) dz'' - \frac{1}{\mu_0} \int_{z'}^\infty (s(z'') + k_V(z'')) dz'' \right) dz'$$

roduisons la variable $\xi = \exp \left(- \frac{z}{H_1} \right)$; $\tau = s_0 n_0 H_1$ et

$$\begin{cases} \tau = s_0 n_0 \xi & \text{si } \xi > \xi_1 \\ \tau = 0 & \text{si } \xi < \xi_1 \end{cases}$$

Nous écrivons les relations suivantes de façon générale valable aussi
pour le cas d'une brume répartie dans toute l'atmosphère que pour le cas
de brume limitée en posant

$$\begin{cases} \tau = s_0 n_0 H_1 & \text{pour } \xi > \xi_1 \\ \tau = 0 & \text{pour } \xi < \xi_1 \end{cases} \quad (\text{II-27})$$

s obtenons alors :

$$I_{\nu}^{-}(\xi; -\mu, \phi) = \frac{F_{\tau}}{4\mu} p(-\mu, \phi; -\mu_0, \phi_0) \int_0^{\xi} \exp\left(-\frac{\tau(\xi-\xi')}{\mu} - \frac{\tau(\xi'-\xi_1)}{\mu_0}\right) \times \exp\left(-\frac{1}{\mu} \int_z^{z'} k_{\nu}(z'') dz'' - \frac{1}{\mu_0} \int_{z'}^{\infty} k_{\nu}(z'') dz''\right) d\xi' \quad (\text{II-28})$$

$$I_{\nu}^{+}(\xi; -\mu, \phi) = \frac{F_{\tau}}{4\mu} p(-\mu, \phi; -\mu_0, \phi_0) \int_{\xi}^1 \exp\left(-\frac{\tau(\xi'-\xi)}{\mu} - \frac{\tau(\xi'-\xi_1)}{\mu_0}\right) \times \exp\left(-\frac{1}{\mu} \int_{z'}^z k_{\nu}(z'') dz'' - \frac{1}{\mu_0} \int_{z'}^{\infty} k_{\nu}(z'') dz''\right) d\xi'$$

ont ces valeurs de l'intensité que nous utiliserons dans la formule 22) pour calculer l'échauffement radiatif dû au flux diffusé.

FLUX DIRECTEMENT TRANSMIS ET ECHAUFFEMENT RADIATIF CORRESPONDANT

Le flux solaire directement transmis à l'altitude z , pour une fréquence ν :

$$F_{\nu}^S(z) = -\pi F \mu_0 \exp\left(-\frac{1}{\mu_0} \int_z^{\infty} (s(z'') + k_{\nu}(z'')) dz''\right) \quad (\text{II-29})$$

l'échauffement radiatif correspondant est alors :

$$h_{\nu}^S(z) = -\frac{dF_{\nu}^S(z)}{dz} = \pi F (s(z) + k_{\nu}(z)) \exp\left(-\frac{1}{\mu_0} \int_z^{\infty} (s(z'') + k_{\nu}(z'')) dz''\right) \quad (\text{II-30})$$

FLUX TOTAL ET ECHAUFFEMENT RADIATIF TOTAL

A l'altitude z et à la fréquence ν le flux total est :

$$F_{\nu}(z) = F_{\nu}^D(z) + F_{\nu}^S(z)$$

l'échauffement radiatif total est :

$$h_{\nu}(z) = h_{\nu}^D(z) + h_{\nu}^S(z)$$

$$\begin{aligned}
 h_v(z) = & \pi F k_v(z) \exp\left(-\frac{\tau(\xi-\xi_1)}{\mu_0}\right) \exp\left(-\frac{1}{\mu_0} \int_z^\infty k_v(z) dz\right) \\
 & + \frac{F\tau}{4} k_v(z) \int_0^{2\pi} \int_0^1 \frac{p(\mu, \phi; -\mu_0, \phi_0)}{\mu} \int_\xi^1 \exp\left(-\frac{\tau|\xi'-\xi|}{\mu} - \frac{\tau(\xi'-\xi_1)}{\mu_0}\right) \\
 & \exp\left(-\frac{1}{\mu} \int_z^{z'} k_v(z'') dz'' - \frac{1}{\mu_0} \int_{z'}^\infty k_v(z'') dz''\right) d\mu d\phi d\xi' \quad (II-31) \\
 & + \frac{F\tau}{4} k_v(z) \int_0^{2\pi} \int_0^1 p(-\mu, \phi; -\mu_0, \phi_0) \int_0^\xi \exp\left(-\frac{\tau|\xi-\xi'|}{\mu} - \frac{\tau(\xi'-\xi_1)}{\mu_0}\right) \\
 & \exp\left(-\frac{1}{\mu} \int_z^z k_v(z'') dz'' - \frac{1}{\mu_0} \int_{z'}^\infty k_v(z'') dz''\right) d\mu d\phi d\xi'
 \end{aligned}$$

négligeant la diffusion ($\tau=0$) nous obtenons un échauffement radiatif

$$j_v(z) = \pi F k_v(z) \exp\left(-\frac{1}{\mu_0} \int_z^\infty k_v(z'') dz''\right) \quad (II-32)$$

calculé en valeur moyenne sur l'intervalle $\Delta\nu_1$ est équivalent à la relation (II-2).

I/ MOYENNE SUR LA FREQUENCE DE L'ECHAUFFEMENT RADIATIF

Du fait de la rapide variation de coefficient d'absorption $k_v(z)$ en fonction de la fréquence il est pratiquement impossible de calculer exactement l'échauffement radiatif en fonction de la fréquence et nous calculons des valeurs moyennes dans des intervalles spectraux contenant un grand nombre de raies

$$h(z) = \frac{1}{\Delta\nu} \int_{\Delta\nu} h_v(z) d\nu \quad (II-33)$$

Pour cela introduisons la transmission moyenne pour le trajet atmosphérique considéré, définie par :

$$\begin{aligned}
 T(\mu_0, \mu; z, z') = & \frac{1}{\Delta\nu} \int_{\Delta\nu} \exp\left(-\frac{1}{\mu} \left| \int_z^{z'} k_v(z'') dz'' \right| \right. \\
 & \left. - \frac{1}{\mu_0} \int_{z'}^\infty k_v(z'') dz'' \right) d\nu \quad (II-34)
 \end{aligned}$$

ons cette expression par rapport à z, nous obtenons

$$\frac{dT(\mu_0, \mu; z, z')}{dz} = \frac{1}{\Delta v} \int_{\Delta v} k_v(z) \exp \left(-\frac{1}{\mu} \left| \int_{z'}^z k_v(z'') dz'' \right| - \frac{1}{\mu_0} \int_{z'}^{\infty} k_v(z'') dz'' \right) dv \quad (II-35)$$

la convention

$$R(\mu_0, \mu; z, z') = + \frac{dT(\mu_0, \mu; z, z')}{dz} \quad \text{si } z' > z \quad \text{ou } \xi' < \xi \quad (II-36)$$

$$R(\mu_0, \mu; z, z') = - \frac{dT(\mu_0, \mu; z, z')}{dz} \quad \text{si } z' < z \quad \text{ou } \xi' > \xi$$

l'expression (II-25) le taux d'échauffement moyen (II-26) s'écrit

$$h(z) = \pi F \mu_0 \exp \left(-\frac{\tau(\xi - \xi_1)}{\mu_0} \right) R(\mu_0, \mu_0; \xi, \xi) + \frac{F}{4} \int_0^{2\pi} \int_0^1 p(\mu, \phi; -\mu_0, \phi_0) F(\mu_0, \mu, \xi) d\mu d\phi + \frac{F}{4} \int_0^{2\pi} \int_0^1 p(-\mu, \phi; \mu_0, \phi_0) G(\mu_0, \mu, \xi) d\mu d\phi \quad (II-37)$$

$$F(\mu_0, \mu, \xi) = \tau \int_{\xi}^1 \exp \left(-\frac{\tau|\xi - \xi'|}{\mu} - \frac{\tau(\xi' - \xi_1)}{\mu} \right) R(\mu_0, \mu; \xi, \xi') d\xi' \quad (II-38)$$

$$G(\mu_0, \mu, \xi) = \tau \int_0^{\xi} \exp \left(-\frac{\tau|\xi - \xi'|}{\mu} - \frac{\tau(\xi' - \xi_1)}{\mu_0} \right) R(\mu_0, \mu; \xi, \xi') d\xi' \quad (II-39)$$

Evaluation des fonctions R et T

Pour le modèle de bande choisi la transmission moyenne est donnée par la formule (II-3) $T = \exp \left(-\frac{\bar{W}}{\delta} \right)$ où \bar{W} est la largeur équivalente moyenne calculée le long du trajet atmosphérique et définie par (II-10)

$$\bar{W} = 2\pi \bar{\alpha}_e L \left(\frac{\bar{u}_e}{2\pi\bar{\alpha}_e} \right) \quad (II-40)$$

Les valeurs moyennes $\bar{\alpha}_e$ et \bar{u}_e sont calculées avec l'approximation de FIS-GODSON pour une bande en désordre (formules (II-13) et (II-14) appliquées au trajet considéré et sont donc définies par

$$\bar{u}_e = \frac{1}{\mu_0} \int_{z'}^{\infty} \bar{\sigma}_0 \rho(z'') dz'' + \frac{1}{\mu} \left| \int_{z'}^z \sigma_0 \rho(z'') dz'' \right| \quad (II-41)$$

$$\bar{u}_e = \bar{\sigma}_0 \rho_0 H_1 \gamma \left(\frac{\xi' \gamma}{\mu_0} + \left| \frac{\xi \gamma}{\mu} - \xi' \gamma \right| \right)$$

$$\bar{\alpha}_e \bar{u}_e = \frac{1}{\mu_0} \int_{z'}^{\infty} \bar{\alpha}(z'') \bar{\sigma}_0 \rho(z'') dz'' + \frac{1}{\mu} \left| \int_{z'}^z \bar{\alpha}(z'') \bar{\sigma}_0 \rho(z'') dz'' \right| \quad (II-42)$$

$$\bar{\alpha}_e = \frac{1}{\bar{u}_e} \frac{\bar{\alpha}_0 \bar{\sigma}_0 \rho_0 H_1 \beta \gamma}{\beta + \gamma} \left(\frac{\xi' \beta + \gamma}{\mu_0} + \left| \frac{\xi \beta + \gamma}{\mu} - \xi' \beta + \gamma \right| \right)$$

$\bar{\alpha}_0$ et $\bar{\sigma}_0$ sont les valeurs moyennes au sol dans l'intervalle Δv considéré la demi-largeur et de l'intensité de raies.

équations (II-40), (II-41) et (II-42) avec (II-3) et (II-36) nous permettent de calculer la fonction R. Nous trouvons

$$\frac{dT}{dz} = T \left[-\frac{2\pi \bar{\alpha}_e}{\delta} \left(\frac{1}{2\pi\bar{\alpha}_e} \frac{d\bar{u}_e}{dz} - \frac{\bar{u}_e}{2\pi\bar{\alpha}_e} \frac{d\bar{\alpha}_e}{dz} \right) L' \left(\frac{\bar{u}_e}{2\pi\bar{\alpha}_e} \right) - \frac{2\pi}{\delta} \frac{d\bar{\alpha}_e}{dz} L \left(\frac{\bar{u}_e}{2\pi\bar{\alpha}_e} \right) \right]$$

$$L'(x) = e^{-x} I_0(x)$$

$$R(\mu_0, \mu; \xi, \xi') = \frac{T}{\delta} \frac{\bar{\sigma}_0 \rho_0}{\mu} \xi^{\frac{1}{\gamma}} \exp \left(-\frac{\bar{u}_e}{2\pi\bar{\alpha}_e} \right) \left[I_0 \left(\frac{\bar{u}_e}{2\pi\bar{\alpha}_e} \right) + \left(\frac{\bar{\alpha}_0}{\bar{\alpha}_e} \xi^{\frac{1}{\beta}} - 1 \right) I_1 \left(\frac{\bar{u}_e}{2\pi\bar{\alpha}_e} \right) \right] \quad (II-43)$$

EXPRESSION DE LA FONCTION DE PHASE

Dans ce chapitre nous avons effectué le calcul de l'échauffement radiatif en diffusion primaire pour une diffusion isotrope et pour une brume d'épaisseur optique diffusante variable; nous allons maintenant exprimer mathématiquement la fonction de phase pour les deux cas étudiés.

1/ Diffusion isotrope

Ainsi que nous l'avons vu (Chapitre I, Paragraphe II) la fonction de phase est

$$p(\theta) = p(\mu, \phi; \mu_0, \phi_0) = 1 \quad (\text{II-44})$$

2/ Diffusion par une brume

Nous utiliserons pour la fonction de phase un développement en série de polynômes de LEGENDRE indiqué par la formule (I-20) $p(\theta) = \sum_{\ell=0}^L \beta_{\ell} P_{\ell}(\cos\theta)$ où θ est l'angle entre deux directions quelconques (μ, ϕ) et (μ', ϕ') .

Nous pouvons alors utiliser le théorème d'addition de polynômes de LEGENDRE

$$P_{\ell}(\cos(\mu, \phi; \mu', \phi')) = \sum_{s=0}^{\ell} \frac{(2-\delta_{0s})}{\delta_{0s}} P_s^{\ell}(\mu) P_s^{\ell}(\mu') \cos s(\phi-\phi') \quad (\text{II-45})$$

$$\delta_{0s} = 1 \text{ si } s = 0$$

$$\delta_{0s} = 0 \text{ si } s \neq 0$$

$$P_s^{\ell}(\mu) = \sqrt{\frac{(\ell-s)!}{(\ell+s)!}} (1-\mu^2)^{\frac{s}{2}} \frac{d^s}{d\mu^s} P_{\ell}(\mu)$$

La fonction de LEGENDRE associée.

La fonction de phase s'exprime alors de la façon suivante :

$$p(\mu, \phi; \mu', \phi') = \sum_{s=0}^{\ell} \frac{(2-\delta_{0s})}{\delta_{0s}} \cos s(\phi-\phi') \sum_{\ell=s}^L \beta_{\ell} P_s^{\ell}(\mu) P_s^{\ell}(\mu') \quad (\text{II-46})$$

Formule (II-37) qui exprime l'échauffement radiatif en diffusion primaire écrit alors :

$$h(z) = \pi F \mu_0 \exp\left(-\frac{\tau \xi}{\mu_0}\right) R(\mu_0 \mu_0; \xi, \xi) + \frac{F}{4} \int_0^{2\pi} \int_0^1 \sum_{s=0}^L (2-\delta_{0s}) \cos s(\phi-\phi_0) \sum_{\ell=s}^L \beta_\ell P_s^\ell(\mu) P_s^\ell(-\mu_0) F(\mu_0, \mu, \xi) d\mu d\phi \quad (\text{II-47})$$

$$+ \frac{F}{4} \int_0^{2\pi} \int_0^1 \sum_{s=0}^L (2-\delta_{0s}) \cos s(\phi-\phi_0) \sum_{\ell=s}^L \beta_\ell P_s^\ell(-\mu) P_s^\ell(-\mu_0) G(\mu_0, \mu, \xi) d\mu d\phi$$

Les intégrales doubles figurant dans cette expression sont à variables séparées et l'intégration sur ϕ peut être effectuée immédiatement. Compte tenu de la périodicité de $\cos s(\phi-\phi_0)$

$$\int_0^{2\pi} \cos s(\phi-\phi_0) d\phi = 2\pi \delta_{0s} \quad (\text{II-48})$$

l'expression (II-47) s'écrit finalement :

$$h(z) = \pi F \mu_0 \exp\left(-\frac{\tau \xi}{\mu_0}\right) R(\mu_0 \mu_0; \xi, \xi) + \frac{\pi F}{2} \int_0^1 \sum_{\ell=0}^L \beta_\ell P_\ell(\mu) P_\ell(-\mu_0) F(\mu_0, \mu, \xi) d\mu + \frac{\pi F}{2} \int_0^1 \sum_{\ell=0}^L \beta_\ell P_\ell(-\mu) P_\ell(-\mu_0) G(\mu_0, \mu, \xi) d\mu \quad (\text{II-49})$$

l'on a tenu compte du fait que $P_0^\ell(\mu) = P_\ell(\mu)$

FONCTION DE PHASE POUR UNE BRUME

1/ Etude de la granulométrie de la brume

Il nous faut maintenant calculer la valeur des coefficients β_ℓ permettant d'exprimer la diffusion pour une brume composée de gouttelettes d'eau de

re variable ce qui nécessite en premier lieu l'étude de la granulométrie brume considérée.

Utiliserons la formule générale proposée par D. DEIRMENDJIAN pour représenter la granulométrie des nuages, brumes et aérosols (référence 6).

Si dN est le nombre de gouttes de rayon compris entre r et $r + dr$, la fonction de répartition sera :

$$\frac{dN}{dr} = n(r) = a r^\alpha e^{-br^\gamma}$$

b , α et γ sont des constantes positives dépendant du type de brume con-

avec $\alpha = 2$; $b = 15,1186$; $\gamma = 0,5$; le rayon moyen des particules étant, pour un nombre total de gouttes de 100 par cm^3 nous avons

$$n(r) = 4,9757 r^2 e^{-15,1186 r^{0,5}} \times 10^6 \text{ cm}^{-3} \mu^{-1} \quad (\text{II-50})$$

est exprimé en microns et la concentration en nombre de gouttes par cette distribution correspond approximativement à une brume continentale.

Le calcul de la granulométrie a été programmé par J.C. GUILLEMOT et G. MENGO (références 7 et 8) et représenté pour la brume choisie sur la figure (1).

/ Calcul des β_ℓ

Le calcul, pour une granulométrie donnée, a été exposé en détail par G. GUILLEMOT (référence 7).

Pour une goutte de rayon r recevant l'éclairement E , l'intensité diffusée

$$I(\Theta) = E F(r) \frac{\pi r^2}{4\pi} p(\Theta) \quad (\text{II-51})$$

est le "coefficient de diffusion de MIE" pour la goutte de rayon r .

Posons $\alpha = \frac{2\pi r}{\lambda}$; alors $n(\alpha) = \frac{dN}{d\alpha} = \frac{\lambda}{2\pi} n(r)$. La fonction de phase relative

à la goutte rayon r , d'indice m est $p(\Theta) = \sum_{\ell=0}^{\infty} \beta_\ell(m, \alpha) P_\ell(\cos\Theta)$ l'intensité diffusée est alors

$$I(\Theta) = \frac{E}{4\pi} \int_0^\infty F(\alpha) \frac{\pi \lambda^2 \alpha^2}{4\pi^2} n(\alpha) d\alpha \sum_{\ell=0}^{\infty} \beta_\ell(m, \alpha) P_\ell(\cos\Theta) \quad (\text{II-52})$$

soit $n'(\alpha) = n(\alpha) \pi \alpha^2 F(\alpha)$; nous voulons écrire l'intensité diffusée sous
forme

$$I(\theta) = \frac{E}{4\pi} s \sum_{\ell=0}^{\infty} \beta_{\ell} P_{\ell}(\cos\theta) \quad (\text{II-53})$$

le coefficient de diffusion s vaut $s = \int_0^{\infty} \frac{\lambda^2}{4\pi^2} F(\alpha) \pi \alpha^2 n(\alpha) d\alpha$
l'équation (II-52) s'écrit alors

$$I(\theta) = \frac{E}{4\pi} s \sum_{\ell=0}^L P_{\ell}(\cos\theta) \frac{\int_0^{\infty} n'(\alpha) \beta_{\ell}(m, \alpha) d\alpha}{\int_0^{\infty} n'(\alpha) d\alpha} ; \quad (\text{II-54})$$

on obtient donc pour la brume en comparant (II-48) et (II-49)

$$\beta_{\ell} = \frac{\int_0^{\infty} n'(\alpha) \beta_{\ell}(m, \alpha) d\alpha}{\int_0^{\infty} n'(\alpha) d\alpha} \quad (\text{II-55})$$

Les coefficients $\beta_{\ell}(m, \alpha)$ ont été calculés à partir de la théorie de MIE
HERMAN (référence 9).

Le calcul des β_{ℓ} a été effectué sur calculatrice "Olivetti" Programma
d'après le programme mis au point par J.C. GUILLEMOT et J. MARENGO et
pour la brume considérée les résultats suivants.

$\beta_0 = 1$	$\beta_4 = 0,60625$
$\beta_1 = 1,74288$	$\beta_5 = 0,16208$
$\beta_2 = 1,66642$	$\beta_6 = 0,04416$
$\beta_3 = 0,99848$	$\beta_7 = 0,00914$

CALCUL NUMERIQUE

Le programme permettant le calcul de l'échauffement radiatif a été écrit
en FORTRAN 60 pour la BULL M 40 du Laboratoire de calcul de la Faculté des Scien-
ces de Lille à partir des formules (II-40) à (II-43) et (II-49). Le calcul des
fonctions $R(\mu_0, \mu', \xi, \xi')$ a été écrit sous forme de procédure, les fonctions de
Lébesgue L_0 et L_1 sont calculées par récurrence avec une précision supérieure
à la dixième. Les fonctions $F(\mu_0, \mu, \xi)$ et $G(\mu_0, \mu, \xi)$ sont calculées par la méthode
d'intégration de SIMPSON

$$\int_a^b f(x) dx = \frac{b-a}{3n} \sum_{i=0}^{n-2} [f(x_i) + 4f(x_{i+1}) + f(x_{i+2})]$$

$$x_i = \frac{i(b-a)}{n}$$

Une précision du millième est ainsi obtenue pour $n = 10$. L'intégration s'est effectuée par une méthode de quadrature de GAUSS (référence 10)

$$\int_a^b f(x) dx = \frac{b-a}{2} \sum_{i=0}^n H_i f(x_i)$$

$$x_i = \frac{a+b}{2} + \frac{b-a}{2} u_i$$

Les u_i sont les racines des polynômes de LEGENDRE de degré $n + 1$; les H_i sont des coefficients indépendants de $f(x)$. Les u_i et les H_i ont été tabulés en particulier par KRYLOV (référence 11) jusqu'à $n = 48$. Une précision de l'ordre de 1/10000ème est obtenue pour $n = 6$.

CHOIX DES PARAMETRES

Nous avons calculé l'échauffement radiatif provoqué par l'absorption du rayonnement solaire dans les bandes ν_1 , ν_3 et $2\nu_2$ de la vapeur d'eau qui en couvrant partiellement occupent un intervalle de longueur d'onde allant de 1000 cm^{-1} ($3,6\mu$) à 4400 cm^{-1} ($2,25\mu$). Dans le cas de ces bandes d'absorption il est difficile de trouver dans la littérature des valeurs précises de l'intensité moyenne $\bar{\sigma}_0$ et de la demi largeur moyenne $\bar{\alpha}_0$. Cependant le but essentiel de ce travail étant de déterminer le rapport relatif de la diffusion et non un échauffement absolu nous ne recherchons pas dans ce domaine une très grande précision et nous avons pu utiliser les résultats des mesures expérimentales effectuées par HOWARD, BURCH et WILKINS (référence 12) qui leur ont permis d'établir la relation empirique

$$\frac{1,97}{a_0} = \frac{\bar{\sigma}_0}{\bar{\alpha}_0}$$

où $\bar{\sigma}_0$ est l'intensité moyenne au niveau du sol et a_0 la quantité de vapeur d'eau nécessaire pour obtenir, au sol, une absorption de 0,5. D'après ces travaux, GOODY (référence 13) donne la courbe $f(\nu)$, nous avons calculé la valeur moyenne de a_0 sur l'intervalle considéré ce qui nous conduit à choisir $\bar{\sigma}_0 = 1 \text{ g}^{-1} \text{ cm}$ pour $\bar{\alpha}_0 = 0,11 \text{ cm}^{-1}$ et

l cm⁻¹.

Dans tous les calculs de l'échauffement nous avons utilisé la valeur l pour l'éclairement solaire incident, les résultats étant proportionnels à F. Dans l'intervalle considéré $F = 33,05 \text{ W.m}^{-2} \mu^{-1}$ d'après le Handbook of Geophysics (référence 14).

En ce qui concerne la diffusion moléculaire ou diffusion RAYLEIGH le Handbook of Geophysics donne pour la profondeur optique diffusante de toute l'atmosphère les résultats suivants (référence 15)

λ en μ	τ	
2	5,32	10^{-4}
2,5	2,22	10^{-4}
3	1,07	10^{-4}
3,5	5,8	10^{-5}

Ce sont des valeurs très faibles qui ne modifient pas l'échauffement relatif, l'effet de la diffusion étant négligeable pour $\tau \approx 0,01$.

Si l'on tient compte de la présence dans l'air d'aérosols en suspension, en particulier au dessus des grandes agglomérations, en l'absence de brume on peut raisonnablement estimer d'après les mesures effectuées par M. DELONCLE (référence 16) que τ est de l'ordre de 0,1 à 0,5. Cependant si l'on voulait traiter ce problème en détail il faudrait établir une nouvelle fonction de phase $p(\theta)$ correspondant à la nature de ces aérosols, à leur forme et à leur granulométrie.

Dans le cas qui nous intéresse plus particulièrement, celui des brumes maritimes suivant le type de brume considéré, leur épaisseur, et leur constitution qui n'est pas stable dans le temps. On a donc choisi plusieurs valeurs de τ de façon à correspondre approximativement aux cas réels étudiés par DELONCLE, BRICARD, CURE et VERET (référence 17) qui ont mesuré pour divers brouillards et brouillards la densité optique diffusante, au sol, en fonction de la longueur d'onde. On peut en déduire qu'aux environs de 2 à 3 μ , τ est de l'ordre de 0,25 à 1 par km, soit $s_0 n_0$ compris entre 0,25 et 1 km^{-1} . La formule (II-16) donne τ compris entre 0,5 et 2 pour toute l'atmosphère, pour une échelle de hauteur du diffusant $H_1 = 2 \text{ km}$.

Nous avons donc étudié l'influence de la diffusion sur l'échauffement latif pour plusieurs valeurs de τ comprises entre 0,1 et 2, pour deux cas de l'inclinaison du soleil correspondant à $\mu_0 = 1$ (soleil au zénith) et $\mu_0 = 0,5$ (soleil incliné de 60°) pour une brume répartie dans toute l'atmosphère avec $H_1 = 2$ km et $H_1 = 1$ km et pour une brume limitée à 1 ou 2 km.

RESULTATS

Les figures (3) et (4) représentent les résultats dans le cas d'une diffusion isotrope où le diffusant est réparti dans toute l'atmosphère avec $H_1 = 2$ km, respectivement pour $\mu_0 = 1$ et $\mu_0 = 0,5$. L'échauffement est donné en cm^{-1} en fonction d'une échelle arbitraire, $\xi_a = \exp(-z/H_a)$ avec $H_a = 1$ km, qui a été choisie afin de pouvoir comparer plus aisément l'ensemble des courbes que nous avons tracées.

Nous avons indiqué sur les courbes l'altitude z correspondante en mètres. Si l'on désire obtenir $h(\xi)$ en Watts cm^{-3} il faut multiplier les résultats par la valeur moyenne de F sur l'intervalle. Le gain en température par seconde ainsi provoqué s'obtient par la formule (I-29). Nous l'avons calculé pour $z = 0, 1$ km et 6 km, les résultats sont donnés dans le tableau

TABLEAU I

ΔT en degré par seconde $\times 10^5$							
z en m	$\tau = 0$	0,1	0,5	1	1,5	2	
0	1,32	1,28	1,021	0,70	0,47	0,31	
1000	1,38	1,39	1,31	1,12	0,92	0,73	
6000	0,80	0,82	0,86	0,90	0,93	0,96	
0	0,65	0,58	0,35	0,17	0,07	0,04	
1000	0,74	0,72	0,56	0,38	0,24	0,16	
6000	0,60	0,61	0,63	0,64	0,64	0,65	

Les figures (5) et (6) représentent les mêmes résultats dans le cas de brume répartie dans toute l'atmosphère pour $H_1 = 2$ km. Nous avons utilisé la fonction de phase représentée figure (2). Le tableau II donne gain en température.

Si que dans le cas d'une diffusion isotrope on remarque une nette diminution de l'échauffement aux basses altitudes d'autant plus forte que τ est plus grand, inversement aux fortes altitudes l'échauffement croît avec τ , et cet effet est plus important pour $\mu_0 = 1$ que pour $\mu_0 = 0,5$. Cet effet est aussi plus important pour une diffusion isotrope que pour une diffusion anisotrope.

L'échauffement radiatif en diffusion primaire à une altitude z est composé comme d'un terme dû au flux solaire directement transmis $h^s(z)$ qui décroît en fonction de τ d'autant plus rapidement que z est faible et de deux termes dus à la diffusion primaire, l'un représentant le flux diffusé vers le haut par les couches de l'atmosphère entre le niveau du sol et l'altitude z : $h^{D^+}(z)$ et l'autre représentant le flux diffusé vers le bas par les couches situées aux altitudes supérieures à z : $h^{D^-}(z)$. Les deux termes dus à la diffusion croissent en fonction de τ et $h^{D^+}(z)$ croît en fonction de z alors que $h^{D^-}(z)$ décroît. Pour des altitudes élevées $h^s(z)$ décroît lentement en fonction de τ alors que $h^{D^+}(z)$ croît plus vite, de ce fait l'échauffement croît en fonction de τ . Pour z faible $h^s(z)$ décroît beaucoup plus vite que ne croît $h^{D^-}(z)$ et l'échauffement décroît en fonction de τ . Dans le cas d'une diffusion anisotrope avec une fonction de phase telle que celle que nous utilisons la diffusion vers l'avant est beaucoup plus forte que la diffusion arrière alors qu'en diffusion isotrope les deux directions sont équivalentes, de ce fait l'effet de la diffusion primaire est nettement atténué.

Cette atténuation est plus sensible pour $\mu_0 = 1$ que pour $\mu_0 = 0,5$ car la direction avant est dans le premier cas la verticale et dans l'autre une direction faisant un angle de 60° avec la verticale, il y a donc une partie

ativement plus grande du flux diffusée vers le haut.

TABLEAU II

ΔT en degré par seconde $\times 10^5$							
z	z en m	$\tau = 0$	0,1	0,5	1	1,2	2
1	0	1,32	1,29	1,16	0,88	0,78	0,43
	1000	1,38	1,37	1,35	1,20	1,13	0,85
	6000	0,80	0,82	0,825	0,840	0,844	0,86
5	0	0,65	0,61	0,40	0,21	0,16	0,05
	1000	0,78	0,72	0,60	0,42	0,36	0,19
	6000	0,60	0,61	0,62	0,63	0,64	0,65

Les figures (7) et (8) représentent les résultats dans le cas d'une brume de 2 km d'épaisseur à partir du sol avec $H_1 = 2$ km, respectivement pour $\mu_0 = 1$ et $\mu_0 = 0,5$. Les figures (9) et (10) correspondent au cas d'une brume de 1 km d'épaisseur avec $H_1 = 1$ km. On a choisi les concentrations de diffusion de manière à pouvoir comparer ces courbes avec celles des figures (3), (5) et (6).

On remarque là aussi que l'échauffement au dessus de la brume est augmenté alors qu'il est diminué au niveau du sol. L'augmentation de l'échauffement au dessus de la brume est relativement plus importante que dans les cas précédents surtout pour $\mu_0 = 0,5$ puisqu'à ce niveau le terme dû au flux directement transmis n'est pas diminué. Enfin aux hautes altitudes l'effet devient négligeable, le flux diffusé vers le haut étant alors presque totalement absorbé.

Les tableaux (3) et (4) donnent les gains en température correspondants respectivement à la brume de 2 km et à celle de 1 km.

TABLEAU III

ΔT en degré par seconde $\times 10^5$					
u_0	z en m	$\tau = 0$	0,5	1	1,5
0	0	1,32	1,27	1,16	0,95
	1000	1,38	1,43	1,42	1,39
	6000	0,80	0,81	0,81	0,81
5	0	0,65	0,50	0,35	0,23
	1000	0,78	0,74	0,67	0,60
	6000	0,60	0,60	0,60	0,60

TABLEAU IV

ΔT en degré par seconde $\times 10^5$					
u_0	z en m	$\tau = 0$	0,8	1	1,2
0	0	1,32	1,21	1,14	1,08
	1000	1,42	1,42	1,44	1,44
	6000	0,80	0,80	0,80	0,80
5	0	0,65	0,41	0,35	0,29
	1000	0,78	0,80	0,81	0,82
	6000	0,60	0,60	0,60	0,60

CHAPITRE III

ETUDE DE L'INFLUENCE DE LA DIFFUSION MULTIPLE

SUR L'ECHAUFFEMENT RADIATIF

Au cours du chapitre précédent nous avons vu que la diffusion primaire par une brume dont la profondeur optique diffusante totale varie entre 1 et 2 avait une influence non négligeable sur l'échauffement radiatif en calculé dans une bande d'absorption, nous allons maintenant chercher à déterminer l'influence de la diffusion multiple. Pour cela nous avons mis au point une méthode de résolution de l'équation de transfert (I-24) qui calcule de manière itérative les luminances dues aux diffusions successives. Cette méthode a déjà été utilisée sous des formes différentes par quelques auteurs dont DAVE (référence 18) et IRVINE (référence 19); dans les cas que nous considérons elle donne des résultats très satisfaisants et permet en particulier de calculer les luminances diffusées dans les cas où l'albédo ω_0 (formule (I-14)) varie en fonction de l'altitude le long du trajet atmosphérique.

Dans ce chapitre nous allons exposer la "méthode des ordres successifs de diffusion", nous allons ensuite la tester en comparant les résultats qu'elle fournit à ceux que l'on peut obtenir à partir des principes d'invariance de CHANDRASEKHAR (référence 20) nous étudierons ensuite l'influence de la brume sur l'absorption du flux solaire par une raie de la vapeur d'eau et nous calculerons l'échauffement radiatif ainsi provoqué. Nous calculerons enfin l'échauffement radiatif moyen dans une bande d'absorption et nous comparerons les résultats ainsi obtenus à ceux du chapitre II.

METHODE DES ORDRES SUCCESSIFS DE DIFFUSION

Considérons l'équation de transfert (I-24) où la fonction source est définie par la formule (I-25).

$$\begin{aligned} \frac{dI_v(z; \mu, \phi)}{dz} = & - (s(z) + k_v(z)) I_v(z, \mu, \phi) + \frac{Fs(z)}{4} p(\mu, \phi; -\mu_0, \phi_0) \\ & \exp \left(- \frac{1}{\mu_0} \int_z^\infty (s(z'') + k_v(z'')) dz'' \right) \\ & + \frac{s(z)}{4\pi} \int_0^{2\pi} \int_{-1}^{+1} p(\mu, \phi; \mu', \phi') I_v(z; \mu', \phi') d\mu' d\phi' \end{aligned} \quad (\text{III-1})$$

appelons épaisseur optique la fonction :

$$\tau_v(z) = \int_z^\infty (s(z'') + k_v(z'')) dz'' \quad (\text{III-2})$$

$$d\tau_v(z) = - (s(z) + k_v(z)) dz \quad (\text{III-3})$$

$\tau_{vF} = \int_0^\infty (s(z'') + k_v(z'')) dz''$ l'épaisseur optique totale et nous utilisons l'albédo pour une diffusion (formule (I-14))

$$\bar{\omega}_{0v}(z) = \frac{s(z)}{s(z) + k_v(z)} \quad (\text{III-4})$$

ces notations, l'équation de transfert (III-1) devient :

$$\frac{dI_v(\tau_v; \mu, \phi)}{d\tau_v} = I_v(\tau_v; \mu, \phi) - \frac{\omega_{0v}(z)}{s(z)} J_v(\tau_v; \mu, \phi) \quad (\text{III-5})$$

Transformons cette équation intégral-différentielle en un système de deux équations intégrales en séparant les luminances diffusées ascendantes I^+ et descendantes I^- avec les conditions aux limites (II-23) nous obtenons :

$$\begin{aligned} I_v^+(\tau_v; \mu, \phi) &= \frac{1}{\mu} \int_{\tau_v}^{\tau_{vF}} J_v(\tau'_v; +\mu, \phi) \exp \left(- \frac{\tau'_v - \tau_v}{\mu} \right) d\tau'_v \\ I_v^-(\tau_v; -\mu, \phi) &= \frac{1}{\mu} \int_0^{\tau_v} J_v(\tau'_v; -\mu, \phi) \exp \left(- \frac{\tau_v - \tau'_v}{\mu} \right) d\tau'_v \end{aligned} \quad (\text{III-6})$$

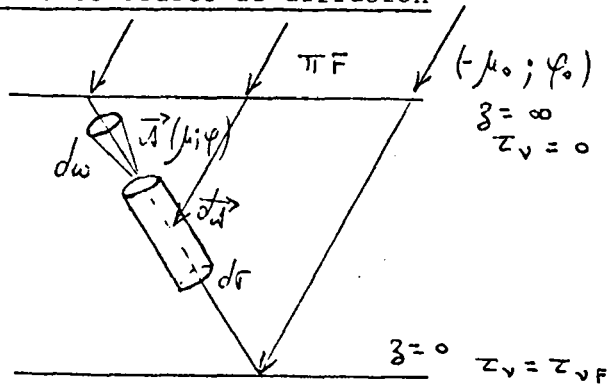
qui donne en remplaçant la fonction source J_v par sa valeur

$$\begin{aligned}
 I_{\nu}^{+}(\tau_{\nu}; +\mu, \phi) &= \frac{F}{4\mu} p(\mu, \phi; -\mu_0, \phi_0) \int_{\tau_{\nu}}^{\tau_{\nu F}} \bar{\omega}_{\text{ov}}(\tau'_{\nu}) \exp\left(-\frac{\tau'_{\nu}}{\mu_0} - \frac{\tau'_{\nu} - \tau_{\nu}}{\mu}\right) d\tau'_{\nu} \\
 &+ \frac{1}{4\pi\mu} \int_{\tau_{\nu}}^{\tau_{\nu F}} \bar{\omega}_{\text{ov}}(\tau'_{\nu}) \int_0^{2\pi} \int_{-1}^{+1} p(\mu, \phi; \mu', \phi') I_{\nu}(\tau'_{\nu}; \mu', \phi') \exp\left(-\frac{\tau'_{\nu} - \tau_{\nu}}{\mu}\right) d\tau'_{\nu} \\
 &\hspace{15em} d\mu' \cdot d\phi' \\
 &\hspace{15em} \text{(III-7)}
 \end{aligned}$$

$$\begin{aligned}
 I_{\nu}^{-}(\tau_{\nu}; -\mu, \phi) &= \frac{F}{4\mu} p(-\mu, \phi; -\mu_0, \phi_0) \int_0^{\tau_{\nu}} \bar{\omega}_{\text{ov}}(\tau'_{\nu}) \exp\left(-\frac{\tau'_{\nu}}{\mu_0} - \frac{\tau_{\nu} - \tau'_{\nu}}{\mu}\right) d\tau'_{\nu} \\
 &+ \frac{1}{4\pi\mu} \int_0^{\tau_{\nu}} \bar{\omega}_{\text{ov}}(\tau'_{\nu}) \int_0^{2\pi} \int_{-1}^{+1} p(-\mu, \phi; \mu', \phi') I_{\nu}(\tau'_{\nu}; \mu'; \phi') \exp\left(-\frac{\tau_{\nu} - \tau'_{\nu}}{\mu}\right) d\tau'_{\nu} \\
 &\hspace{15em} d\mu' \cdot d\phi'
 \end{aligned}$$

Evaluation des luminances dues aux différents ordres de diffusion

Considérons à nouveau la couche parallèle diffusante et absorbante d'épaisseur optique totale $\int_0^{\tau_{\nu F}} (s(z) + k_{\nu}(z)) dz$ recevant sa face supérieure un éclairement de direction $(-\mu_0, \phi_0)$.



alors allons évaluer les luminances dues aux différents ordres de diffusion en supposant le sol noir et en supposant qu'il n'y a pas d'intensité diffuse arrivant sur la face supérieure de la couche.

1/ Luminance primaire

À l'altitude z' l'éclairement incident directement transmis, atténué la couche de z' à l'infini est

$$\pi F \exp\left(-\frac{1}{\mu_0} \int_{z'}^{\infty} (s(z'') + k_{\nu}(z'')) dz''\right) = \pi F \exp\left(-\frac{\tau'_{\nu}}{\mu_0}\right)$$

Considérons un élément de volume cylindrique dv , de section $d\sigma$ de hauteur dz centré autour de la direction $\vec{s} = (\mu, \phi)$, à l'altitude z' . Le flux

diffusé dans l'élément d'angle solide $d\omega$ centré autour de la direction \vec{s} ,
l'élément de volume dv est

$$d^2\phi = \pi F \exp\left(-\frac{\tau'_v}{\mu_0}\right) \frac{\bar{\omega}_{ov}(z')}{4\pi} \left(s(z') + k_v(z')\right) p(\mu, \phi; -\mu_0, \phi_0) dv d\omega$$

La luminance énergétique diffusée dans la direction \vec{s} est

$$dI_{1v}(z'; \mu, \phi) = \frac{d^2\phi}{d\sigma d\omega} = \frac{\pi F \bar{\omega}_{ov}(z')}{4\pi} \exp\left(-\frac{\tau'_v}{\mu_0}\right) \left(s(z') + k_v(z')\right) p(\mu, \phi; -\mu_0, \phi_0) ds$$

son parcours de z' à z cette luminance subit une atténuation

$$\exp\left(-\frac{1}{\mu} \int_{z'}^z (s(z'') + k_v(z'')) dz''\right) = \exp\left(-\frac{|\tau_v - \tau'_v|}{\mu}\right)$$

A une altitude quelconque z la luminance primaire dans la direction (μ, ϕ) est constituée par l'ensemble des luminances diffusées pour la première fois aux différentes altitudes z' dans la direction (μ, ϕ) et atténuées le parcours (z', z) . Nous séparerons la luminance diffusée vers le haut la couche $I_1^+(z; +\mu, \phi)$ qui est due à la diffusion de l'éclairement incident à toutes les altitudes $z' < z$ et la luminance diffusée vers le bas $I_1^-(z; -\mu, \phi)$ à la diffusion de l'éclairement incident à toutes les altitudes $z' > z$.
obtenons :

$$I_{1v}^+(z; +\mu, \phi) = \pi F \int_0^z \frac{\bar{\omega}_{ov}(z')}{4\pi} \left(s(z') + k_v(z')\right) \exp\left(-\frac{\tau'_v}{\mu_0} - \frac{|\tau_v - \tau'_v|}{\mu}\right) p(+\mu, \phi; -\mu_0, \phi_0) \frac{dz'}{\mu}$$

$$I_{1v}^-(z; -\mu, \phi) = \pi F \int_z^\infty \frac{\bar{\omega}_{ov}(z')}{4\pi} \left(s(z') + k_v(z')\right) \exp\left(-\frac{\tau'_v}{\mu_0} - \frac{|\tau_v - \tau'_v|}{\mu}\right) p(-\mu, \phi; -\mu_0, \phi_0) \frac{dz'}{\mu}$$

qui s'écrit en fonction de la profondeur optique τ_v :

$$I_{\nu}^{+}(\tau_{\nu}; +\mu, \phi) = \frac{\pi F}{4\pi\mu} p(+\mu, \phi; -\mu_0, \phi_0) \int_{\tau_{\nu}}^{\tau_{\nu F}} \bar{\omega}_{ov}(\tau'_{\nu}) \exp\left(-\frac{\tau'_{\nu}}{\mu_0} - \frac{|\tau_{\nu} - \tau'_{\nu}|}{\mu}\right) d\tau'_{\nu} \quad (\text{III-8})$$

$$I_{\nu}^{-}(\tau_{\nu}; -\mu, \phi) = \frac{\pi F}{4\pi\mu} p(-\mu, \phi; -\mu_0, \phi_0) \int_0^{\tau_{\nu}} \bar{\omega}_{ov}(\tau'_{\nu}) \exp\left(-\frac{\tau'_{\nu}}{\mu_0} - \frac{|\tau_{\nu} - \tau'_{\nu}|}{\mu}\right) d\tau'_{\nu}$$

2/ Luminance d'ordre j+1

Soient $I_{\nu j}^{+}(z'; +\mu', \phi')$ et $I_{\nu j}^{-}(z'; -\mu', \phi')$ les luminances déjà diffusées, de directions respectives $(+\mu', \phi')$ et $(-\mu', \phi')$ à l'altitude z' . Calculons les luminances à l'altitude z du rayonnement diffusé pour la $(j+1)^{e}$ dans les directions $(+\mu, \phi)$ et $(-\mu, \phi)$.

A l'altitude z' , l'éclairement d'ordre j reçu par un élément de volume dv dans l'angle solide $d\omega'$ centré autour de la direction (μ', ϕ') est :

$$E_{\nu j} = I_{\nu j}(z'; \mu', \phi') d\omega'$$

la luminance énergétique diffusée par cet élément de volume dans la direction (μ, ϕ) est

$$d^2 I_{\nu j+1}(z'; \mu, \phi) = \frac{\bar{\omega}_{ov}(z')}{4\pi} (s(z') + k_{\nu}(z')) p(\mu, \phi; \mu', \phi') I_{\nu j}(z'; \mu', \phi') d\omega' ds$$

tenant compte des luminances $I_{\nu j}$ provenant de toutes les directions de space, nous obtenons

$$dI_{j+1}(z'; \mu, \phi) = \frac{\bar{\omega}_{ov}(z')}{4\pi} (s(z') + k_{\nu}(z')) \int \int_{\text{espace}} p(\mu, \phi; \mu', \phi') I_{\nu j}(z'; \mu', \phi') d\omega' ds$$

Et en poursuivant le même raisonnement que pour l'évaluation de la luminance primaire nous obtenons

$$I_{\nu j+1}^+(z'; +\mu, \phi) = \int_0^z \frac{\bar{\omega}_{0\nu}(z')}{4\pi} (s(z') + k_\nu(z')) \exp\left(-\frac{|\tau_\nu - \tau'_\nu|}{\mu}\right) \int_0^{2\pi} \int_{-1}^{+1} I_{\nu j}^\pm(z'; \pm\mu', \phi')$$

$$p(\mu, \phi; \pm\mu', \phi') d\mu' d\phi' \frac{dz'}{\mu}$$

$$I_{\nu j+1}^-(z'; -\mu, \phi) = \int_z^\infty \frac{\bar{\omega}_{0\nu}(z')}{4\pi} (s(z') + k_\nu(z')) \exp\left(-\frac{|\tau_\nu - \tau'_\nu|}{\mu}\right) \int_0^{2\pi} \int_{-1}^{+1} I_{\nu j}^\pm(z'; \pm\mu', \phi')$$

$$p(-\mu, \phi; \pm\mu', \phi') d\mu' d\phi' \frac{dz'}{\mu}$$

en fonction de τ_ν ,

$$I_{\nu j+1}^+(\tau_\nu; +\mu, \phi) = \int_{\tau_\nu}^{\tau_{\nu F}} \frac{\bar{\omega}_{0\nu}(\tau'_\nu)}{4\pi\mu} \exp\left(-\frac{|\tau_\nu - \tau'_\nu|}{\mu}\right) \int_0^{2\pi} \int_{-1}^{+1} I_{\nu j}^\pm(\tau'_\nu; \pm\mu', \phi')$$

$$p(\mu, \phi; \pm\mu', \phi') d\mu' d\phi' d\tau'_\nu$$

(III-9)

$$I_{\nu j+1}^-(\tau_\nu; -\mu, \phi) = \int_0^{\tau_\nu} \frac{\bar{\omega}_{0\nu}(\tau'_\nu)}{4\pi\mu} \exp\left(-\frac{|\tau_\nu - \tau'_\nu|}{\mu}\right) \int_0^{2\pi} \int_{-1}^{+1} I_{\nu j}^\pm(\tau'_\nu; \pm\mu', \phi')$$

$$p(-\mu, \phi; \pm\mu', \phi') d\mu' d\phi' d\tau'_\nu$$

luminance globale diffuse est la somme des luminances dues aux différents ordres de diffusion :

$$I_\nu^\pm(\tau_\nu; \pm\mu, \phi) = \sum_{j=1}^{\infty} I_{\nu j}^\pm(\tau_\nu; \pm\mu, \phi) \quad \text{(III-10)}$$

La combinaison des équations (III-8), (III-9) et (III-10) permet de retrouver l'équation (III-7).

Si qu'au chapitre II nous exprimerons la fonction de phase par la formule (4.6)

$$p(\mu, \phi; \mu', \phi') = \sum_{s=0}^L (2 - \delta_{0s}) \cos s(\phi - \phi') \sum_{\ell=s}^L \beta_\ell P_s^\ell(\mu) P_s^\ell(\mu') \quad \text{(III-11)}$$

éveloppons l'intensité $I_{vj}(\tau_v; \mu, \phi)$ en série des cos $\sigma(\phi - \phi_0)$:

$$I_{vj}(\tau_v; \mu, \phi) = \sum_{\sigma=0}^L (2-\delta_{\sigma 0}) I_{vj}^{\sigma}(\tau_v; \mu) \cos \sigma(\phi - \phi_0) \quad (\text{III-12})$$

Les systèmes (III-8) et (III-9) se transforment alors chacun en un système de $2(L+1)$ équations portant sur les I_{vj}^{s+} et les I_{vj}^{s-}

$$I_{1j}^{s+}(\tau_v; +\mu) = \frac{F}{4\mu} \sum_{\ell=s}^L \beta_{\ell} P_{\ell}^s(\mu) P_{\ell}^s(-\mu_0) \int_{\tau_v}^{\tau_{vF}} \bar{\omega}_{ov}(\tau'_v) \exp\left(-\frac{\tau'_v}{\mu_0} - \frac{|\tau'_v - \tau_v|}{\mu}\right) d\tau'_v \quad (\text{III-13})$$

$$I_{1j}^{s-}(\tau_v; -\mu) = \frac{F}{4\mu} \sum_{\ell=s}^L \beta_{\ell} P_{\ell}^s(-\mu) P_{\ell}^s(-\mu_0) \int_0^{\tau_v} \bar{\omega}_{ov}(\tau'_v) \exp\left(-\frac{\tau'_v}{\mu_0} - \frac{|\tau_v - \tau'_v|}{\mu}\right) d\tau'_v$$

$$I_{jj}^{s+}(\tau_v; +\mu) = \frac{1}{2\mu} \int_{\tau_v}^{\tau_{vF}} \bar{\omega}_{ov}(\tau'_v) \int_{-1}^{+1} \sum_{\ell=s}^L \beta_{\ell} P_{\ell}^s(\mu) P_{\ell}^s(\mu') I_{vj-1}^s(\tau'_v; \mu') \exp\left(-\frac{|\tau_v - \tau'_v|}{\mu}\right) d\mu' d\tau'_v \quad (\text{III-14})$$

$$I_{jj}^{s-}(\tau_v; -\mu) = \frac{1}{2\mu} \int_0^{\tau_v} \bar{\omega}_{ov}(\tau'_v) \int_{-1}^{+1} \sum_{\ell=s}^L \beta_{\ell} P_{\ell}^s(-\mu) P_{\ell}^s(\mu') I_{vj-1}^s(\tau'_v; \mu') \exp\left(-\frac{|\tau_v - \tau'_v|}{\mu}\right) d\tau'_v d\mu'$$

Nous avons tenu compte de la condition d'orthogonalité

$$\int_0^{2\pi} \cos s(\phi - \phi') \cos \sigma(\phi' - \phi_0) d\phi' = \frac{2\pi \delta_{s\sigma}}{2 - \delta_{\sigma 0}} \cos s(\phi - \phi_0) \quad (\text{III-15})$$

De même qu'au chapitre II (formule (II-48)) on montre que le calcul du flux de l'échauffement ne nécessite que la connaissance des fonctions I_v^s telles que $s = 0$.

Les systèmes (III-8) (III-13) et (III-14) de $2(L+1)$ équations sur les I_{vj}^{s+} et I_{vj}^{s-} nous n'aurons donc à résoudre que 2 systèmes de deux équations portant sur les fonctions I_{vj}^{o+} et I_{vj}^{o-} . Ces systèmes s'écrivent, en laissant tomber l'indice (o)

$$I_{vj}^+(\tau_v; +\mu) = \frac{F}{4\mu} \sum_{\ell=0}^L \beta_\ell P_\ell(+\mu) P_\ell(-\mu_0) \int_{\tau_v}^{\tau_{vF}} \bar{\omega}_{ov}(\tau'_v) \exp\left(-\frac{\tau'_v}{\mu_0} - \frac{|\tau'_v - \tau_v|}{\mu}\right) d\tau'_v \quad (III-16)$$

$$I_{vj}^-(\tau_v; -\mu) = \frac{F}{4\mu} \sum_{\ell=0}^L \beta_\ell P_\ell(-\mu) P_\ell(-\mu_0) \int_0^{\tau_v} \bar{\omega}_{ov}(\tau'_v) \exp\left(-\frac{\tau'_v}{\mu_0} - \frac{|\tau'_v - \tau_v|}{\mu}\right) d\tau'_v$$

$$I_{vj}^+(\tau_v; +\mu) = \frac{1}{2\mu} \int_{\tau_v}^{\tau_{vF}} \bar{\omega}_{ov}(\tau'_v) \exp\left(-\frac{|\tau'_v - \tau_v|}{\mu}\right) \sum_{\ell=0}^L P_\ell(-\mu) \beta_\ell \int_{-1}^{+1} P_\ell(\mu') I_{vj-1}(\tau'; \mu') d\mu' d\tau'_v \quad (III-17)$$

$$I_{vj}^-(\tau_v; -\mu) = \frac{1}{2\mu} \int_0^{\tau_v} \bar{\omega}_{ov}(\tau'_v) \exp\left(-\frac{|\tau'_v - \tau_v|}{\mu}\right) \sum_{\ell=0}^L \beta_\ell P_\ell(\mu) \int_{-1}^{+1} P_\ell(\mu') I_{vj-1}(\tau'; \mu') d\mu' d\tau'_v$$

Le flux diffus à l'altitude z est alors :

$$F_v^D(z) = \int_0^{2\pi} \int_{-1}^{+1} \sum_{j=1}^{\infty} I_{vj}^+(\tau_v(z); +\mu) d\mu - \int_0^{2\pi} \int_0^1 \mu \sum_{j=1}^{\infty} I_{vj}^-(\tau_v(z); -\mu) d\mu \quad (III-18)$$

l'échauffement radiatif correspondant s'exprime à partir de la formule
-22)

$$h_v^D(z) = -\pi F s(z) \exp\left(-\frac{\tau_v(z)}{\mu_0}\right) + k_v(z) \int_0^{2\pi} \int_0^1 \sum_{j=1}^{\infty} I_{vj}^+(\tau_v(z); +\mu) d\mu + k_v(z) \int_0^{2\pi} \int_0^1 \sum_{j=1}^{\infty} I_{vj}^-(\tau_v(z); -\mu) d\mu \quad (III-19)$$

Flux directement transmis s'exprime à partir de la formule (II-29)

$$F_v^s(z) = \pi F \mu_0 \exp \left(- \frac{1}{\mu_0} \int_z^\infty (s(z'') + k_v(z'')) dz'' \right)$$

l'échauffement radiatif correspondant par (II-30)

$$h_v^s(z) = - \frac{dF_v^s(z)}{dz} = \pi F (s(z) + k_v(z)) \exp \left(- \frac{1}{\mu_0} \int_z^\infty (s(z'') + k_v(z'')) dz'' \right)$$

Les équations (III-16) et (III-17) avec (III-18) et (III-19) permet-
si l'on connaît les fonctions $\tau_v(z)$ et $\omega_{ov}(z)$ de calculer le flux dif-
et l'échauffement radiatif à l'altitude z .

CALCUL DE LA LUMINANCE DIFFUSEE PAR UNE COUCHE HOMOGENE

Nous appliquerons d'abord la méthode au cas simple du rayonnement mono-
matique dans une couche homogène c'est à dire où $\bar{\omega}_0$ est indépendant de
altitude, et d'épaisseur optique totale τ_F . Nous avons supprimé dans ce pa-
raphe l'indice v pour alléger l'écriture. Nous exprimerons les résultats
fonction de la profondeur optique τ . Dans ces conditions l'intégration des
tions (III-16) est immédiate et nous obtenons pour le terme indépendant
azimuth

$$I_1^+(\tau; +\mu) = \frac{\bar{\omega}_0 F}{4} \frac{\mu_0}{\mu + \mu_0} \sum_{\ell=0}^L \beta_\ell P_\ell(\mu) P_\ell(-\mu_0) \left[e^{-\tau/\mu_0} - \exp \left(\frac{\tau - \tau_F}{\mu} - \frac{\tau_F}{\mu_0} \right) \right] \quad (III-20)$$

$$I_1^-(\tau; -\mu) = \frac{\bar{\omega}_0 F}{4} \frac{\mu_0}{\mu - \mu_0} \sum_{\ell=0}^L \beta_\ell P_\ell(-\mu) P_\ell(-\mu_0) \left(e^{-\frac{\tau}{\mu}} - e^{-\frac{\tau}{\mu_0}} \right)$$

es équations (III-17) deviennent

$$I_j^+(\tau; +\mu) = \frac{\bar{\omega}_0}{2\mu} \int_\tau^{\tau_F} \exp \left(- \frac{|\tau' - \tau|}{\mu} \right) \sum_{\ell=0}^L \beta_\ell P_\ell(+\mu) \int_0^1 P_\ell(-\mu') I_{j-1}^-(\tau'; -\mu') d\mu' \\ + \int_0^1 P_\ell(\mu') I_{j-1}^+(\tau'; \mu') d\mu' d\tau' \quad (III-21)$$

$$I_j^-(\tau; -\mu) = \frac{\bar{\omega}_0}{2\mu} \int_0^\tau \exp \left(- \frac{|\tau' - \tau|}{\mu} \right) \sum_{\ell=0}^L \beta_\ell P_\ell(-\mu) \int_0^1 P_\ell(-\mu') I_{j-1}^-(\tau'; -\mu') d\mu' \\ + \int_0^1 P_\ell(+\mu') I_{j-1}^+(\tau'; +\mu') d\mu' d\tau'$$

1/ Calcul numérique

Le programme de calcul des intensités et des flux diffusés a été écrit en ALGOL pour BULL M 40; on en trouvera l'organigramme en fin de ce travail, nous l'exposerons ici brièvement.

Le programme se divise en deux blocs principaux précédés des procédures d'intégration et de calcul des polynômes de LEGENDRE. Le premier bloc correspond au calcul des luminances primaires, le deuxième aux luminances multi-calculées de manière itérative jusqu'à la satisfaction d'un test de convergence.

a/ Calcul des Intégrales

Les intégrales portant sur les directions μ sont calculées par quadrature de GAUSS. Nous avons utilisé, le plus souvent, 8 points d'intégration entre 0 et 1, les résultats sont très précis pour la fonction de phase à $8 \beta_2$ nous considérons et le restent même lorsqu'on se contente de 6 points d'intégration : la différence des résultats dans les 2 cas est de 1 à 2 pour cent. Il est évident que pour des fonctions de phase plus complexes il sera nécessaire de resserrer le pas d'intégration.

Pour le calcul des intégrales portant sur la profondeur optique τ , la quadrature de GAUSS n'est pas utilisable sans accroître considérablement le temps de calcul. Pour plus de clarté nous exposerons brièvement cette méthode par la suite lorsque nous traiterons du calcul des luminances multiples.

b/ Calcul des luminances primaires

Il se fait directement à partir des formules (III-20). Pour des questions de capacité de mémoire centrale et de rapidité de calcul nous n'avons pu stocker les valeurs des luminances $I_1(\tau; \mu)$. Nous les faisons donc évaluer immédiatement et nous calculons les intégrales

$$SIP(\tau; \ell) = \int_0^1 P_\ell(+\mu) I_1^+(\tau; +\mu) d\mu + \int_0^1 P_\ell(-\mu) I_1^-(\tau; -\mu) d\mu$$

nous pouvons stocker en mémoire centrale. Notons que

$$SIP(\tau;1) = \int_0^1 \mu I_1^+(\tau;\mu) d\mu - \int_0^1 \mu I_1^-(\tau;-\mu) d\mu$$

au facteur 2π près le flux primaire $FP(\tau)$ à la profondeur optique τ ; de

$$SIP(\tau;0) = \int_0^1 I_1^+(\tau;\mu) d\mu + \int_0^1 I_1^-(\tau;-\mu) d\mu$$

met le calcul de la contribution du rayonnement primaire à l'échauffement latif à la profondeur optique τ à partir de la formule (III-19) appliquée cas où l'albédo ω_0 est constant.

$$h_1^D(\tau) = -\pi F s(\tau) \exp\left(-\frac{\tau}{\mu_0}\right) + 2\pi k(\tau) SIP(\tau;0)$$

c/ Calcul des luminances multiples

Elles s'obtiennent à partir des formules (III-21) avec $j = 2, 3$ etc ---. On a tenu des fonctions $SIP(\tau, \ell)$ stockées en mémoire ces équations s'écrivent :

$$I_2^+(\tau;\mu) = \frac{\bar{\omega}_0}{2\mu} \int_{\tau}^{\tau_F} \exp\left(-\frac{|\tau-\tau'|}{\mu}\right) \sum_{\ell=0}^L \beta_{\ell} P_{\ell}(+\mu) SIP(\tau';\ell) d\tau'$$

(III-22)

$$I_2^-(\tau;-\mu) = \frac{\bar{\omega}_0}{2\mu} \int_0^{\tau} \exp\left(-\frac{|\tau-\tau'|}{\mu}\right) \sum_{\ell=0}^L \beta_{\ell} P_{\ell}(-\mu) SIP(\tau';\ell) d\tau'$$

Les fonctions $SIP(\tau';\ell)$ varient lentement et de façon assez régulière en fonction de la profondeur optique alors que l'atténuation le long du chemin optique $\exp\left(-\frac{|\tau-\tau'|}{\mu}\right)$ décroît très rapidement en fonction de τ' , nous avons donc divisé les intervalles $[0, \tau]$ et $[\tau, \tau_F]$ en petits intervalles de longueur constante dans lesquels nous avons assimilé les fonctions $SIP(\tau, \ell)$ aux fonctions linéaires de τ . Nous avons alors pu calculer analytiquement cette approximation près les équations (III-22)..

Posons $\tau_0 = 0$, $\tau_a = \tau$ et $\tau_n = \tau_F$, $h = \tau_i - \tau_{i-1}$ la largeur de l'intervalle et

$$s^+(\tau_i) = \sum_{\ell} \beta_{\ell} P_{\ell}(+\mu) \text{SIP}(\tau_i; \ell)$$

$$s^-(\tau_i) = \sum_{\ell} \beta_{\ell} P_{\ell}(-\mu) \text{SIP}(\tau_i; \ell)$$

équations (III-22) deviennent :

$$I_2^+(\tau; +\mu) = \frac{\bar{\omega}_0}{2\mu} \sum_{i=a+1}^n \int_{\tau_{i-1}}^{\tau_i} \left(\frac{s^+(\tau_i) - s^+(\tau_{i-1})}{h} \tau' + \frac{s^+(\tau_{i-1})\tau_i - s^+(\tau_i)\tau_{i-1}}{h} \right)$$

$$\exp\left(-\frac{\tau' - \tau_a}{\mu}\right) d\tau'$$

$$I_2^-(\tau; -\mu) = \frac{\bar{\omega}_0}{2\mu} \sum_{i=1}^a \int_{\tau_{i-1}}^{\tau_i} \left(\frac{s^-(\tau_i) - s^-(\tau_{i-1})}{h} \tau' + \frac{s^-(\tau_{i-1})\tau_i - s^-(\tau_i)\tau_{i-1}}{h} \right)$$

$$\exp\left(-\frac{\tau_a - \tau'}{\mu}\right) d\tau'$$

qui donne après intégration

$$I_2^+(\tau; +\mu) = \frac{\bar{\omega}_0}{2} \sum_{i=a}^n \left[s^+(\tau_{i-1}) \exp\left(-\frac{\tau_{i-1} - \tau_a}{\mu}\right) - s^+(\tau_i) \exp\left(-\frac{\tau_i - \tau_a}{\mu}\right) - \frac{\mu}{h} (s^+(\tau_{i-1}) - s^+(\tau_i)) \left(\exp\left(-\frac{\tau_{i-1} - \tau_a}{\mu}\right) - \exp\left(-\frac{\tau_i - \tau_a}{\mu}\right) \right) \right]$$

(III-23)

$$I_2^-(\tau; -\mu) = \frac{\bar{\omega}_0}{2} \sum_{i=1}^a \left[s^-(\tau_i) \exp\left(+\frac{\tau_i - \tau_a}{\mu}\right) - s^-(\tau_{i-1}) \exp\left(+\frac{\tau_{i-1} - \tau_a}{\mu}\right) - \frac{\mu}{h} (s^-(\tau_i) - s^-(\tau_{i-1})) \left(\exp\left(+\frac{\tau_i - \tau_a}{\mu}\right) - \exp\left(+\frac{\tau_{i-1} - \tau_a}{\mu}\right) \right) \right]$$

de même que pour la diffusion primaire nous faisons immédiatement imprimer intensités et nous calculons les fonctions

$$\text{SIM}(\tau; \ell) = \int_0^1 P_{\ell}(+\mu) I_2^+(\tau; +\mu) d\mu + \int_0^1 P_{\ell}(-\mu) I_2^-(\tau; -\mu) d\mu$$

nous stockons en mémoire et nous avons encore $2\pi \text{SIM}(\tau;1) = F_2(\tau)$, flux la diffusion d'ordre 2 à l'altitude τ et $\text{SIM}(\tau;0)$ nous permet de calculer l'échauffement radiatif correspondant.

Après avoir calculé les intensités à toutes les profondeurs optiques remplaçons les tableaux $\text{SIP}(\tau;l)$ par les tableaux $\text{SIM}_j(\tau;l)$ ce qui nous permet de calculer la diffusion d'ordre 3 et ainsi de suite; le calcul s'arrête lorsque

$$\text{SIM}_J(\tau;0) \leq \frac{1}{100} \sum_{j=2}^{J-1} \text{SIM}_j(\tau;0) + \text{SIP}(\tau;0)$$

toutes les valeurs de τ .

d/ Résultats

La formule (III-10) permet le calcul de l'intensité totale siffusée et nous avons

$$I(\tau;\mu) = \sum_{j=1}^J I_j(\tau;\mu)$$

Le flux à la profondeur τ est alors en tenant compte du flux directement transmis

$$F(\tau) = \pi F \mu_0 \exp\left(-\frac{\tau}{\mu_0}\right) + 2\pi \text{SIP}(\tau;1) + 2\pi \sum_{j=2}^J \text{SIM}_j(\tau;1)$$

échauffement

$$h(\tau) = k(\tau) \cdot \pi F \exp\left(-\frac{\tau}{\mu_0}\right) + 2\pi k(\tau) \text{SIP}(\tau;0) + 2\pi k(\tau) \sum_{j=2}^J \text{SIM}_j(\tau;0)$$

2/ Comparaison à la méthode des principes d'invariance (référence 20)

Nous avons comparé les résultats donnés par la méthode des ordres successifs de diffusion avec ceux que l'on peut obtenir en diffusion isotrope à partir des tables déduites des principes d'invariance de CHANDRASEKHAR. Cette méthode permet de calculer facilement le rayonnement sortant d'une couche plane vers le haut et vers le bas.

Nous introduirons des fonctions de transmission T et de réflexion S définies par

$$I(0; +\mu, \phi) = \frac{1}{4\pi\mu} S(\tau_1; \mu, \phi; -\mu_0, \phi_0) \pi F \quad (\text{III-24})$$

$$I(\tau_1; -\mu, \phi) = \frac{1}{4\pi\mu} T(\tau_1; -\mu, \phi; -\mu_0, \phi_0) \pi F \quad (\text{III-25})$$

En cas de diffusion isotrope les luminances sont indépendantes de ϕ les fonctions S et T sont aisément calculables et donnent

$$\left(\frac{1}{\mu} + \frac{1}{\mu_0} \right) S(\tau_1; +\mu, -\mu_0) = \bar{\omega}_0 \left[X(\mu) X(\mu_0) - Y(\mu) Y(\mu_0) \right] \quad (\text{III-26})$$

$$\left(\frac{1}{\mu_0} - \frac{1}{\mu} \right) T(\tau_1; -\mu, -\mu_0) = \bar{\omega}_0 \left[Y(\mu) X(\mu_0) - X(\mu) Y(\mu_0) \right] \quad (\text{III-27})$$

Les fonctions X et Y étant définies par

$$X(\mu) = 1 + \frac{\bar{\omega}_0}{2} \mu \int_0^1 \frac{1}{\mu + \mu'} \left(X(\mu) X(\mu') - Y(\mu) Y(\mu') \right) d\mu' \quad (\text{III-28})$$

$$Y(\mu) = e^{-\tau_1/\mu} + \frac{\bar{\omega}_0}{2} \mu \int_0^1 \frac{1}{\mu - \mu'} \left(X(\mu') Y(\mu) - X(\mu) Y(\mu') \right) d\mu' \quad (\text{III-29})$$

Dans le cas de la diffusion isotrope nous possédons la table des fonctions X(μ) et Y(μ) établie pour différentes valeurs de $\bar{\omega}_0$ (référence 21) ce qui nous a permis de faire des comparaisons avec nos résultats.

Des formules (III-24), (III-25) et de (III-26), (III-27) nous obtenons

$$I(0; +\mu) = \frac{F}{4} \bar{\omega}_0 \frac{\mu_0}{\mu + \mu_0} \left(X(\mu) X(\mu_0) - Y(\mu) Y(\mu_0) \right) \quad (\text{III-30})$$

3/ Précision du calcul des intégrales

Nous avons testé la précision du calcul des intégrales en calculant les densités, les flux et les échauffements pour des valeurs fixées de $\bar{\omega}_0$ et

En choisissant plusieurs pas d'intégration, les résultats sont représentés figures (11) et (12) respectivement pour $\tau_F = 2, \bar{\omega}_0 = 0,98$ et pour $\tau_F = 5, \bar{\omega}_0 = 0,95$ dans le cas d'une diffusion anisotrope avec la fonction de phase $p(\theta)$ de la figure (2). N et M sont respectivement le nombre de pas d'intégration sur τ et sur μ . La précision des intégrales sur μ dépend essentiellement de la fonction de phase choisie. En diffusion anisotrope on obtient une approximation convenable si l'on choisit autant de points d'intégration qu'il y a de β_ℓ dans le développement de la fonction de phase. En fait, pour la fonction de phase choisie qui comporte 8 β_ℓ la précision est meilleure que 0,5% pour $M = 6$. La précision des intégrales sur τ dépend directement de τ_F , on obtient une précision de l'ordre de 0,5% pour un $\Delta\tau = 0,1$. On peut cependant estimer raisonnablement que pour des indicateurs fortement anisotropes (comportant 40 β_ℓ ou plus) la précision des intégrales sur τ dépend de la fonction de phase ce qui complique considérablement le problème. Tous les tests ont été effectués en diffusion isotrope et la fonction de phase correspondant à la brume pour $\tau_F = 1, 2, 5$ avec $\bar{\omega}_0 = 0,5, 0,9, 0,95$ et $0,98$; nous avons représenté les résultats correspondants à $\tau_F = 2, \bar{\omega}_0 = 0,98$ et $\tau_F = 5, \bar{\omega}_0 = 0,95$.

4/ Etude de la convergence de la méthode

On a comparé les luminances sortant au dessus et en dessous de la couche calculées d'après cette méthode à celles obtenues à partir des principes de covariance de CHANDRASEKHAR pour $\tau_F = 1$ et $\bar{\omega}_0 = 0,9$ avec $\mu_0 = 1$. Les résultats sont représentés figures (13) et (14) pour une diffusion isotrope.

Ainsi que le signale DAVE (référence 18) qui a étudié le cas des diffusions isotropes et RAYLEIGH, les rapports des luminances dues aux diffusions successives $\frac{I_j(\tau;\mu)}{I_{j-1}(\tau;\mu)}$ tendent vers une valeur constante dans toute la couche pour toutes les directions. Nous avons représenté figures (15) et (16) les rapports $\frac{I_j(\tau;0)}{I_{j-1}(\tau;0)}$ respectivement pour $\tau_F = 1, \bar{\omega}_0 = 0,9$ en diffusion isotrope et $\tau_F = 5, \bar{\omega}_0 = 0,95$ en diffusion anisotrope. Le nombre d'itérations nécessaires pour obtenir ce rapport constant à 1% près dépend évidemment de la fonction de phase, de $\bar{\omega}_0$ et de τ_F . Ainsi pour $\tau_F = 1, \bar{\omega}_0 = 0,9$ en diffusion isotrope on l'obtient au bout de 6 itérations alors qu'il en faut 13 pour $\tau_F = 5, \bar{\omega}_0 = 0,9$ en diffusion anisotrope.

A la limite ce rapport tend vers la première valeur propre de l'opéra-

$$J_1(\tau; -\mu_0) = e^{-\tau/\mu_0} + \int_0^{\tau_1} K(|t-\tau|) J_1(t; -\mu_0) dt$$

ec la fonction propre

$$K(t) = \int_0^{2\pi} \int_{-1}^{+1} p(\mu, \phi; \mu', \phi') e^{-t/\mu} \frac{d\mu}{\mu} d\phi$$

Ces valeurs propres ont été calculées par MULLIKIN (référence 22)
 sur les diffusions isotropes et RAYLEIGH et ont été comparées aux rapports
 de diffusions successives par DAVE. Dans la suite on a utilisé cette pro-
 priété, calculant la limite de la série géométrique ainsi obtenue ce qui per-
 met d'améliorer la précision du résultat obtenu tout en diminuant considéra-
 blement le temps de calcul.

III/ CAS D'UNE COUCHE INHOMOGENE

Nous allons maintenant utiliser la méthode que nous venons de tester
 pour calculer le flux diffus et l'échauffement radiatif, pour une couche
 inhomogène où le coefficient d'absorption varie en fonction de l'altitude.
 Dans le cas $\mu_0 = 1$, nous obtiendrons également la luminance diffuse que se
 réduit alors au terme indépendant de l'azimuth.

1/ Position du problème

Nous supposerons ainsi qu'au chapitre II que le nombre de particules
 diffusantes varie exponentiellement avec l'altitude, dans ce cas le coeffi-
 cient de diffusion varie avec l'altitude suivant la loi (II-15)

$$s(z) = s_0 n_0 \exp\left(-\frac{z}{H_1}\right) \tag{III-32}$$

et nous utiliserons la variable $\xi = \exp\left(-\frac{z}{H_1}\right)$.

En ce qui concerne l'absorption nous avons vu au chapitre I que l'intensité des raies importantes varie assez peu avec l'altitude nous négligerons cette variation en première approximation. La demi-largeur de la raie α en fonction de la pression et de la température suivant la loi (I-6)

$$\alpha(z) = \alpha_0 \frac{p(z)}{p_0} \left(\frac{T_0}{T} \right)^{\frac{1}{2}} \quad (\text{III-33})$$

pression suit la loi $p(z) = p_0 e^{-z/H}$.

Dans la basse atmosphère la température décroît d'environ $a = 6,5$ K tous km et reste stable aux environs de 216 K dans la troposphère. Nous prenons $T_0 = 288$ K au niveau du sol, les résultats étant peu sensibles à la variation de T_0 ; la troposphère commence à une altitude correspondant à une pression approximative de 0,227 atmosphère. Ces données sont issues des tables publiées par GOODY (référence 23). La température en Kelvin à l'altitude z s'écrit donc

$$T(z) = T_0 - a z = T_0 + a H_1 \log \xi \quad (\text{III-34})$$

est exprimé en km.

La demi-largeur de raie s s'exprime en fonction de ξ par la relation

$$\alpha(\xi) = \alpha_0 \xi^{\frac{1}{\beta}} (1+b \log \xi)^{-\frac{1}{2}} \quad (\text{III-35})$$

$$= \frac{a H_1}{T_0}$$

La densité d'absorbant varie en fonction de l'altitude suivant la loi (18)

$$\rho(z) = \rho_0 \exp \left(-\frac{z}{H_0} \right) = \rho_0 \xi^{\gamma} \quad (\text{III-36})$$

2/ Calcul de la profondeur optique et de l'albédo aux différentes altitudes

On les calcule à partir des formules (III-2) et (III-4)

$$\tau_{\nu}(z) = \int_z^{\infty} (s(z) + k_{\nu}(z)) dz \quad (\text{III-37})$$

$$\omega_{\text{ov}}(z) = \frac{s(z)}{s(z) + k_{\nu}(z)} \quad (\text{III-38})$$

nous pouvons séparer la profondeur optique absorbante $\tau_{abs \nu}$ et la profondeur optique diffusante τ_d

$$\tau_{\nu}(z) = \tau_{abs \nu}(z) + \tau_d(z) \quad (III-39)$$

Pour calculer la profondeur optique due à l'absorption nous utiliserons l'approximation de CURTIS-GODSON

$$\tau_{abs \nu}(z) = \int_z^{\infty} k_{\nu}(z) dz = \int_z^{\infty} \frac{\sigma(z) \alpha(z) \rho(z) dz}{\pi \left((\nu - \nu_0)^2 + \alpha^2(z) \right)} \approx \frac{1}{\pi} \frac{\alpha_e u_e}{(\nu - \nu_0)^2 + \alpha_e^2} \quad (III-40)$$

et α_e sont calculés à partir des relations (II-7) et (II-8) où nous négligerons la variation de l'intensité σ en fonction de l'altitude

$$u_e = \int_z^{\infty} \sigma_0 \rho(z) dz = \sigma_0 \rho_0 H_1 \gamma \xi^{\frac{1}{\gamma}} \quad (III-41)$$

$$\alpha_e u_e = \int_z^{\infty} \sigma_0 \rho(z) \alpha(z) dz$$

température est constante dans la troposphère; si ξ_2 est l'altitude où commence la troposphère nous aurons

$$\alpha_e u_e = H_1 \int_{\xi_e}^{\xi} \alpha_0 \rho_0 \xi^{\frac{1}{\beta} + \frac{1}{\gamma}} (1 + b \text{Log} \xi)^{-\frac{1}{2}} \frac{d\xi}{\xi} + H_1 \int_0^{\xi_2} \left(\frac{T_0}{T_t} \right)^{\frac{1}{2}} \alpha_0 \rho_0 \xi^{\frac{1}{\beta} + \frac{1}{\gamma} - 1} d\xi$$

utilisant un développement limité au 2ème ordre de $(1 + b \text{Log} \xi)^{-\frac{1}{2}}$ et en égarant par parties nous obtenons

$$\alpha_e u_e = \frac{\sigma_0 \alpha_0 \rho_0 H_1 \beta \gamma}{\beta + \gamma} \xi^{\frac{1}{\beta} + \frac{1}{\gamma}} \left[1 - \frac{b}{2} \left(\text{Log} \xi - \frac{\beta \gamma}{\beta + \gamma} \right) \right] \quad (III-42)$$

$$\times \left(1 - \frac{3b}{4} \left(\text{Log} \xi - \frac{\beta \gamma}{\beta + \gamma} \right) \right) + \frac{3b^2}{8} \left(\frac{\beta \gamma}{\beta + \gamma} \right)^2 \right] + R$$

$$R = \frac{\sigma_0 \alpha_0 \rho_0 H_1}{2} \frac{\beta \gamma}{\beta + \gamma} \xi_2^{\frac{1}{\beta} + \frac{1}{\gamma}} \left[\left(\text{Log} \xi_2 - \frac{\beta \gamma}{\beta + \gamma} \right) \left(1 - \frac{3b}{4} \left(\text{Log} \xi_2 \right. \right. \right. \quad (III-43)$$

$$\left. \left. - \frac{\beta \gamma}{\beta + \gamma} \right) \right] - \frac{3b}{4} \left(\frac{\beta \gamma}{\beta + \gamma} \right)^2 \right] + \frac{\sigma_0 \alpha_0 \rho_0 H_1 \beta \gamma}{\beta + \gamma} \xi_2^{\frac{1}{\beta} + \frac{1}{\gamma}} \left(\sqrt{\frac{T_0}{T_t}} - 1 \right)$$

T_t est la température de la troposphère.

Dans le cas où l'on néglige la variation de la température avec l'altitude (b = 0 et $\xi_2 = 0$) (III-42) se réduit à

$$\alpha_e u_e = \frac{\sigma_0 \rho_0 \alpha_0 H_1 \beta \gamma}{\beta + \gamma} \frac{1}{\xi^\beta} + \frac{1}{\gamma} \quad (\text{III-44})$$

La profondeur optique diffusante se calcule plus simplement : si τ_{dF} est la profondeur optique diffusante totale, le coefficient de diffusion est proportionnel à ξ nous obtenons

$$\tau_d(\xi) = \frac{\tau_{dF}(\xi - \xi_1)}{1 - \xi_1} \quad (\text{III-45})$$

$\tau_{dF} = \int_0^{z_1} s(z) dz$ est la profondeur optique diffusante totale de la couche d'épaisseur z_1 ; τ_{dF} a été désigné par τ_F dans le chapitre II. L'albédo s'obtient à partir de la formule (III-38) avec

$$k_v(\xi) = \frac{\sigma_0 \alpha(\xi) \rho(\xi)}{\pi [(v - v_0)^2 + \alpha^2(\xi)]} \quad (\text{III-46})$$

$$s(\xi) = \frac{\tau_{dF}}{1 - \xi_1}$$

$$\omega_{ov}(z) = \frac{\tau_{dF} \pi [(v - v_0)^2 + \alpha^2(\xi)]}{\tau_{dF} \pi [(v - v_0)^2 + \alpha^2(\xi)] + (1 - \xi_1) \sigma_0 \alpha(\xi) \rho(\xi)} \quad (\text{III-47})$$

3/ Calcul numérique

Nous avons utilisé une version modifiée du programme correspondant au calcul d'une couche homogène qui a déjà été exposé dans ce chapitre. Le calcul des luminances, du flux et de l'échauffement est effectué dans la couche diffuse depuis $\tau_v(\xi_1)$ jusqu'à τ_{vF} . On calcule les luminances diffusées au-dessous de la brume $I_{vj}^+(\tau_v(\xi); +\mu)$ où $\xi > \xi_1$ à partir des luminances $I_{vj}^+(\tau(\xi_1); +\mu)$ diffusées vers le haut au sommet de la brume

$$I_{vj}^+(\tau_v(\xi); +\mu) = \sum_j I_{vj}^+(\tau_v(\xi_1); +\mu) \exp\left(-\frac{\tau_v(\xi_1) - \tau_v(\xi)}{\mu}\right) \quad (\text{III-48})$$

Les équations (III-8) et (III-9) sont calculées avec un pas d'intégration constant sur τ_v qui est obtenu à partir des formules (III-39), (III-40) (III-45), ces relations sont inversées par dichotomie afin de calculer valeurs de ξ correspondantes; $\bar{\omega}_0(\tau_v)$ et $k_v(\tau_v)$ sont alors obtenus à partir des formules (III-46) et (III-47). Nous avons choisi un pas d'intégration sur v serré au voisinage du centre de la raie et plus lâche dans les autres afin de rendre compte de l'allure du phénomène en fonction de la fréquence. Le reste du programme est sensiblement identique à celui exposé pour une couche homogène.

4/ Résultats

On a posé $y = \frac{2(v-v_0)}{\delta}$ où $\delta = 5 \text{ cm}^{-1}$. y varie de -1 à $+1$ ce qui permet de décrire la raie jusque loin du centre puisque $y = 1$ correspond à $v - v_0 = \delta$. Tous les résultats sont donnés pour y compris entre 0 et 1, la raie est symétrique par rapport à son centre ($y=0$).

Nous avons représenté figures (17), (18) et (19) respectivement les luminances au niveau du sol $I_v^-(\tau_{vF}; -\mu)$, au sommet de la brume $I_v^+(\tau_v(\xi_1); +\mu)$ au dessus de la brume $I_v^+(\tau_v(\xi); +\mu)$ pour $\xi = 0,3$, en fonction de y pour les valeurs de μ . La luminance transmise au niveau du sol est maximum pour y proche de -1 ce qui correspond à la direction d'incidence privilégiée par la fonction de phase. Pour la même raison les luminances diffusées vers le haut $I_v^+(\tau; +\mu)$ croissent lorsque μ tend vers zéro. Le croisement des courbes que l'on remarque sur la figure (19) s'explique par le fait que si $\mu < \mu'$ $I_v^+(\tau(\xi_1); +\mu) > I_v^+(\tau(\xi_1); +\mu')$ mais l'absorption est en $\exp\left(-\frac{|\tau-\tau'|}{\mu}\right)$; elle est donc plus forte pour μ' que pour μ et en régime d'absorption forte les luminances les plus fortes sont obtenues à cette altitude pour $\mu = 1$. Dans les autres cas l'absorption devient faible et les luminances les plus fortes correspondent alors à $\mu = 0$.

Le flux global est représenté figure (20) en fonction de y , au niveau du sol ($\xi=1$) et au milieu de la brume ($\xi=0,6$ $z \approx 500$ m). La brume a pour effet de diminuer en valeur absolue. Au niveau du sol il n'y a pas de diffusion vers le haut et cette direction est due à l'affaiblissement du flux direct transmis à travers la brume, partiellement compensé par le flux diffusé

le bas par la couche diffusante. Au milieu de la brume il s'y ajoute le diffusé vers le haut par les couches comprises entre le sol et l'altitude considérée et compté positivement d'après nos conventions. Cet effet est négligeable près du centre de la raie où la presque totalité du flux a été absorbé par les couches supérieures de l'atmosphère, et plus important dans les ailes.

Sur la figure (21) on a représenté le flux global $F(\xi)$ en fonction de ξ . Plusieurs valeurs de y sans diffusion et avec diffusion. Au centre de la raie où l'absorption est très importante l'effet de la diffusion est tout à fait négligeable, il commence à être sensible pour $\nu - \nu_0 \approx 1,5 \alpha_0$ où $F(\xi)$ est diminué dans toute l'atmosphère mais plus au sol qu'aux altitudes élevées. L'absorption est encore importante et elle croît lorsque z décroît. Dans les ailes de la raie ($y=0,3$ ou $\nu - \nu_0 \approx 7 \alpha_0$) $F(\xi)$ est diminué sensiblement dans la même proportion à toutes les altitudes car l'absorption est alors faible et l'atténuation du flux au niveau du sol est due uniquement à la diffusion du flux incident vers le haut de l'atmosphère.

La diffusion du rayonnement par la brume se traduit par une augmentation de l'échauffement radiatif à toutes les fréquences, plus importante au milieu de la raie qu'au niveau du sol (figure (22)). A une altitude donnée l'échauffement est proportionnel à la quantité d'énergie traversant un élément de volume dv qui, en l'absence de brume, est directement proportionnelle à la transmission et au coefficient d'absorption $k_\nu(z)$. La transmission croît lorsque z croît et croît avec z , $k_\nu(z)$ décroît lorsque $\nu - \nu_0$ croît et décroît lorsque z croît, il y a donc un maximum de l'échauffement en fonction de la fréquence décalé vers le centre de la raie lorsque z croît. En présence de diffusion le maximum est légèrement décalé vers les ailes de la raie.

L'échauffement radiatif est tracé en fonction de ξ pour plusieurs valeurs de y (figures (23), (24) et (25)). Près du centre de la raie l'échauffement radiatif est maximum pour une altitude qui décroît lorsque $\nu - \nu_0$ croît. Plus on s'éloigne du centre de la raie l'absorption est plus faible et l'énergie absorbée décroît régulièrement avec $k_\nu(z)$ lorsque l'altitude décroît. En présence d'une diffusion l'échauffement est augmenté à toutes les altitudes bien que de façon négligeable au voisinage du centre de la raie pour les altitudes élevées. Cette augmentation est maximum pour une altitude qui décroît lorsqu'on s'éloigne du

tre de la raie. L'interprétation est sensiblement la même qu'au chapitre
mais en tenant compte de l'effet des diffusions multiples.

Au dessus de la brume le flux solaire incident n'est pas diminué, il
ajoute le flux diffusé par la brume vers le haut de l'atmosphère : l'é-
chauffement augmente. Au milieu de la brume une partie du flux incident a
diffusée mais on doit y ajouter le rayonnement diffus provenant de tou-
tes les directions qui est au maximum dans les couches centrales de la bru-
me. Au niveau du sol le flux directement transmis est atténué par toute la
brume et le sol étant non réfléchissant l'énergie à cette altitude est beau-
coup plus faible qu'au centre de la brume et l'échauffement diminue bien que
le coefficient d'absorption augmente. Dans le cas considéré ici il reste sur-
passer à l'échauffement sans diffusion, cela dépend essentiellement de la
direction de phase et de la direction d'incidence qui est privilégiée par la
direction de phase que nous avons choisi. Ici $\mu_0 = 1$ représente la verticale
descendante et de ce fait la plus grande partie du rayonnement diffusé est
dirigé vers le bas.

MOYENNE SUR LA RAIE

Nous allons calculer la valeur moyenne de l'échauffement radiatif sur un
intervalle de 5 cm^{-1} ne contenant qu'une seule raie et comparer les résultats
qui obtenus avec ceux que l'on obtient à partir des valeurs monochromatiques
d'échauffement obtenues au paragraphe III.

1/ Calcul de la transmission moyenne

Nous avons du calculer la valeur moyenne de la transmission sur l'inter-
valle considéré. Pour des raisons de commodité de calcul nous n'avons pas pu
calculer pour toutes les directions μ données et pour tous les chemins op-
tes considérés, le temps de calcul devenant alors prohibitif. Nous avons
cherché à obtenir la meilleure approximation possible du flux directe-
ment transmis à la verticale et nous avons fait l'approximation suivante

$$T(z, z', \mu) = \frac{1}{\Delta\nu} \int_{\Delta\nu} \exp \left(- \frac{1}{\mu} \left| \int_z^{z'} k_\nu(z) dz \right| \right) d\nu \quad (\text{III-49})$$

$$= \exp \left(- \frac{|\tau_{\text{abs}}(z) - \tau_{\text{abs}}(z')|}{\mu} \right)$$

$\tau_{abs}(z)$ est la profondeur optique absorbante à la verticale à l'altitude

$$\tau_{abs}(z) = - \text{Log} \left(\frac{1}{\Delta\nu} \int_{\Delta\nu} \exp \left(- \int_z^{\infty} k_v(z) dz \right) d\nu \right) \quad (\text{III-50})$$

Nous allons utiliser l'approximation de CURTIS-GODSON exposée au chapitre paragraphe III pour calculer le trajet effectif équivalent. u_e et α_e sont calculés d'après les formules (III-40), (III-41) et (III-42) et pour un intervalle $\Delta\nu$ ne contenant qu'une seule raie la transmission moyenne s'obtient à partir de la relation (I-3)

$$T(z, \infty, 1) = 1 - \frac{2\pi \alpha_e}{\Delta\nu} L \left(\frac{u_e}{2\pi \alpha_e} \right) \quad (\text{III-51})$$

la profondeur optique absorbante $\tau_{abs}(z)$ s'écrit alors

$$\tau_{abs}(z) = - \text{Log} \left(1 - \frac{2\pi \alpha_e}{\Delta\nu} L \left(\frac{u_e}{2\pi \alpha_e} \right) \right) \quad (\text{III-52})$$

En régime d'absorption faible, c'est à dire si $\frac{u_e}{2\pi\alpha_e}$ est suffisamment petit $L \left(\frac{u_e}{2\pi\alpha_e} \right) \approx \frac{u_e}{2\pi\alpha_e}$ et $\tau_{abs}(z) \approx - \text{Log}(1-u_e)$. Dans ce cas $\exp \left(- \frac{\tau_{abs}}{\mu} \right) \approx 1 - \frac{\tau_{abs}}{\mu}$ et l'approximation de la formule (III-49) est alors parfaitement valable. Dans le cas d'un intervalle ne contenant qu'une seule raie l'absorption est évidemment d'autant plus faible que l'intervalle est grand. L'intervalle de 5 cm^{-1} que nous avons choisi représente environ $45 \alpha_0$ ce qui est suffisamment grand pour justifier l'approximation (III-49). De plus dans ces couches ce sont les couches diffusantes les plus proches de l'altitude considérée et d'autant plus proches que μ est petit qui interviennent dans le calcul des luminances diffusées.

2/ Calcul des luminances moyennes et de l'échauffement moyen

Dérivons l'expression (III-49) de la transmission par rapport à z nous obtenons

$$\frac{dT}{dz} = \frac{1}{\Delta\nu} \int_{\Delta\nu} k_v(z) \exp \left(- \int_z^{\infty} k_v(z) dz \right) d\nu$$

calculerons alors le coefficient d'absorption moyen $k(z)$ par l'approximation suivante

$$k(z) = \frac{\frac{1}{\Delta v} \int_{\Delta v} k_v(z) \exp\left(-\int_z^\infty k_v(z) dz\right) dv}{\frac{1}{\Delta v} \int_{\Delta v} \exp\left(-\int_z^\infty k_v(z) dz\right) dv} = \frac{1}{T} \frac{dT}{dz}$$

Le calcul de $k(z)$ est alors sensiblement identique à celui de la fonction $R(\mu_0, \mu; \xi, \xi')$ du chapitre II (relation (II-43)) et nous obtenons en posant $\xi = \exp(-z/H_1)$

$$k(\xi) = \frac{\sigma_{000}}{\Delta v} \xi^\gamma \exp\left(-\frac{u_e}{2\pi\alpha_e}\right) \left[I_0\left(\frac{u_e}{2\pi\alpha_e}\right) + \left(\frac{\alpha_0}{\alpha_e} \xi^\beta - 1\right) I_1\left(\frac{u_e}{2\pi\alpha_e}\right) \right] \frac{1}{T(z, \infty; 1)} \quad (\text{III-53})$$

l'absorbé moyen $\bar{\omega}_0$ est alors

$$\bar{\omega}_0(\xi) = \frac{s(\xi)}{s(\xi) + k(\xi)}$$

Les approximations permettent alors de calculer l'échauffement radiatif en à partir de (III-19) et de l'expression (II-30) de l'échauffement correspondant au flux solaire directement transmis

$$h(\xi) = \pi F k(\xi) \exp\left(-\frac{\tau(\xi)}{\mu_0}\right) + 2\pi k(\xi) \int_{-1}^{+1} \sum_j I_j(\tau(\xi); \mu) d\mu \quad (\text{III-54})$$

$$\tau(\xi) = \tau_{\text{abs}}(\xi) + \tau_d(\xi)$$

la profondeur optique totale à l'altitude $z(\xi)$ pour une direction verticale. Les luminances moyennes $I_j(\tau(\xi); \mu)$ sont calculées à partir des relations (III-16) et (III-17) en substituant aux grandeurs monochromatiques les valeurs moyennes calculées ci-dessus. Le programme de calcul est alors identique à celui du paragraphe III.

Nous avons représenté, figure (26) les luminances $I^-(\tau_F; -\mu)$ au niveau

sol obtenues par cette méthode et à partir des résultats monochromatiques du paragraphe III dont la valeur moyenne a été calculée numériquement.

$$\bar{I}(\tau_F; -\mu) = \frac{1}{\Delta\nu} \int_{\Delta\nu} \sum_j \bar{I}_j(\tau_{\nu F}; -\mu) d\nu$$

Les résultats concordent à moins de 0,5% près ce qui montre que les approximations faites sur le calcul de la transmission étaient tout à fait raisonnables pour le cas considéré.

Les échauffements radiatifs calculés sans diffusion et avec la brume 1 km du paragraphe III sont représentés figure (27) et comparés aux résultats obtenus à partir des résultats monochromatiques $h_\nu(\xi)$ intégrés numériquement

$$h(\xi) = \frac{1}{\Delta\nu} \int_{\Delta\nu} h_\nu(\xi) d\nu$$

Puisque le calcul des luminances diffusées est effectué avec une très grande précision on ne peut expliquer l'erreur d'environ 11% remarquable sur cette figure aussi bien en l'absence de brume qu'en présence de brume par une mauvaise approximation du coefficient d'absorption moyen $k(z)$. On remarque d'ailleurs qu'en faisant subir à la courbe représentant l'échauffement moyen en présence d'une brume une homothétie de rapport 0,897 égal au rapport des échauffements sans diffusion au sol calculés d'après les résultats du paragraphe III et directement les résultats deviennent très satisfaisants, l'erreur n'excédant pas 2% or d'après la relation III-54) $h(\xi)$ est directement proportionnel à $k(\xi)$.

C'est là un problème général auquel se heurtent toutes les méthodes de calcul de transmission moyenne que ce soit pour une raie ou pour une bande; la meilleure approximation de la transmission conduit à une approximation assez grossière du coefficient d'absorption moyen. Si l'on désire obtenir des résultats avec une précision meilleure que 10% il faudrait alors chercher une méthode plus raffinée pour le calcul de $k(\xi)$; c'est un problème que nous nous proposons d'envisager dans l'avenir.

MOYENNE SUR UNE BANDE

L'approximation qui consiste à négliger les diffusions multiples n'est valable que si l'effet de la diffusion primaire sur l'échauffement radiatif est faible; or nous avons vu au chapitre II qu'en dehors des cas où la profondeur optique diffusante totale est très faible cet effet est relativement important et pour des brumes assez épaisses il n'est sans doute pas possible de négliger l'influence des diffusions multiples. Remarquons d'ailleurs que nous avons alors trouvé en ne tenant compte que de la diffusion primaire que l'échauffement radiatif était augmenté dans le haut de l'atmosphère et diminué au niveau du sol; lorsque nous avons étudié l'influence de la diffusion multiple sur l'échauffement provoqué par une raie d'absorption (chapitre III, paragraphe III et IV) nous avons trouvé qu'il était augmenté à toutes les altitudes. Nous calculerons donc maintenant l'influence des diffusions multiples sur l'échauffement radiatif moyen dû à l'absorption du rayonnement solaire par les bandes ν_1 , ν_2 et $2\nu_3$ de la vapeur d'eau.

1/ Calcul des grandeurs moyennes

Nous ferons les mêmes approximations qu'au paragraphe précédent; ce qui nous conduit à prendre

$$\tau_{abs}(z) = -\text{Log}(T(z, \infty; 1))$$

et $\bar{\alpha}_e$ étant définis par les formules (III-40), (III-41) et (III-42) à partir des valeurs moyennes $\bar{\sigma}$ et $\bar{\alpha}$ de l'intensité et de la demie largeur de raie dans la bande, définies par (II-5) et (II-6). La transmission moyenne sur une bande d'absorption s'exprime par (II-3) et (II-40) et nous obtenons

$$\tau_{abs}(z) = \frac{2\pi \bar{\alpha}_e}{\delta} L\left(\frac{\bar{u}_e}{2\pi \bar{\alpha}_e}\right) \tag{III-55}$$

δ est l'intervalle moyen entre les raies.

Le coefficient d'absorption moyen $k(z)$ est calculé comme au paragraphe précédent car l'erreur de l'ordre de 10% que nous commettons ainsi reste acceptable alors que nous cherchons à évaluer l'effet relatif de la diffusion

l'échauffement radiatif et non une valeur absolue de cet échauffement. Nous avons d'ailleurs vu au paragraphe IV que cette erreur dépendait très de la diffusion et que donc l'effet relatif restait le même. De plus le calcul de l'échauffement au chapitre II est effectué d'une manière sûre et nous aurons ainsi des résultats plus facilement comparables. Dans ce cas le coefficient d'absorption s'exprime à partir de (II-43)

$$k(\xi) = \frac{\bar{\sigma}_o \rho_o}{\delta} \xi^\gamma \exp \left(- \frac{\bar{u}_e}{2\pi \bar{\alpha}_e} \right) \left[I_0 \left(\frac{\bar{u}_e}{2\pi \bar{\alpha}_e} \right) + \left(\frac{\bar{\alpha}_o}{\bar{\alpha}_e} \xi^{\frac{1}{\beta}} - 1 \right) I_1 \left(\frac{\bar{u}_e}{2\pi \bar{\alpha}_e} \right) \right] \quad (\text{III-56})$$

Nous obtenons l'albédo moyen

$$\bar{\omega}_o(\xi) = \frac{s(\xi)}{s(\xi) + k(\xi)}$$

L'échauffement radiatif s'exprime alors par la formule (III-54), les données étant les mêmes qu'au chapitre II. Nous avons étudié le cas d'une brume de 1 km, d'épaisseur optique diffusante totale $\tau_{d1} = 0,8$ correspondant aux paragraphes III et IV pour $\mu_o = 1$ et $\mu_o = 0,5$ (figures (28) et (29)) et le cas d'une brume de 2 km avec $\tau_{d1} = 1,265$ qui correspond à la même densité de diffusant et $\tau_{d1} = 1,6$ qui correspond à la densité de diffusant trouvée par ARNULF et BRICARD (référence 17). Les résultats pour $\mu_o = 1$ et $\mu_o = 0,5$ sont donnés (figures (30) et (31)).

2/ Résultats et interprétation

Sur la figure (28) nous avons représenté les courbes correspondant à l'échauffement radiatif calculé sans diffusion et en présence d'une brume. On voit qu'on tient compte du gradient de température de l'atmosphère et lorsqu'on n'en tient pas compte. Les résultats sont très peu différents. L'échauffement est plus grand aux hautes altitudes lorsque la température est plus grande car alors l'absorption est plus grande, elle est plus faible au contraire lorsque le rayonnement qui a subi une plus forte absorption y est moins

Sur la figure (36) qui représente l'échauffement radiatif obtenu dans cas d'une brume de 1 km pour $\mu_0 = 1$, sans variation de température, nous avons fait figurer les résultats obtenus en diffusion primaire d'après la méthode exposée au chapitre II et d'après celle du chapitre III. On remarque entre ces résultats une différence qui reste cependant inférieure à 3%. Cette différence est due aux approximations que nous avons du faire, pour traiter le problème en tenant compte des diffusions multiples.

L'approximation la plus importante est celle qui concerne le calcul de la transmission moyenne du rayonnement diffusé. Au chapitre II, en effet, nous appliquons l'approximation de CURTIS-GODSON au chemin optique effectivement suivi par le rayonnement depuis le haut de l'atmosphère, avec la direction jusqu'à l'altitude z' où il était diffusé, puis de z' à z avec la direction μ . Nous calculons alors \bar{u}_e et $\bar{\alpha}_e$ par les formules (II-41) et (II-42)

$$\bar{u}_e = \frac{1}{\mu_0} \int_{z'}^{\infty} \bar{\sigma}_0 \rho(z) dz + \frac{1}{\mu} \left| \int_{z'}^z \bar{\sigma}_0 \rho(z) dz \right|$$

$$\bar{\alpha}_e \bar{u}_e = \frac{1}{\mu_0} \int_{z'}^{\infty} \bar{\sigma}_0 \bar{\alpha}(z) \rho(z) dz + \frac{1}{\mu} \left| \int_z^{z'} \bar{\sigma}_0 \bar{\alpha}(z) \rho(z) dz \right|$$

La transmission jusqu'en z du rayonnement diffusé en z' était alors obtenue (II-3) et (II-46)

$$T = \exp \left(- \frac{2\pi \bar{\alpha}_e}{\delta} \right) L \left(\frac{\bar{u}_e}{2\pi \bar{\alpha}_e} \right)$$

Cette méthode conduisant à des calculs beaucoup trop longs nous avons utilisé l'approximation (III-49) qui introduit la profondeur optique équivalente à la verticale $\tau_{abs}(z)$. \bar{u}_e et $\bar{\alpha}_e$ sont alors calculés par (III-40)

(III-41)

$$\bar{u}_e = \int_z^{\infty} \bar{\sigma}_0 \rho(z) dz$$

$$\bar{\alpha}_e \bar{u}_e = \int_z^{\infty} \bar{\sigma}_0 \rho(z) \bar{\alpha}(z) dz$$

la transmission jusqu'en z du rayonnement diffusé en z' s'écrit alors

$$T = \exp \left(- \frac{\tau_{\text{abs}}(z')}{\mu_0} - \frac{|\tau_{\text{abs}}(z') - \tau_{\text{abs}}(z)|}{\mu} \right)$$

$\tau_{\text{abs}}(z)$ s'exprime par (III-55)

$$\tau_{\text{abs}}(z) = \frac{2\pi \bar{\alpha}_e}{\delta} L \left(\frac{\bar{u}_e}{2\pi \bar{\alpha}_e} \right)$$

Ainsi que nous l'avons vu au paragraphe précédent cette approximation est responsable d'une imprécision qui augmente avec l'absorption; or dans le cas d'une bande, l'absorption est beaucoup plus grande que dans le cas d'une seule raie.

Sur la figure (29) nous avons représenté les résultats obtenus par cette méthode et par celle du chapitre II pour $\tau_{d1} = 0$ dans le cas où $\mu_0 = 0,5$. On remarque une différence assez importante, de l'ordre de 15 à 20% au dessus de la brume et de 8% au niveau du sol. Elle est due à l'approximation (III-49) sur la transmission moyenne, qui introduit une imprécision sur le calcul de l'échauffement radiatif en l'absence de diffusion. Cette imprécision croît lorsque μ_0 décroît, les résultats étant exacts pour $\mu_0 = 1$. En présence d'une brume l'erreur sur le terme dû au flux directement transmis est la même, mais son effet relatif sur le calcul de l'échauffement est plus important au dessus de la brume où l'absorption est prépondérante qu'au niveau du sol où le flux directement transmis étant atténué par toute la brume, c'est alors la diffusion qui domine. Nous avons donc corrigé les résultats obtenus en diffusion multiple en adoptant pour le terme dû au flux directement transmis les résultats obtenus à partir de la méthode du chapitre II, c'est à dire en ne faisant pas sur ce terme l'approximation (III-49). Nous avons représenté les résultats ainsi obtenus sur la figure (29) où nous avons également représenté les résultats obtenus en appliquant l'approximation (III-49) au flux directement transmis. Au niveau du sol l'erreur est négligeable alors qu'au dessus de la brume la différence est sensible car c'est alors le terme dû au flux directement transmis qui est prépondérant.

L'erreur introduite sur le calcul de l'échauffement dû au flux diffusé est beaucoup moins importante. En effet lorsque μ décroît ce sont des couches

diffusantes de plus en plus proches de l'altitude considérée qui interviennent d'autant plus que la densité de diffusant est grande. On peut alors estimer l'erreur sur le calcul de l'absorption moyenne sur le trajet $(z-z')$ diminue rapidement lorsque τ_{dl} augmente.

L'interprétation des résultats est sensiblement la même qu'au paragraphe et les gains d'énergie en degré par seconde sont donnés tableaux V et VI respectivement pour $H_1 = 1$ km et $H_1 = 2$ km. On remarque que pour $\mu_0 = 1$ l'échauffement en présence d'une brume est augmenté dans toute l'atmosphère; la fonction de phase privilégiant la direction avant qui correspond ici à la verticale dirigée vers le bas, seule une faible partie du rayonnement ressort de l'atmosphère, le reste subit un certain nombre de diffusions qui a pour effet d'augmenter le flux d'énergie traversant un élément de volume donné, l'effet de la diffusion étant maximum au milieu de la brume on trouve que l'échauffement est partout augmenté et présente un maximum situé vers le centre de la brume où la diffusion provoque une augmentation de l'échauffement de près de 60% pour une brume de 2 km et $\tau_{dl} = 1,6$. On constate que l'échauffement maximum croît en fonction de τ_{dl} et qu'au sol il décroît lorsque τ_{dl} augmente car une plus grande partie du flux incident est diffusée dans les couches supérieures. Pour $\mu_0 = 0,5$ la direction privilégiée par la fonction de phase est celle de la verticale et le flux sortant de l'atmosphère est beaucoup plus important, l'accroissement est alors beaucoup plus grand au dessus de la brume et pour $\mu_0 = 1$, le maximum est déplacé vers le haut de la brume et l'échauffement au sol est beaucoup plus faible.

TABLEAU V

ΔT en degré par seconde $\times 10^5$			
	z en m	$\tau_{dl} = 0$	$\tau_{dl} = 0,8$
	0	1,32	1,51
	500	1,34	1,85
	1000	1,38	1,65
	2000	1,37	1,48
	0	0,65	0,43
	5000	0,68	0,83
	1000	0,78	0,97
	2000	0,76	0,87

TABLEAU VI

ΔT en degré par seconde $\times 10^5$				
	z en m	$\tau_{dl} = 0$	$\tau_{dl} = 1,265$	$\tau_{dl} = 1,6$
	0	1,32	1,437	1,384
	500	1,34	1,928	1,992
	1000	1,38	2,044	2,169
	2000	1,37	1,736	1,818
	0	0,65	0,357	0,318
	500	0,68	0,639	0,598
	1000	0,78	0,903	0,875
	2000	0,76	1,014	1,060

CONCLUSION

Ce travail nous a permis de montrer que la diffusion du rayonnement solaire par une brume modifiait sensiblement l'équilibre thermique de l'atmosphère et qu'il n'était, en général, pas possible de se limiter à l'étude de la diffusion primaire.

Au cours de cette étude nous avons été amené à mettre au point une méthode de résolution de l'équation de transfert qui s'est avérée très souple d'emploi et particulièrement bien adaptée au traitement sur ordinateur. En particulier, dans le cas où le développement de la fonction de phase ne comporte pas trop de β_0 , elle permet d'étudier en un temps de calcul très raisonnable le cas de couches inhomogènes avec une bonne précision. Remarquons, cependant, qu'elle converge d'autant plus vite que l'absorption est faible et que dans le cas de milieux très faiblement absorbants elle nécessite alors un très grand nombre d'itérations ce qui conduit à de très longs calculs.

Nous avons également étudié la précision des méthodes de calcul des transmissions moyennes pour une raie et pour une bande d'absorption et nous avons en évidence une imprécision assez importante concernant le calcul du coefficient d'absorption moyen obtenu à partir de ces méthodes.

Il serait, sans doute, intéressant d'étudier plus à fond l'influence des brumes et des nuages sur le bilan énergétique de l'atmosphère. Il faudrait étudier l'effet d'une couche diffusante sur l'échauffement radiatif en fonction de l'inclinaison du soleil au cours de la journée et pour un plus grand domaine de longueur d'onde. Il faudrait, d'autre part, tenir compte de l'absorption propre de l'atmosphère, de la couche diffusante et du sol. Il pourrait aussi être intéressant d'étudier plus spécialement le problème des brumes liées à la pollution atmosphérique.

BIBLIOGRAPHIE

REFERENCES GENERALES

- J. LENOBLE - "Le rayonnement atmosphérique"
Cours de DEA d'Optique - Faculté des Sciences de Lille.
- R.M. GOODY - "Atmosphéric Radiation" - Oxford Press (1964).
- K.Ya KONDRAT'YEV - "Radiation heat exchange in the atmosphéric"
Pergamon Press - Oxford.
- HERZBERG - "Molecular Spectra and Molecular Structure"
T II "Infrared and Raman Spectra of Polyatomic Molecules"
D. Van Nostrand Company Inc - Princeton New-Jersey.
- G. MIE - Ann. der Phys. 25, (1908), 377.
- S. CHANDRASEKHAR - "Radiative Transfer"
Dover Publications - Oxford (1958).
- R.M. GOODY - "Atmospheric Radiation" - 4 - 5 - P. 150.
- R.M. GOODY - "Atmospheric Radiation" - 6 - 1 - 3 - P. 236.
- DEIRMENDJIANN - "Electromagnètic Scattering on Spherical Polydispersions"
Elsevier - New-York.
- J.C. GUILLEMOT - Thèse - Faculté des Sciences de Lille - (1966).
- J. MARENGO - Thèse - Faculté des Sciences de Lille - (1968).
- M. HERMAN - Thèse - Faculté des Sciences de Lille - (1968).
- ANGOT - " Compléments de Mathématiques" - 10 - 5 - 11 -
Editions de la Revue d'Optique - Paris
- KRYLOV - "Approximate Calculations of Integrals" - 12 -
Macmillan Company - London.
- HOWARD - BURCH and WILLIAMS - "Infrared Transmission of Synthese Atmos-
pheres" - Jl. Opt. Soc. Amer. - 46 -
P. 186,237,334,452 - (1956).
- R.M. GOODY - "Atmospheric Radiation" 5 - 4 - 4 - P. 188.
- Handbook of Geophysics - 16 - 16.
- Handbook of Geophysics - 16 - 22.
- M. DELONCLE - "Etude photoélectrique des aérosols volatils"
Revue d'Optique - (avril 1963).

ARNULF - BRICARD - CURE et VERET - "Recherches sur la transmission de la lumière par la brume et par le brouillard" - Revue d'Optique - (Mars 1959).

J.V. DAVE and W.H. WALKER - "Convergence of the itérative solution of the auxiliary equations for rayleigh scattering"- The Astrophysical Journal - vol. 144 n° 2 (May 1966).

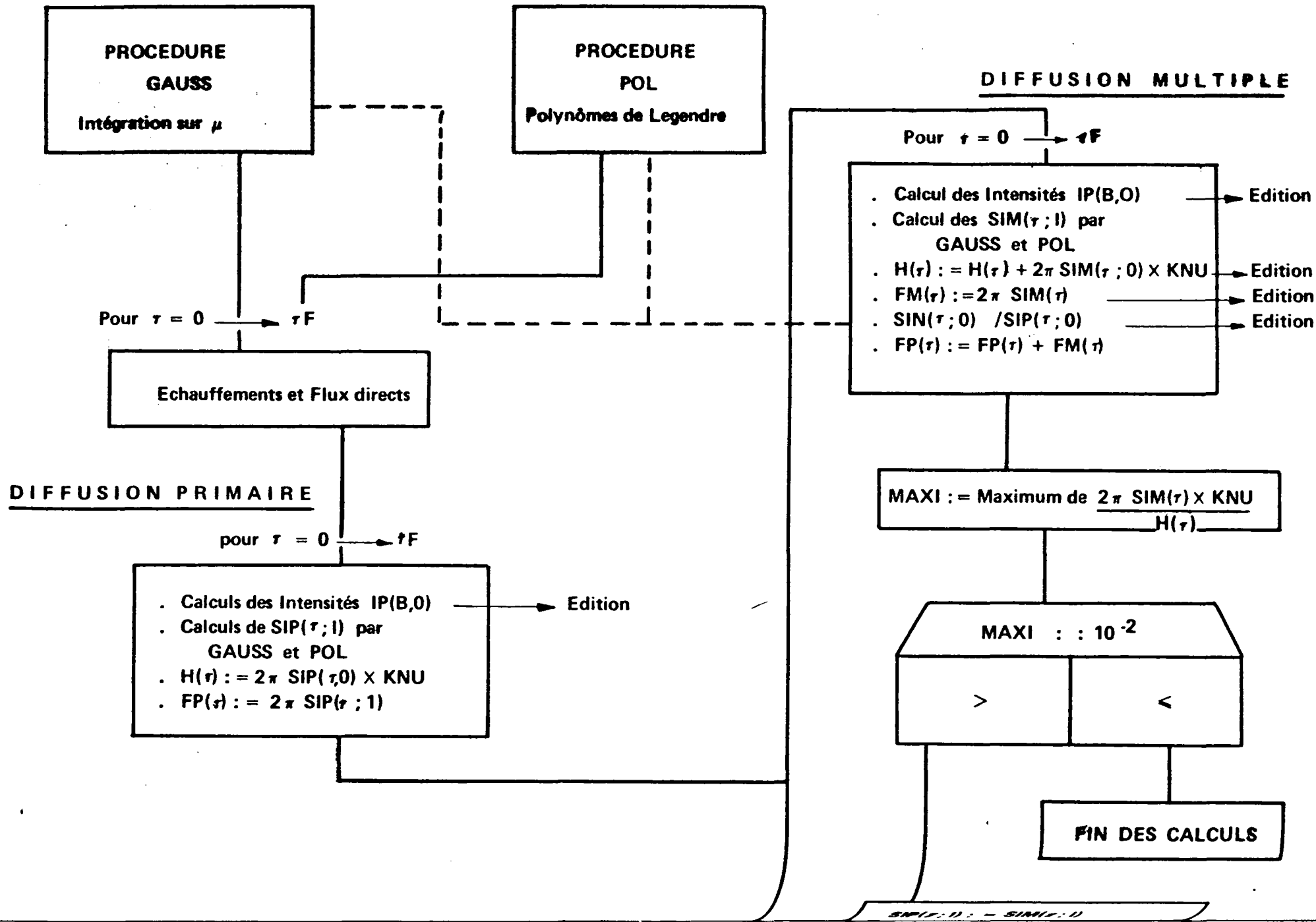
W.M. IRVINE and H.C. Van DE HULST - Mém. Soc. R. Sc. Liège - 24 - 78 - (1962).

S. CHANDRASEKHAR - "Radiative Transfer"

S. CHANDRASEKHAR - DONNA ELBERT and ANN FRANKLIN - "The X and Y functions for isotropic scattering" - Astrophysical Journal - (1952).

T.W. MULLIKIN and H.C. VAN DE HULST - Mém. Soc. R. Sc. Liège - 24 - 78 - (1962).

GOODY - "Atmospheric Radiation" - App. 5.



PROCEDURE GAUSS
Intégration sur μ

PROCEDURE POL
Polynômes de Legendre

DIFFUSION MULTIPLE

Pour $\tau = 0 \rightarrow \tau F$

Echauffements et Flux directs

DIFFUSION PRIMAIRE

pour $\tau = 0 \rightarrow \tau F$

- . Calculs des Intensités IP(B,0) → Edition
- . Calculs de SIP(τ ;l) par GAUSS et POL
- . $H(\tau) := 2\pi \text{SIP}(\tau,0) \times \text{KNU}$
- . $FP(\tau) := 2\pi \text{SIP}(\tau;1)$

Pour $\tau = 0 \rightarrow \tau F$

- . Calcul des Intensités IP(B,0) → Edition
- . Calcul des SIM(τ ;l) par GAUSS et POL
- . $H(\tau) := H(\tau) + 2\pi \text{SIM}(\tau;0) \times \text{KNU}$ → Edition
- . $FM(\tau) := 2\pi \text{SIM}(\tau)$ → Edition
- . $\text{SIN}(\tau;0) / \text{SIP}(\tau;0)$ → Edition
- . $FP(\tau) := FP(\tau) + FM(\tau)$

MAXI := Maximum de $\frac{2\pi \text{SIM}(\tau) \times \text{KNU}}{H(\tau)}$

MAXI : : 10^{-2}

> | <

FIN DES CALCULS

SIP(τ ;l) := -SIP(τ ;-l)

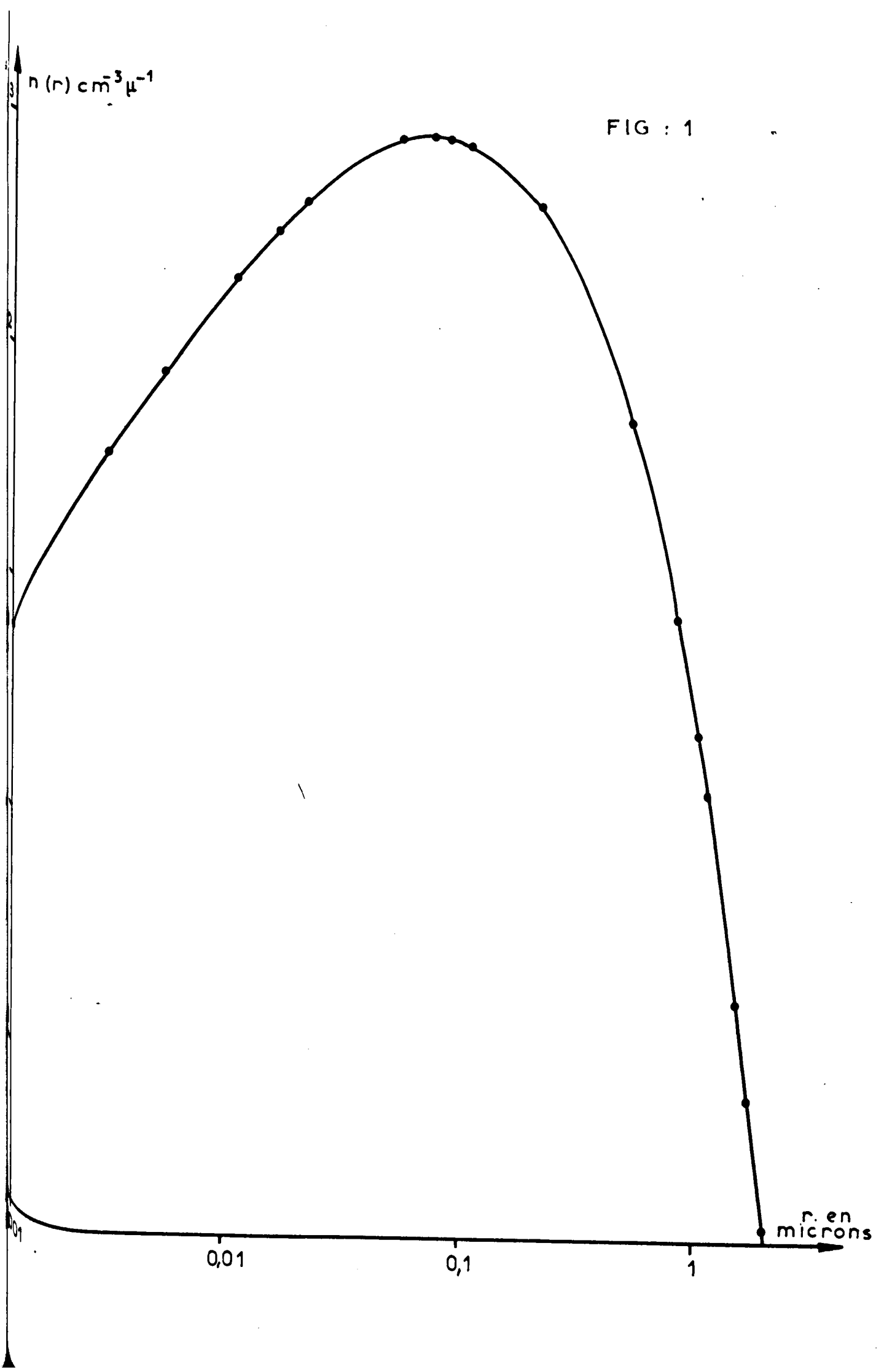


FIG : 1

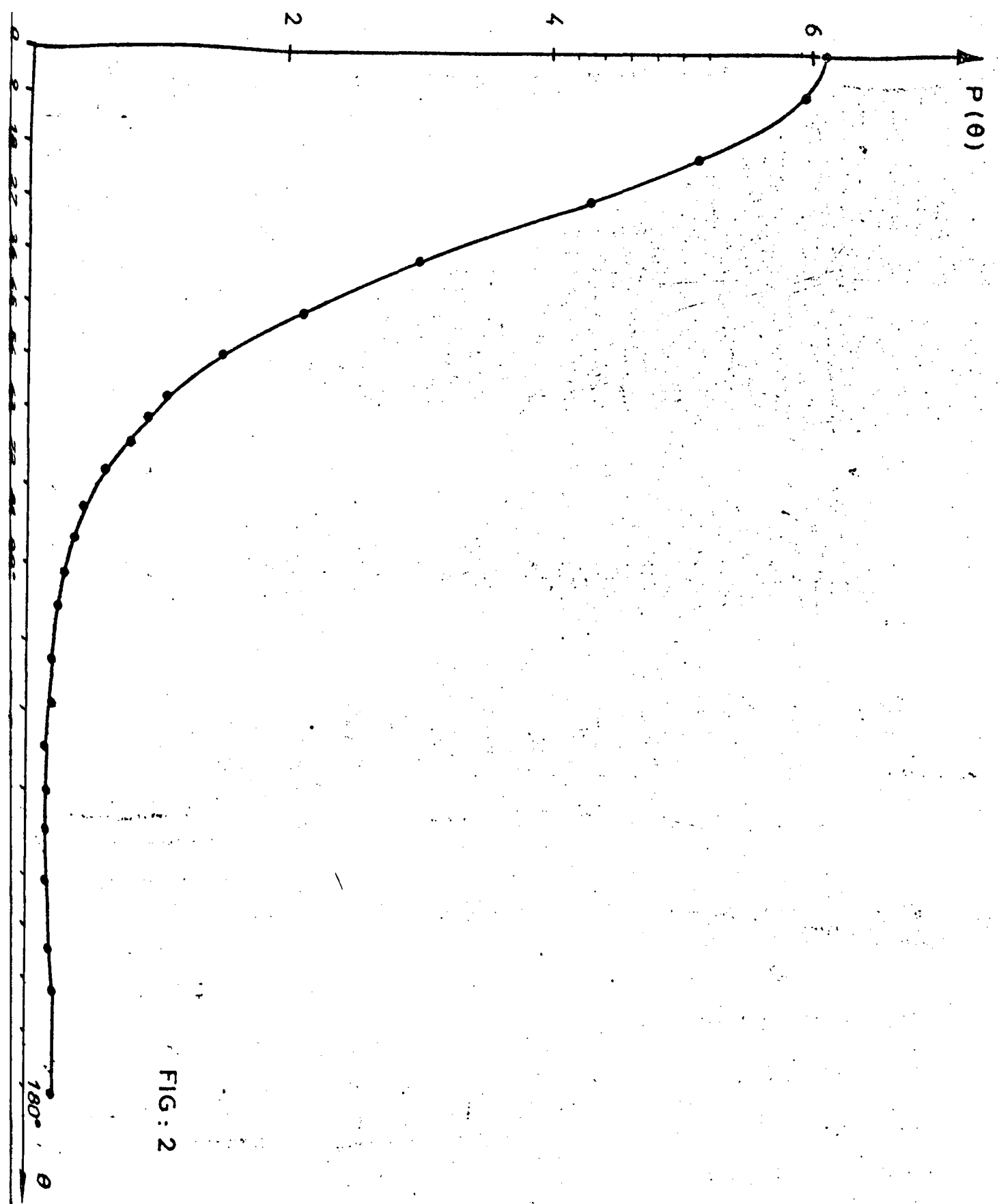


FIG: 2

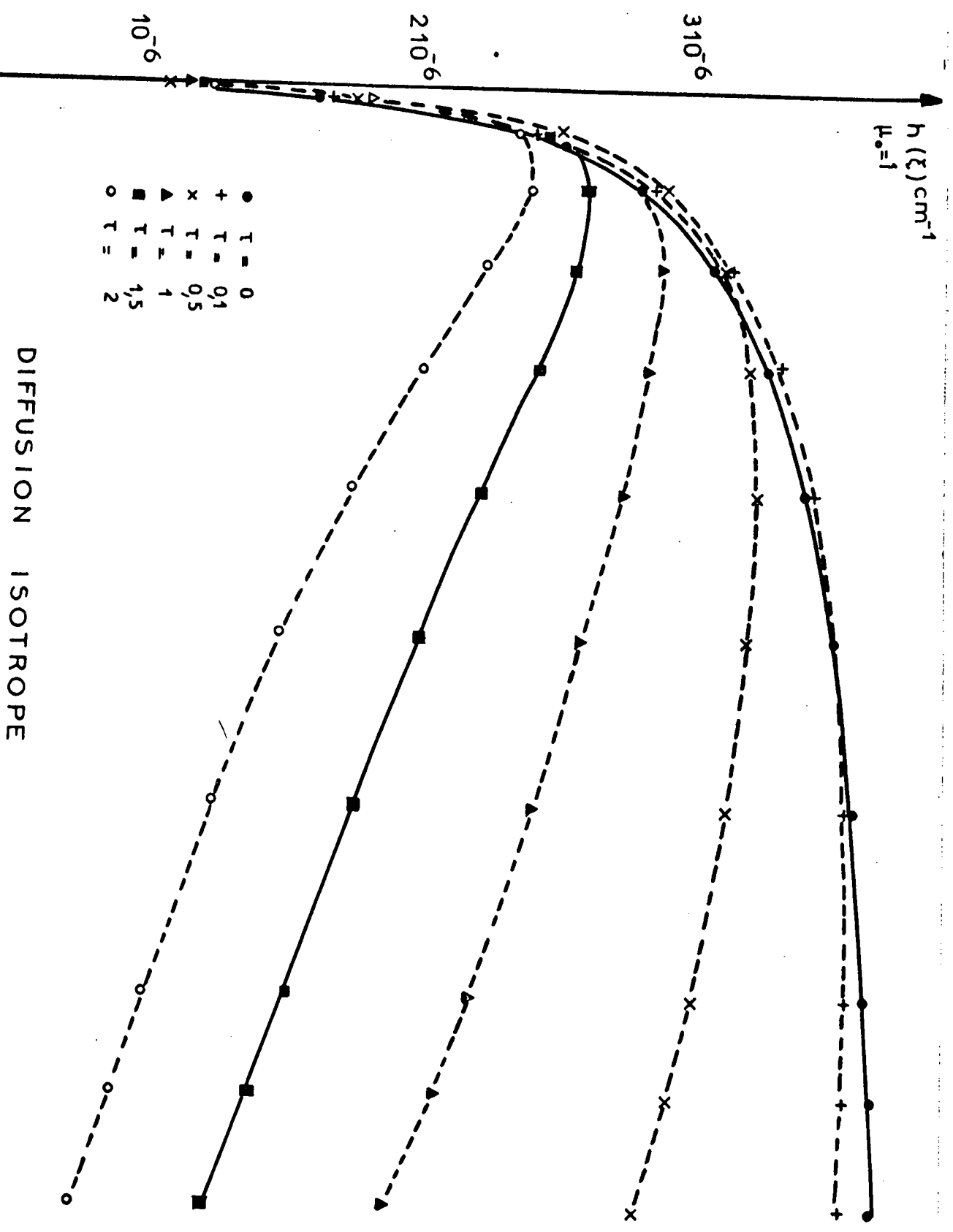
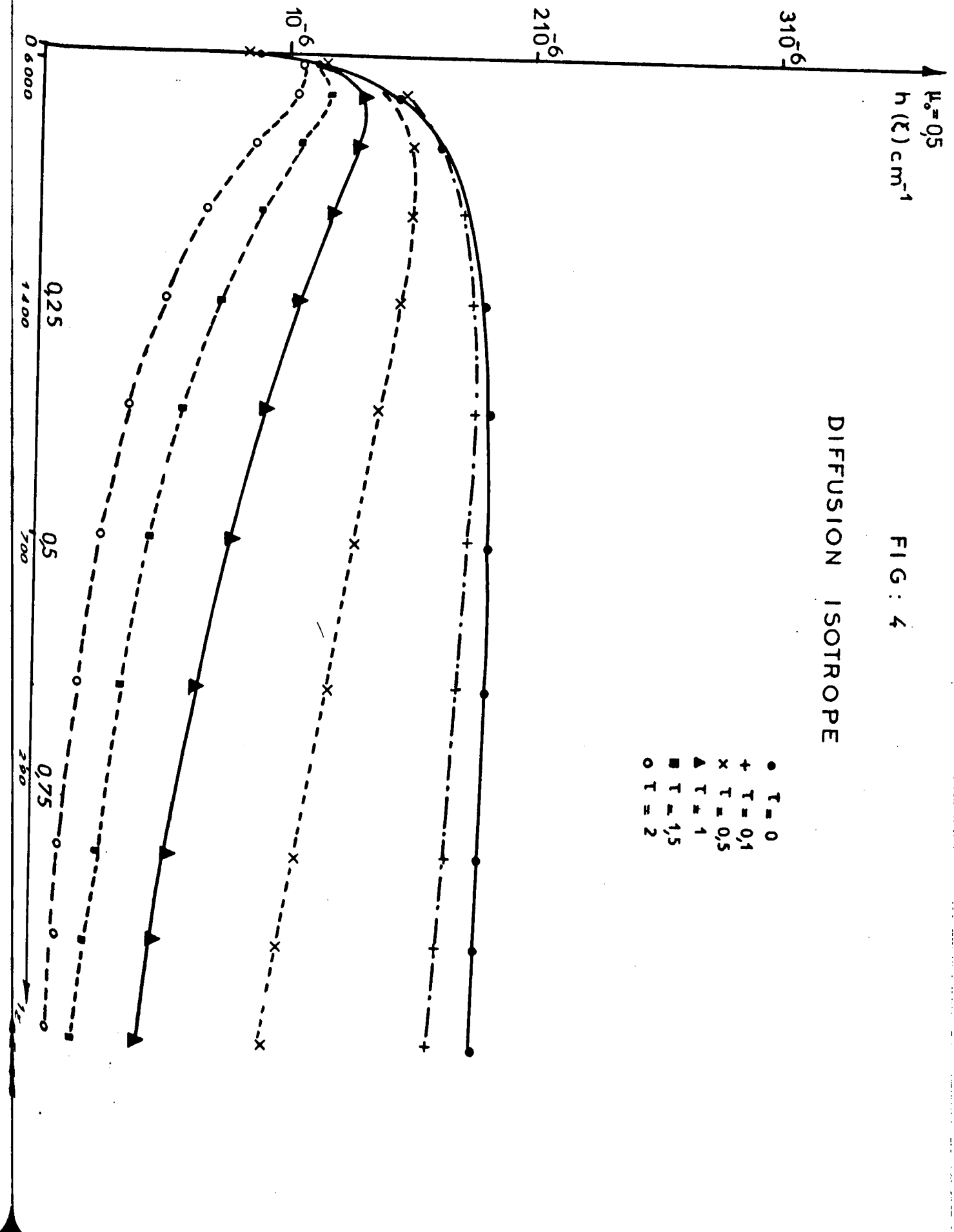


FIG: 3

DIFFUSION ISOTROPE

FIG : 4



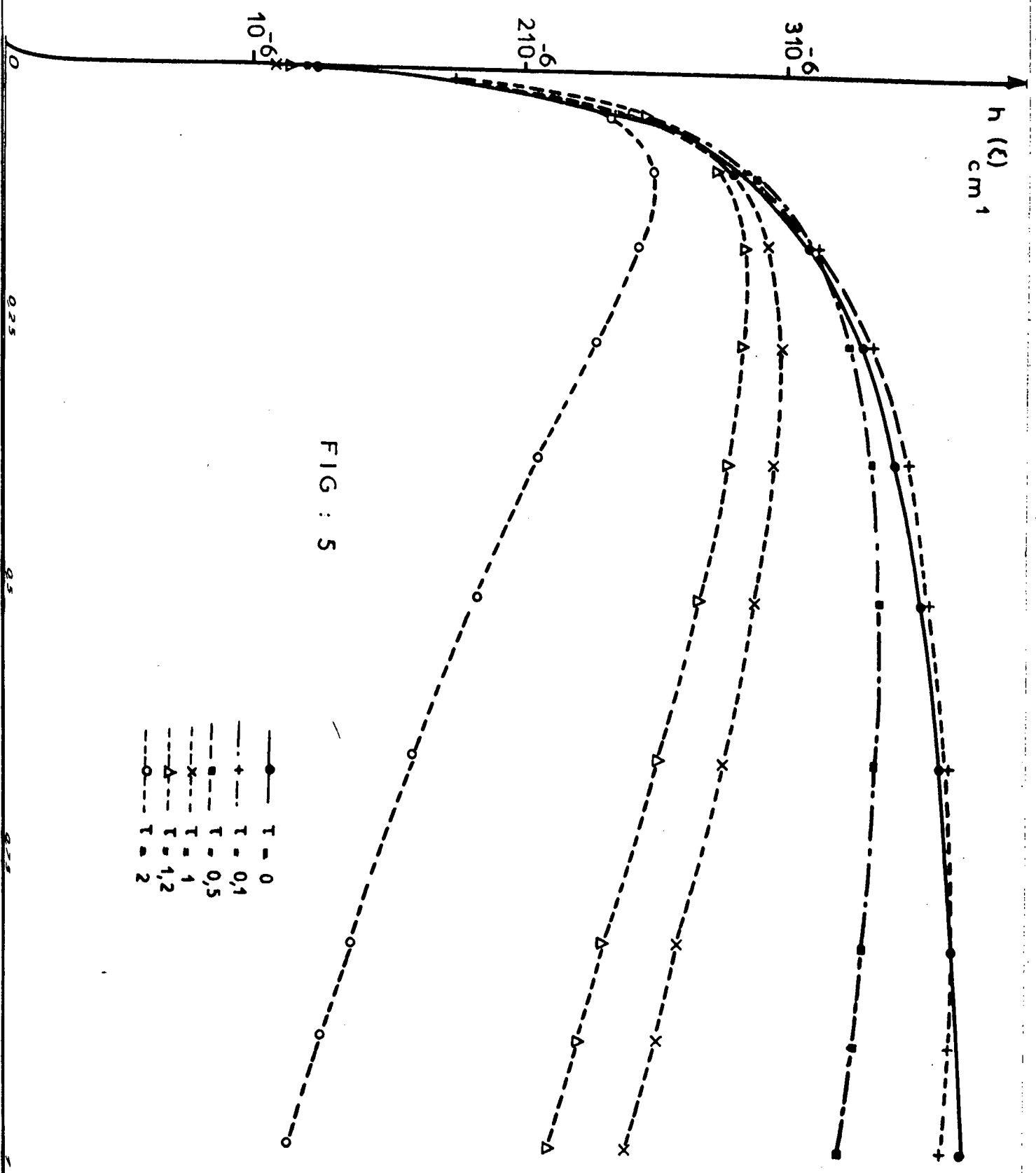


FIG : 5

- $T = 0$
- +-- $T = 0,1$
- $T = 0,5$
- x-- $T = 1$
- Δ-- $T = 1,2$
- $T = 2$

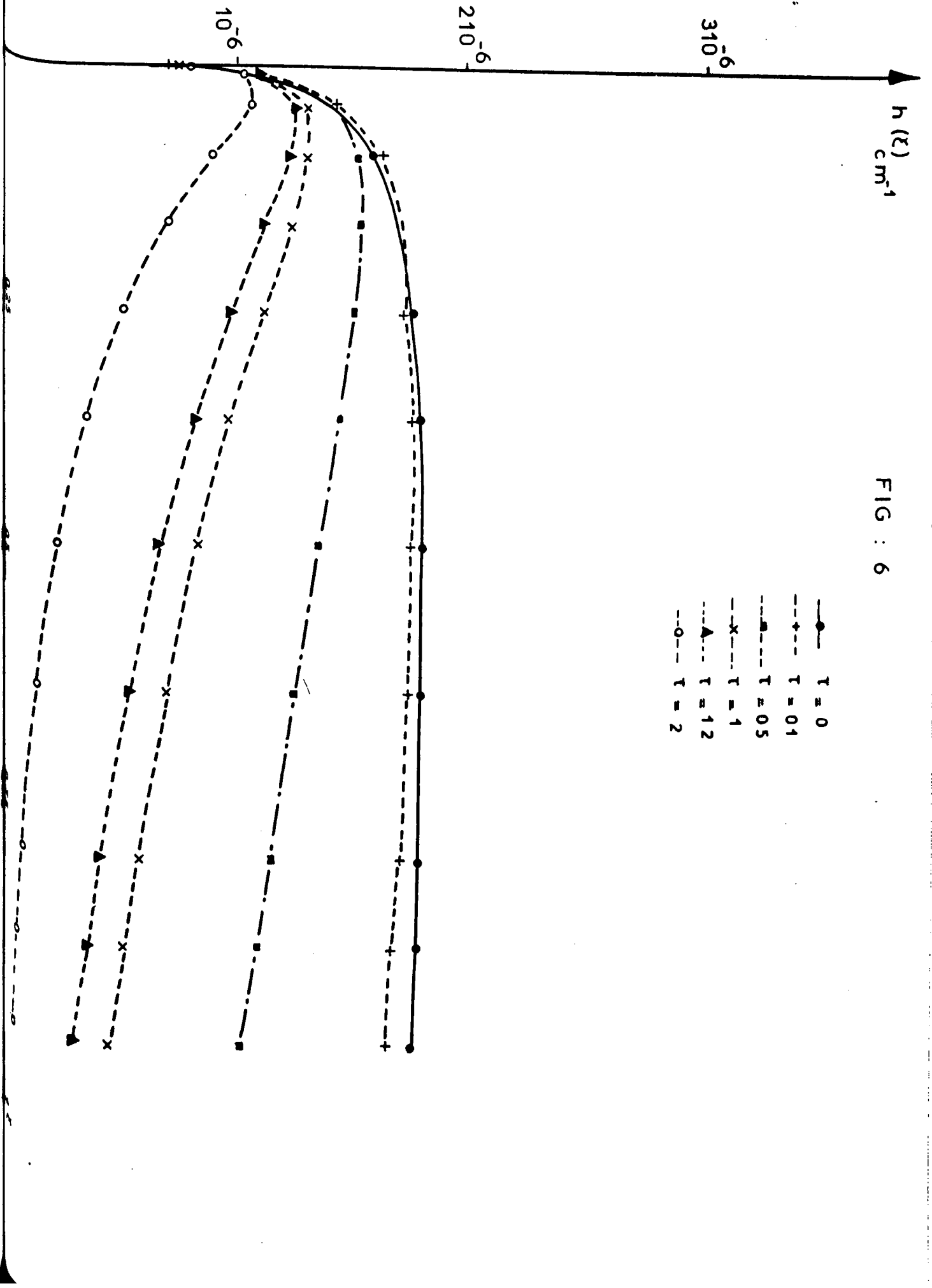


FIG : 6

- $T = 0$
- - + - - $T = 0.01$
- ...■... $T = 0.05$
- - x - - $T = 1$
- △--- $T = 12$
- - o - - $T = 2$

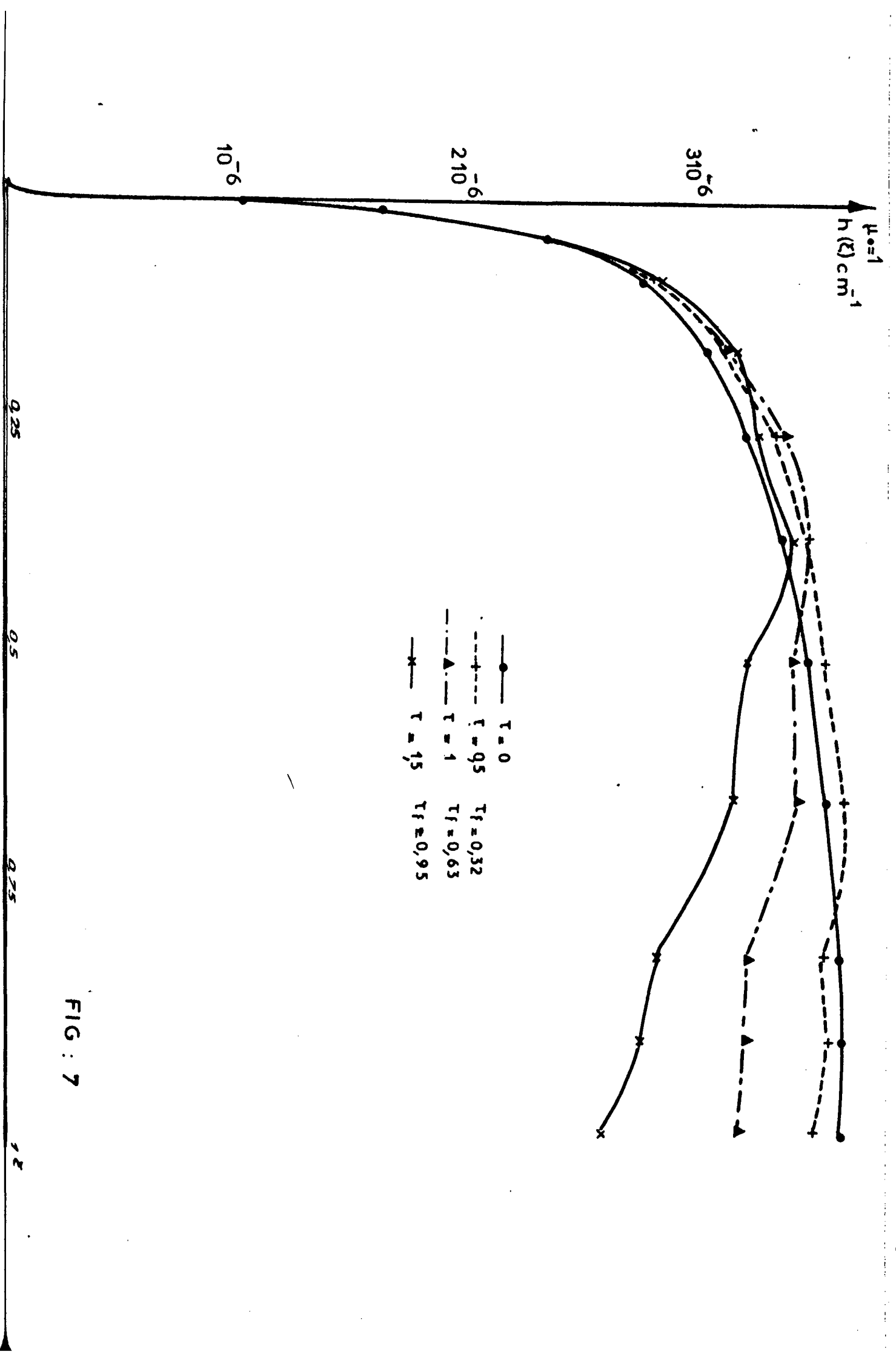


FIG : 7

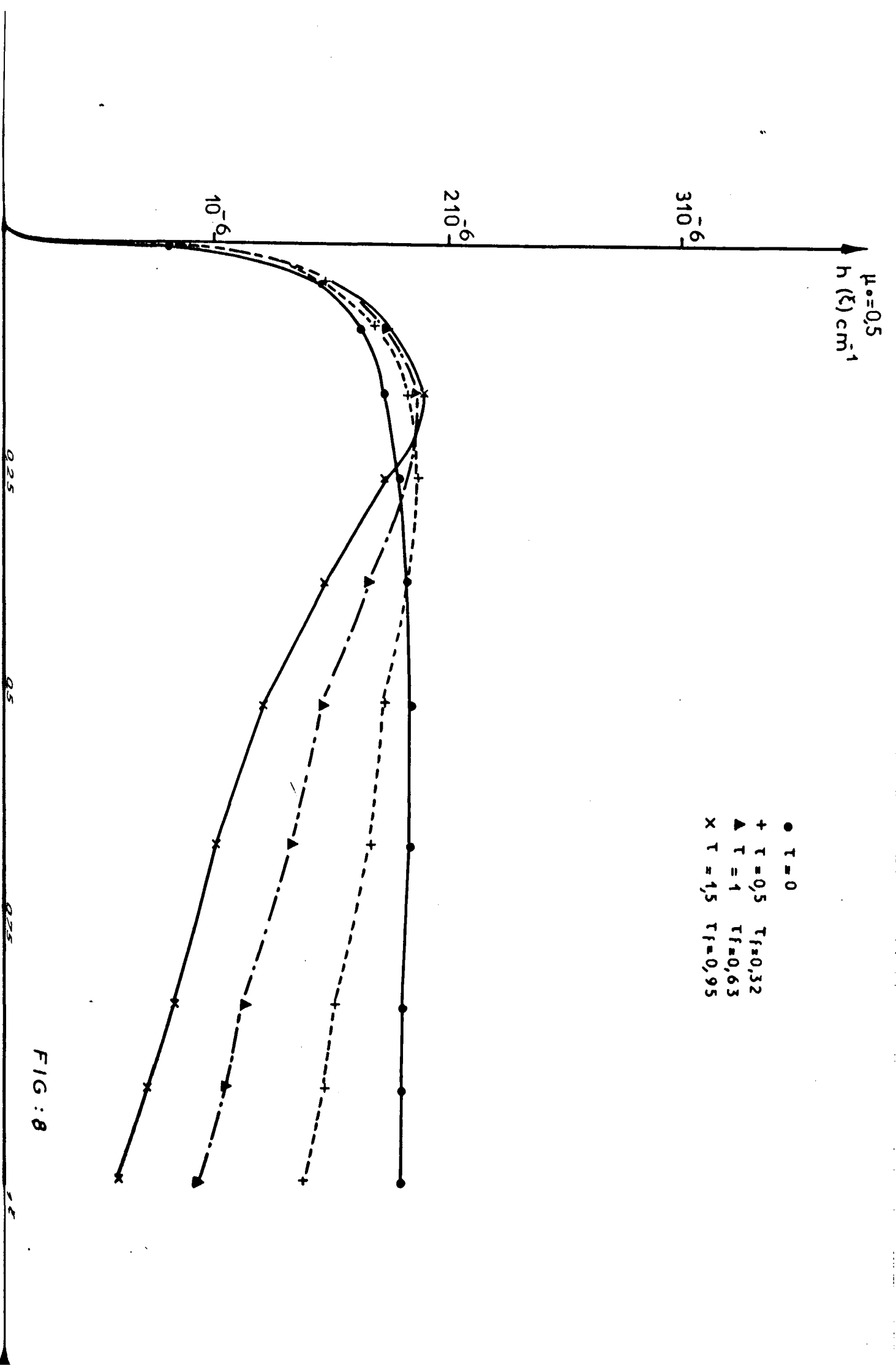


FIG : 8

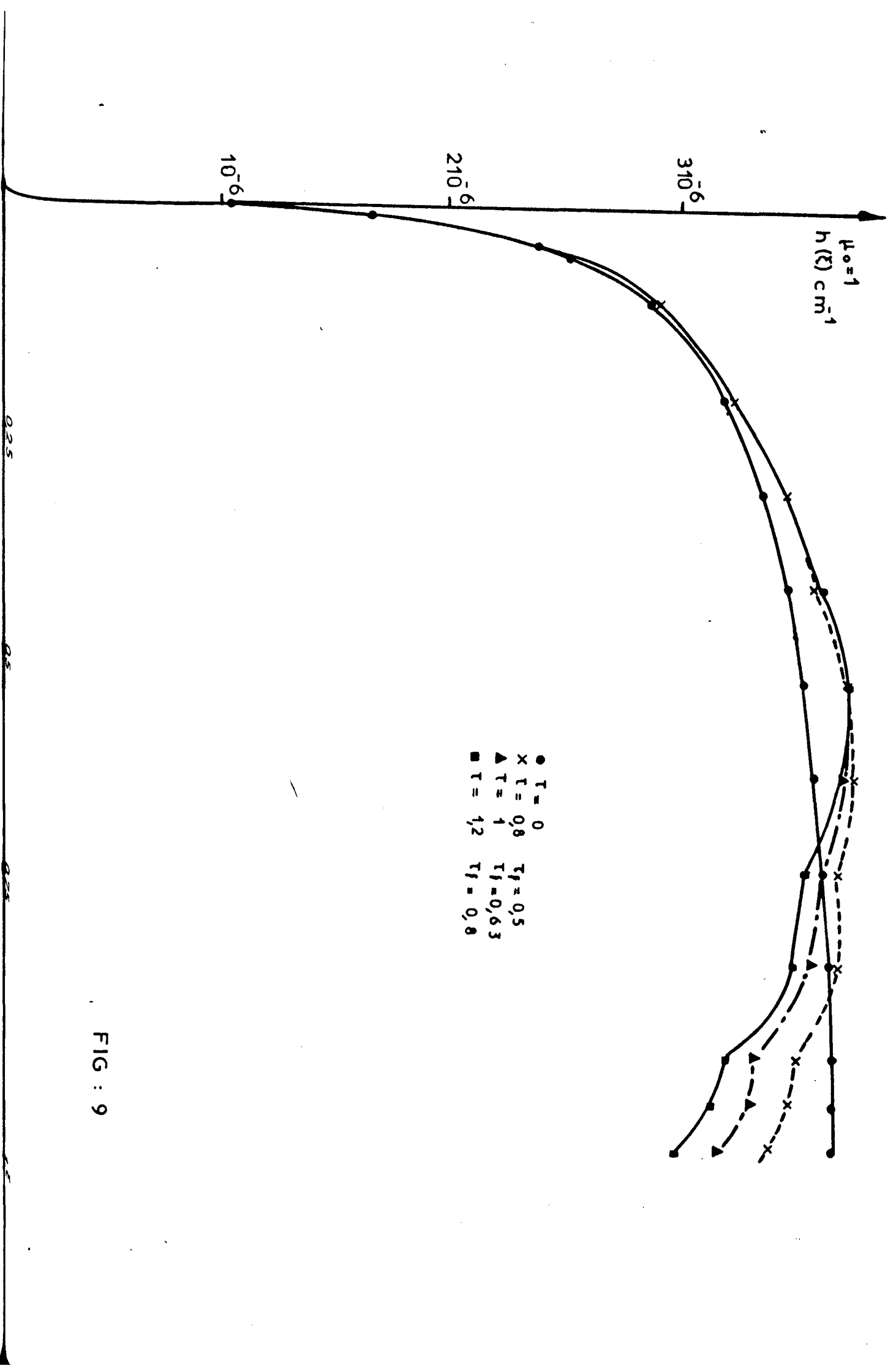


FIG : 9

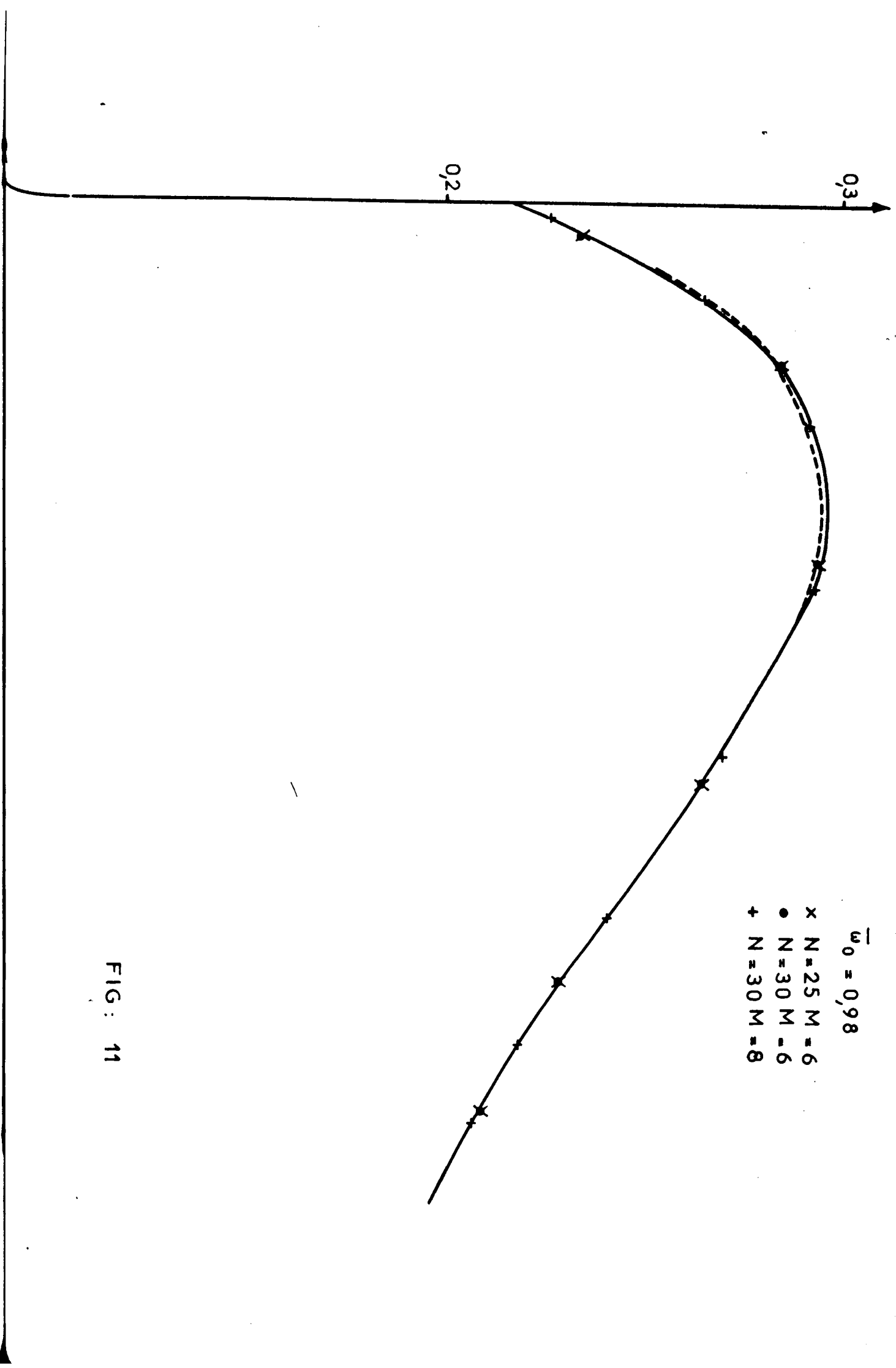


FIG: 11

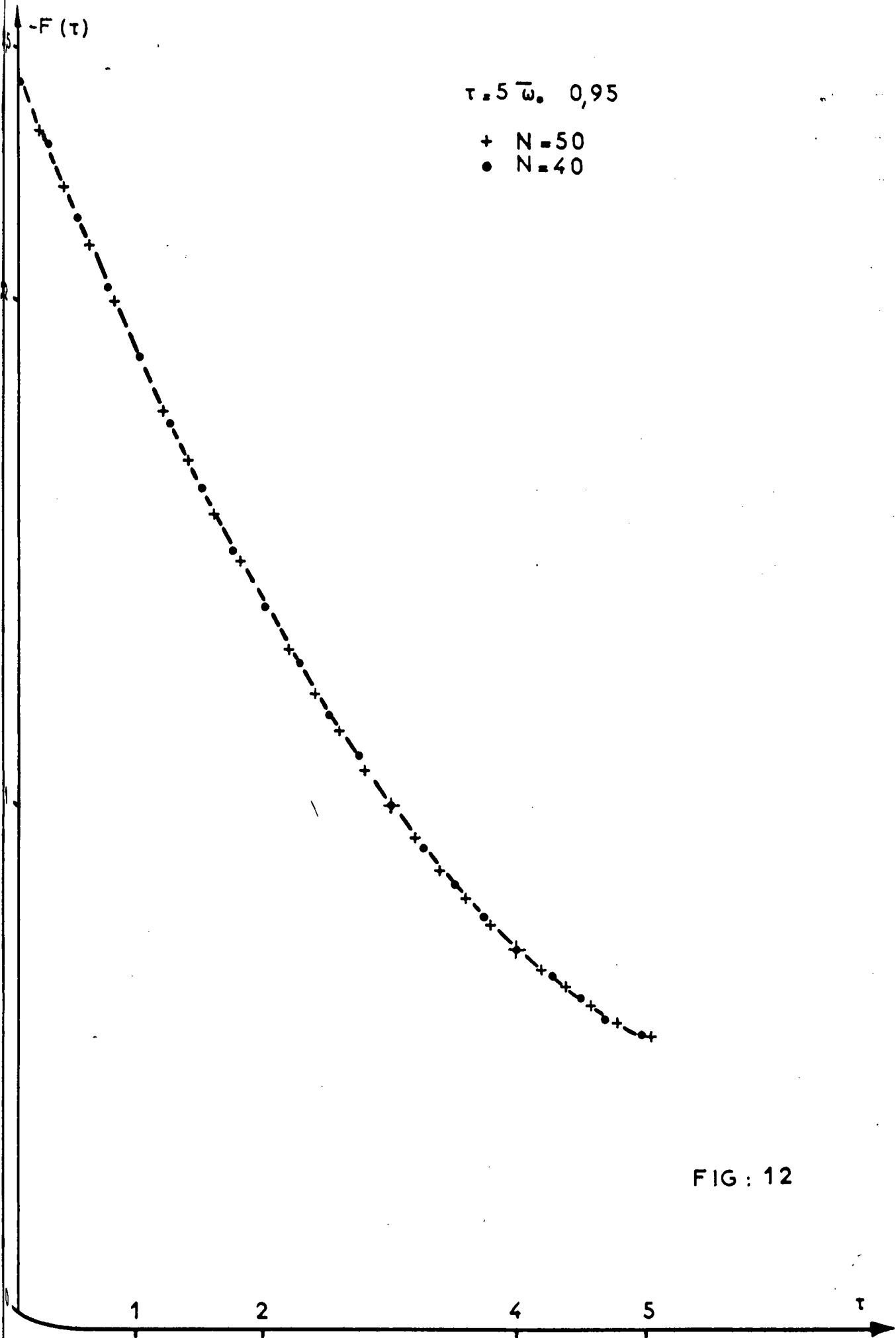


FIG: 12

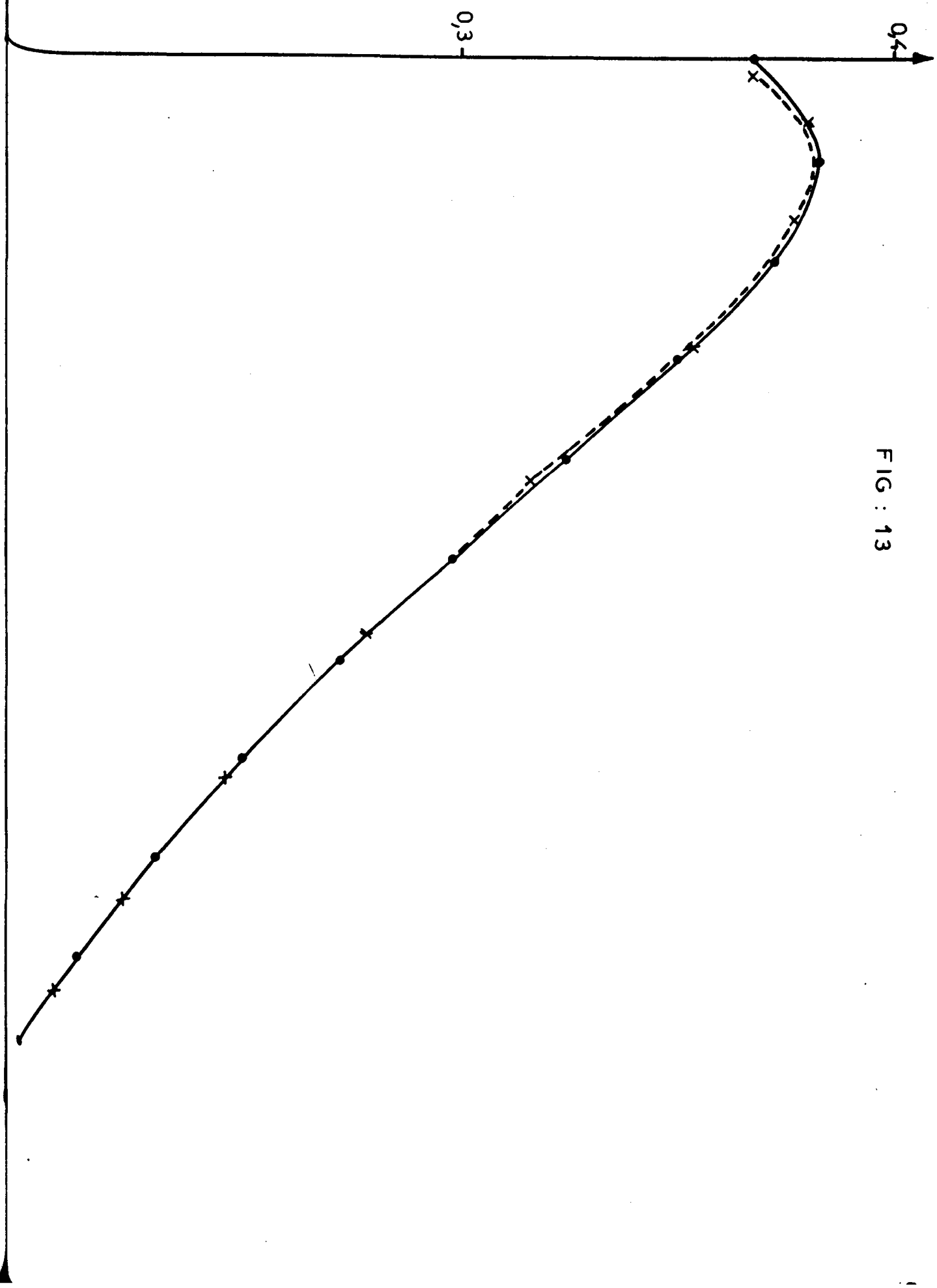


FIG : 13

FIG. 14

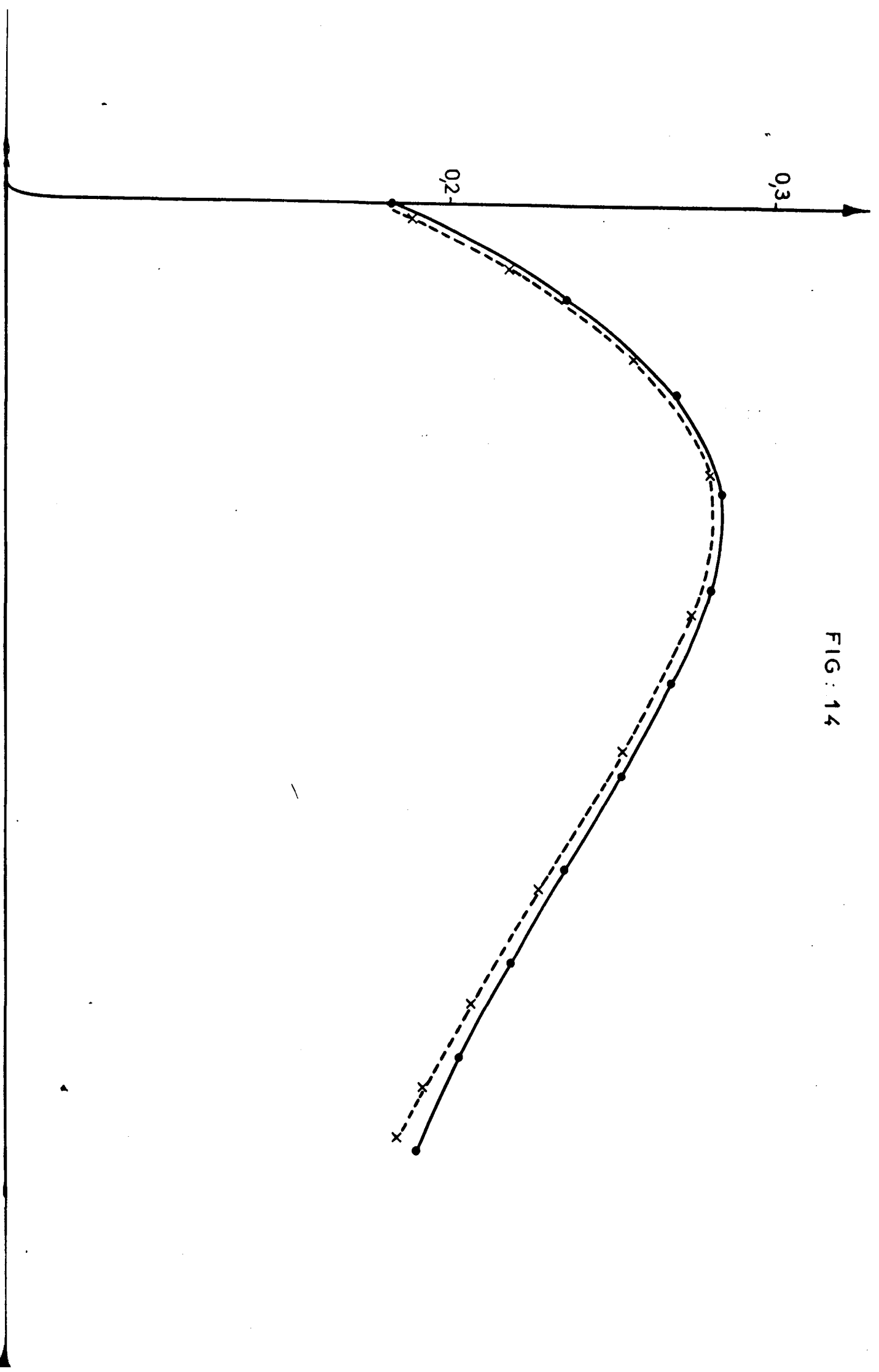
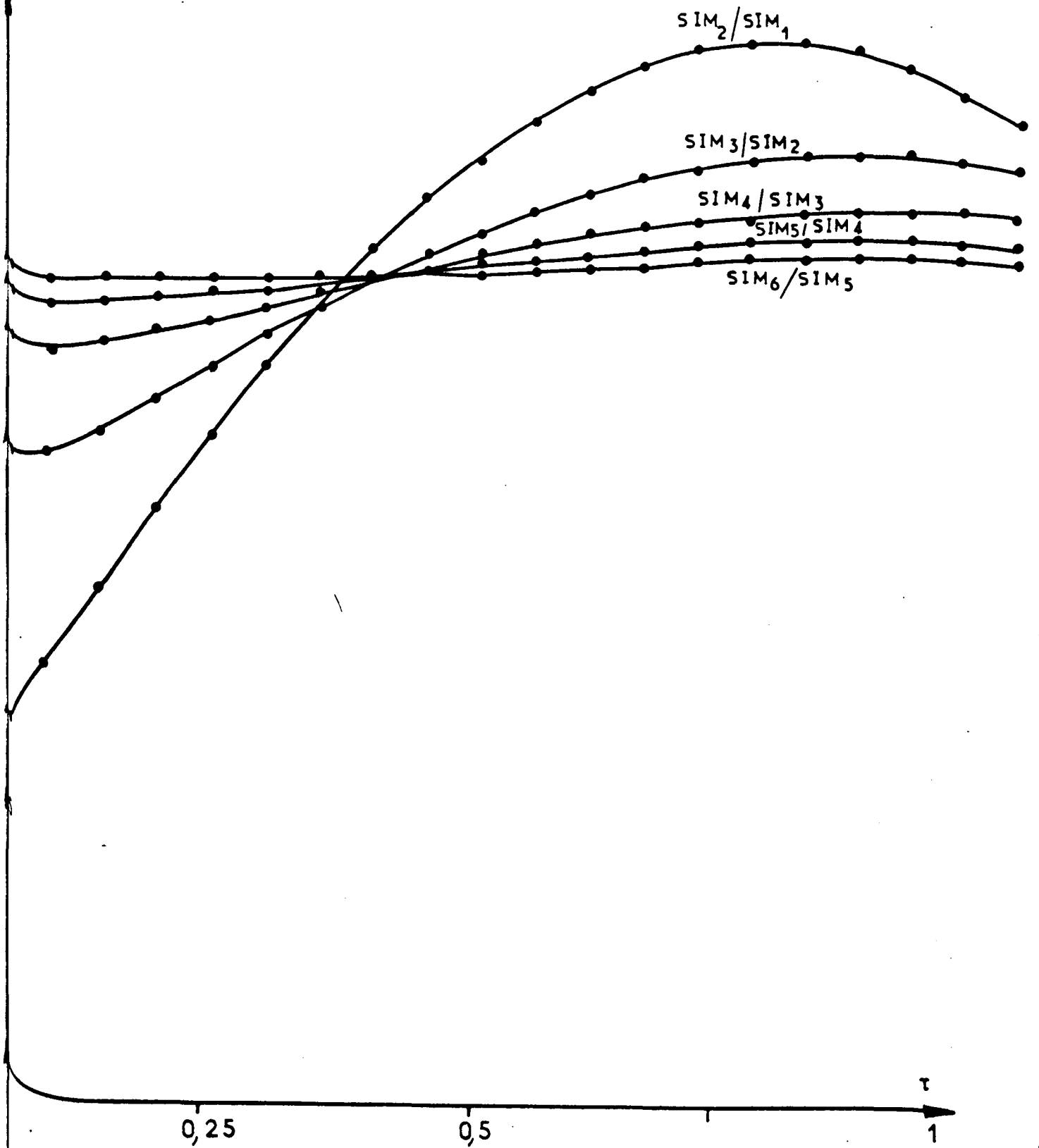


FIG: 15



RAPPORTS SUCCESSIFS

$$\frac{SIM_j}{SIM_{j-1}}$$

$\tau_F = 5$
 $\bar{\omega}_0 = 0,95$

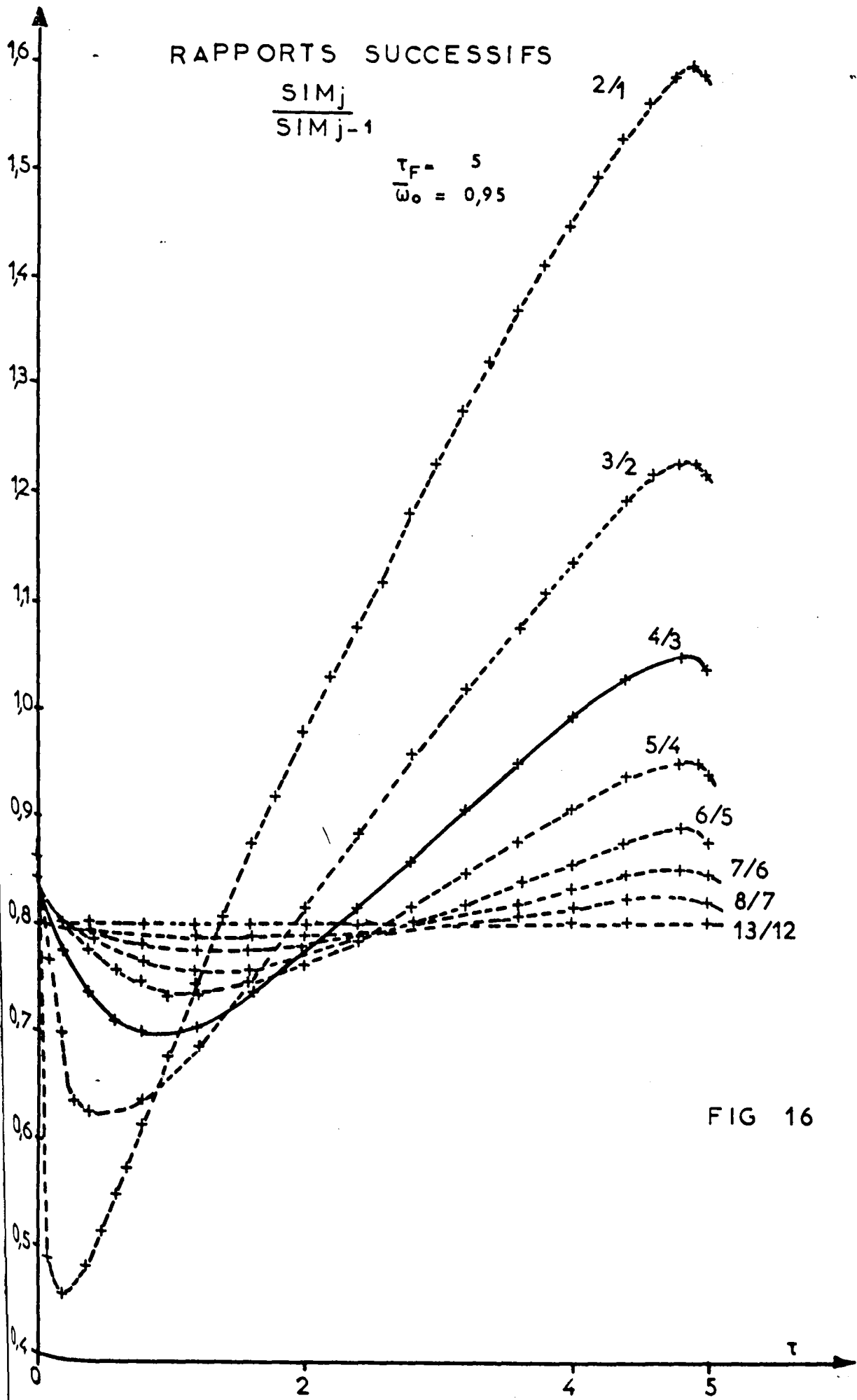


FIG 16

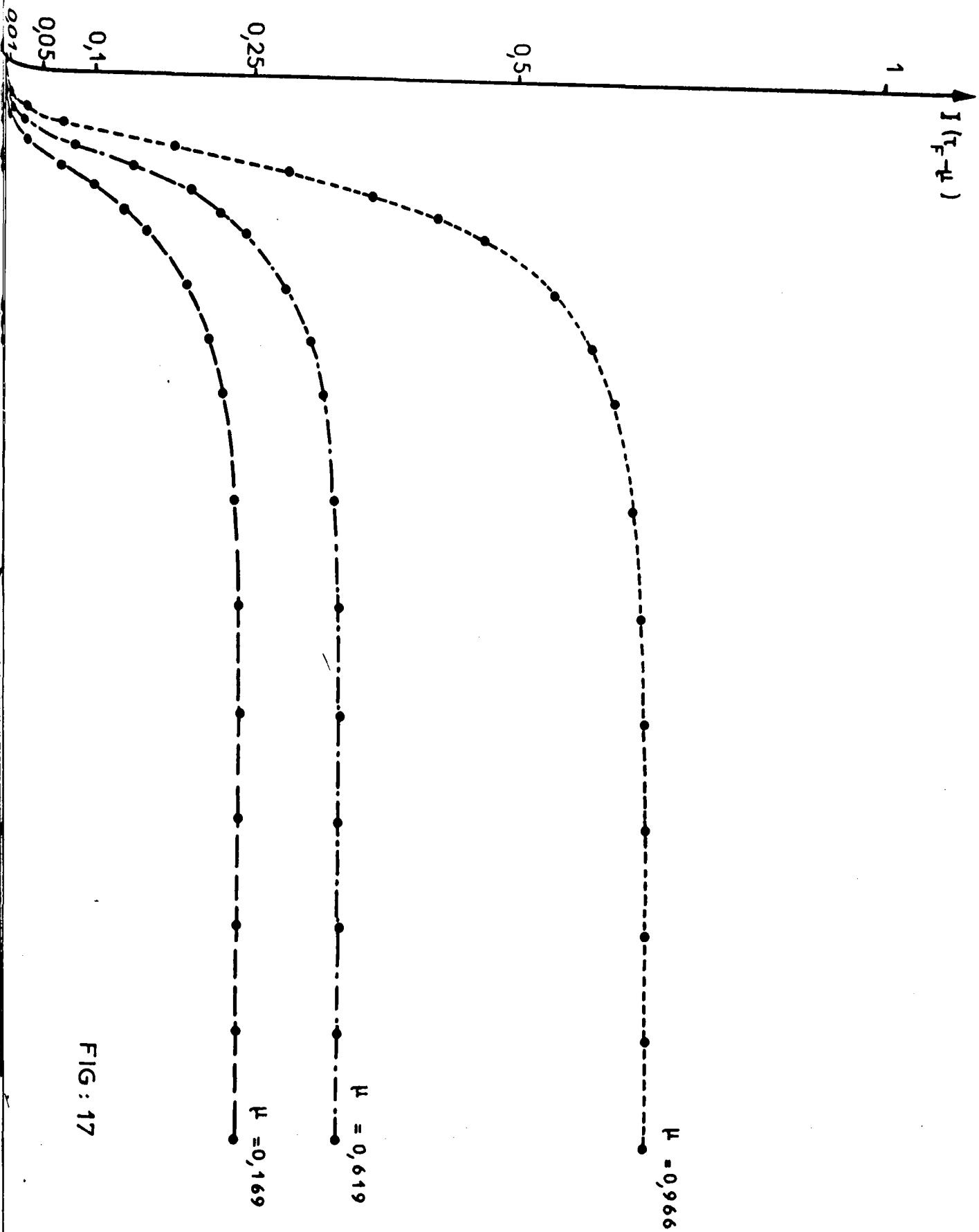


FIG: 17

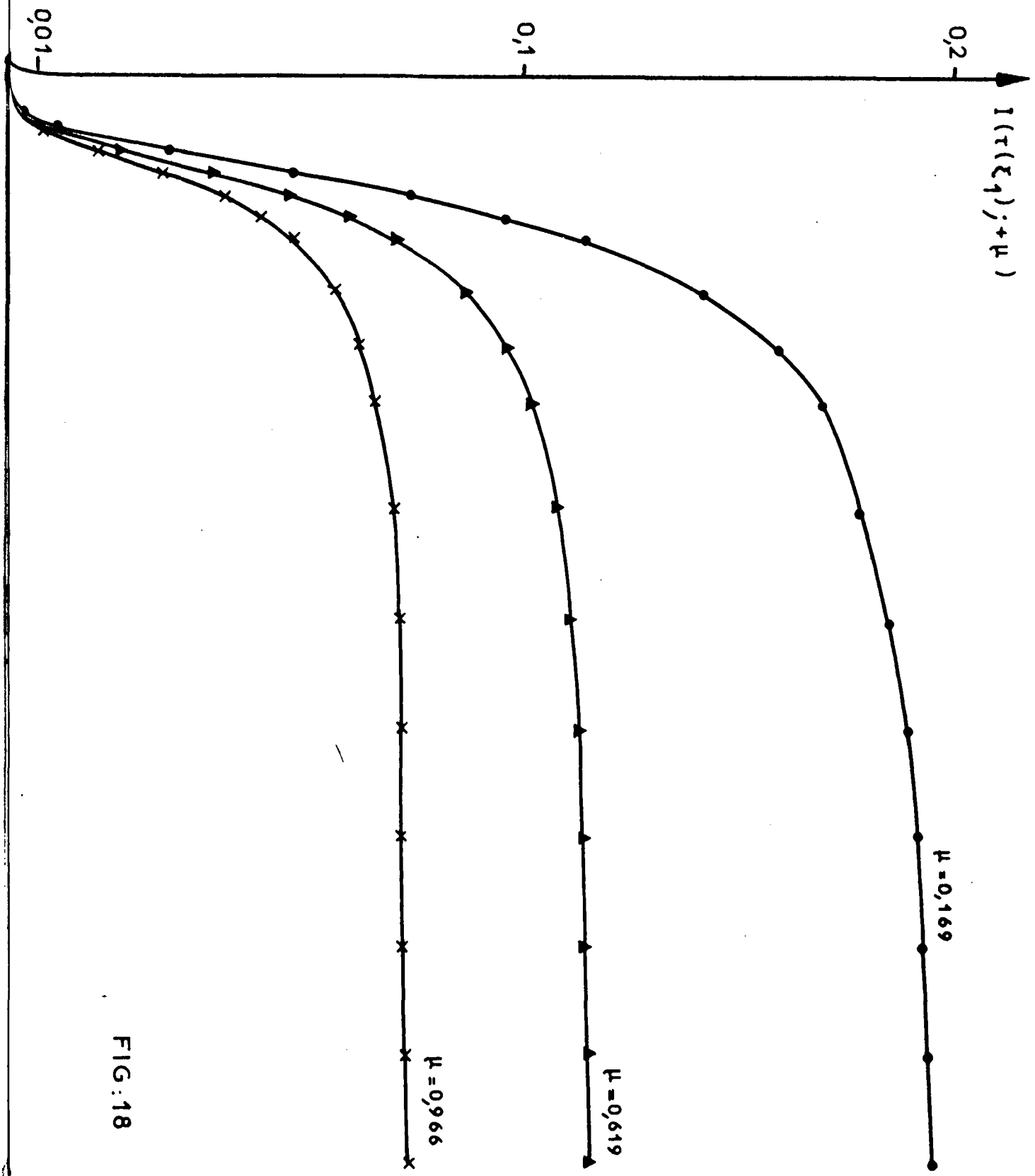


FIG:18

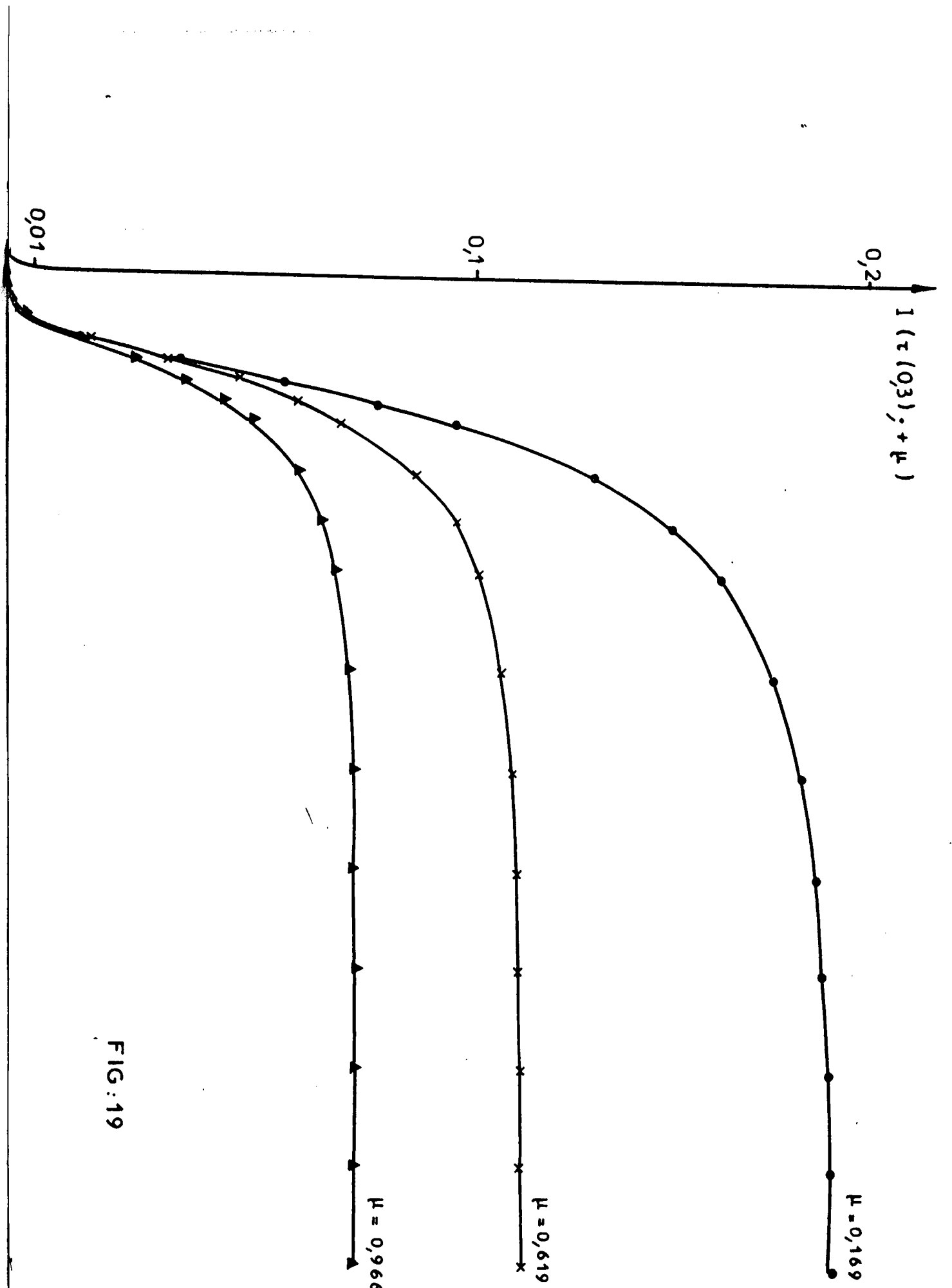
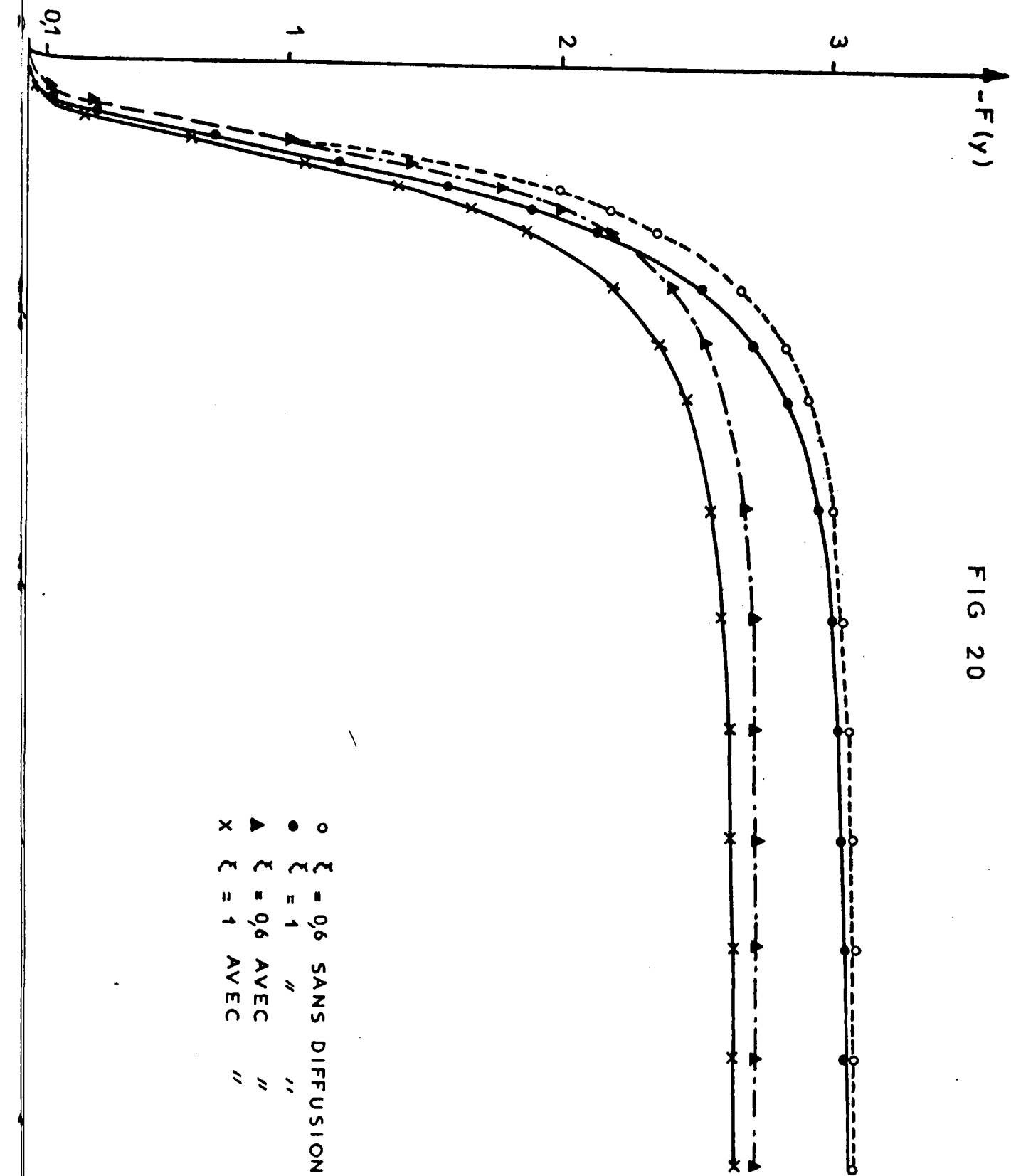


FIG: 19

FIG 20



$\Delta - F(\xi)$
Flux en $f(\xi)$

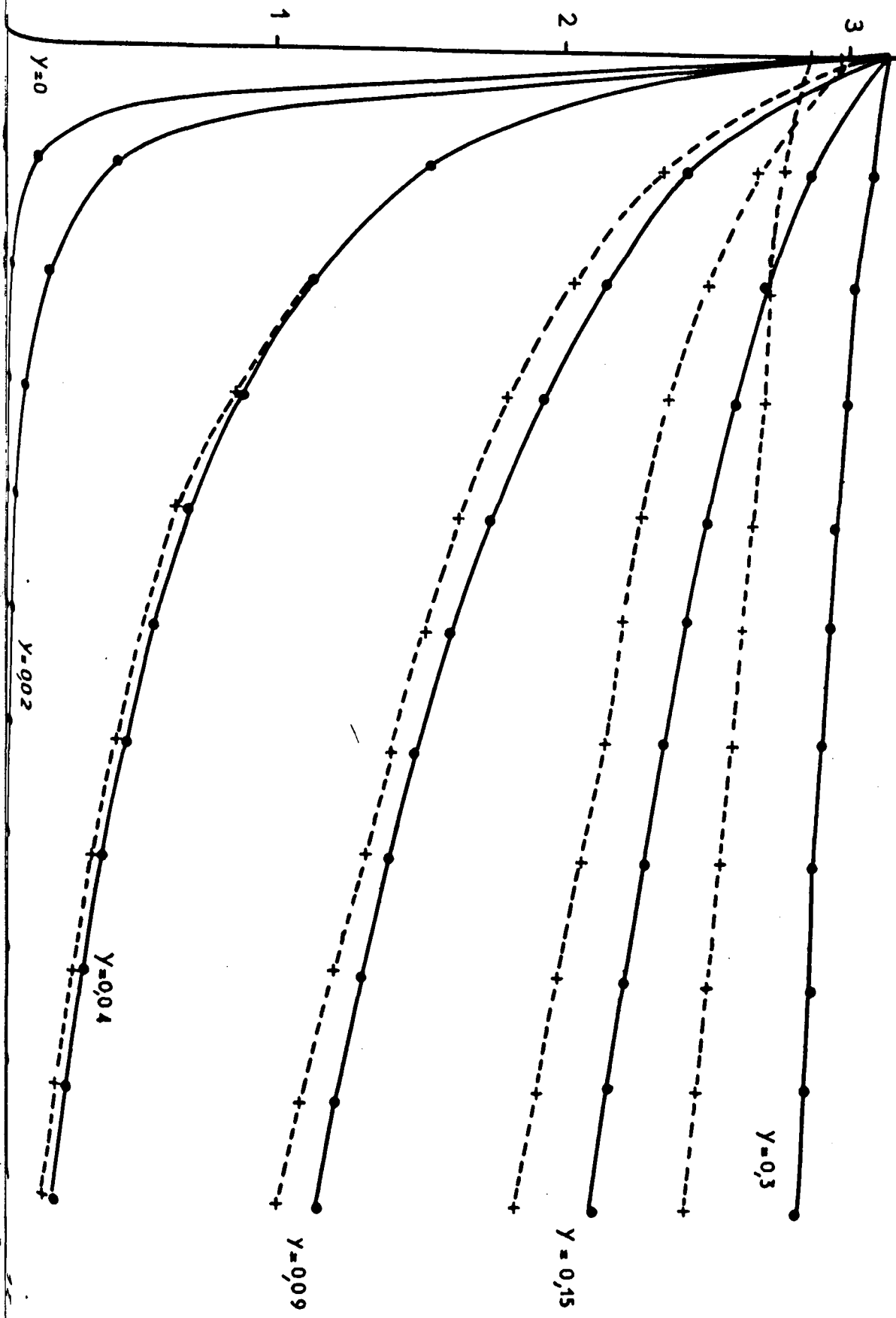
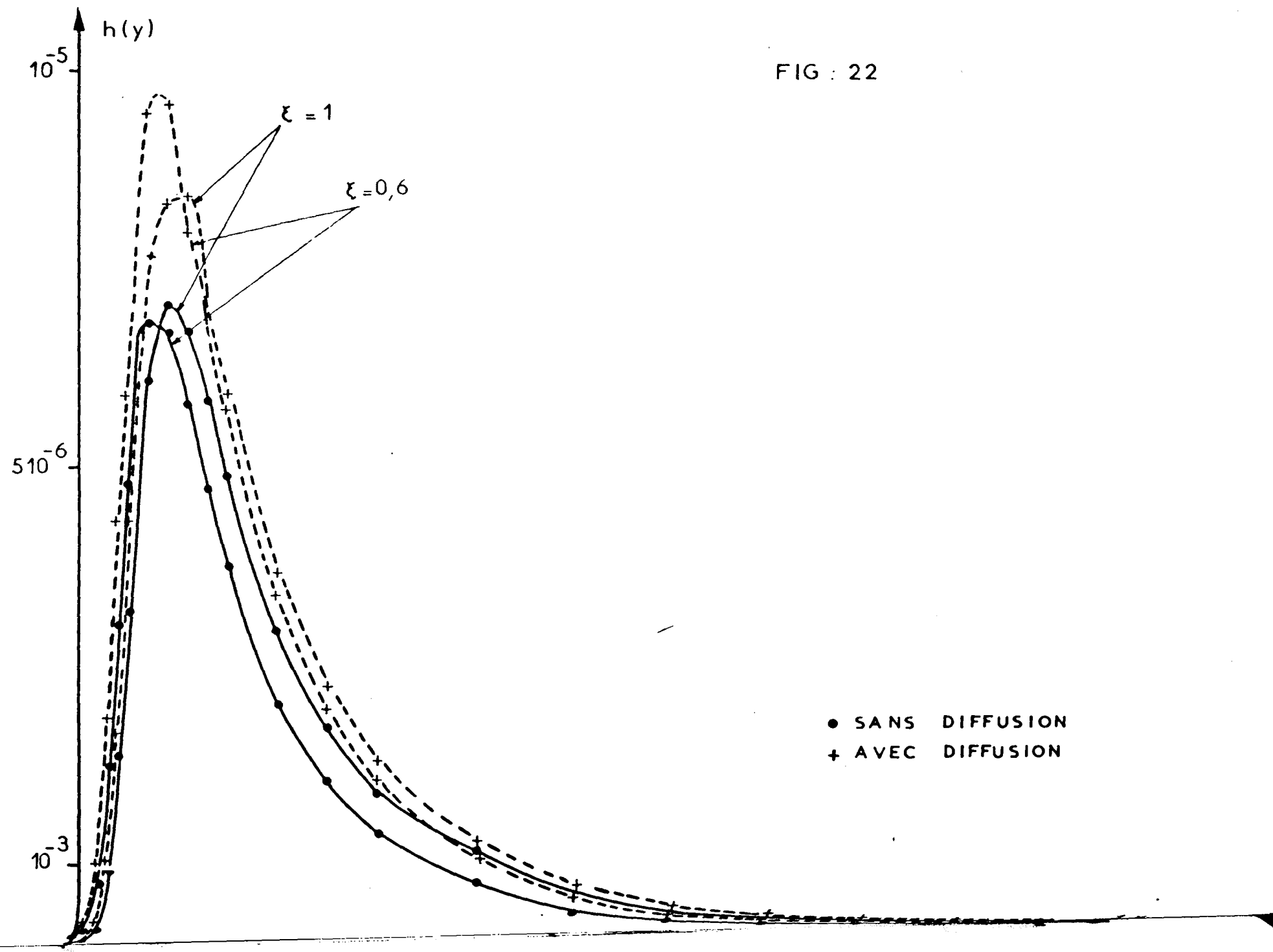


FIG : 21

FIG : 22



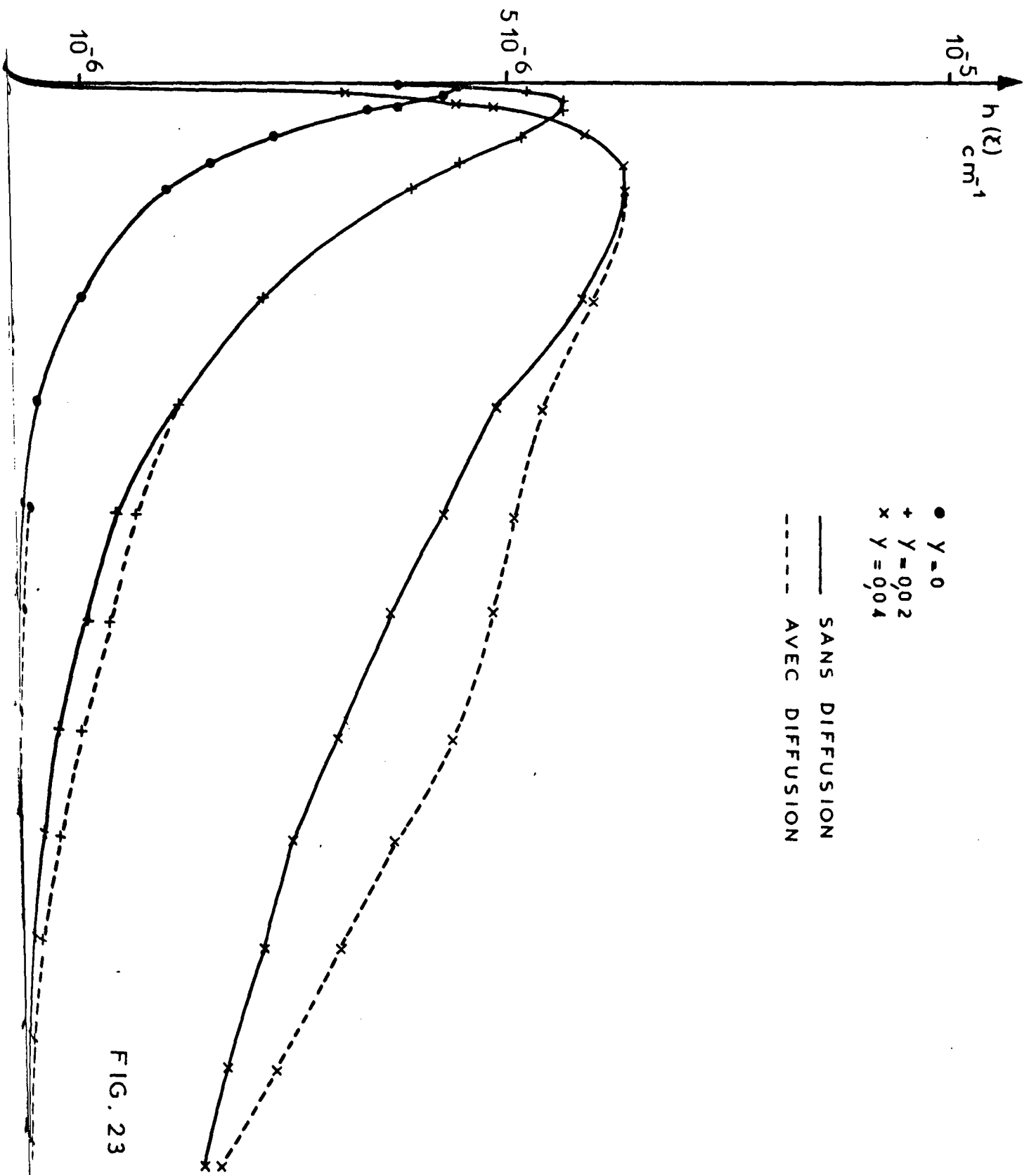


FIG. 23

$h(\xi)$
 cm^{-1}

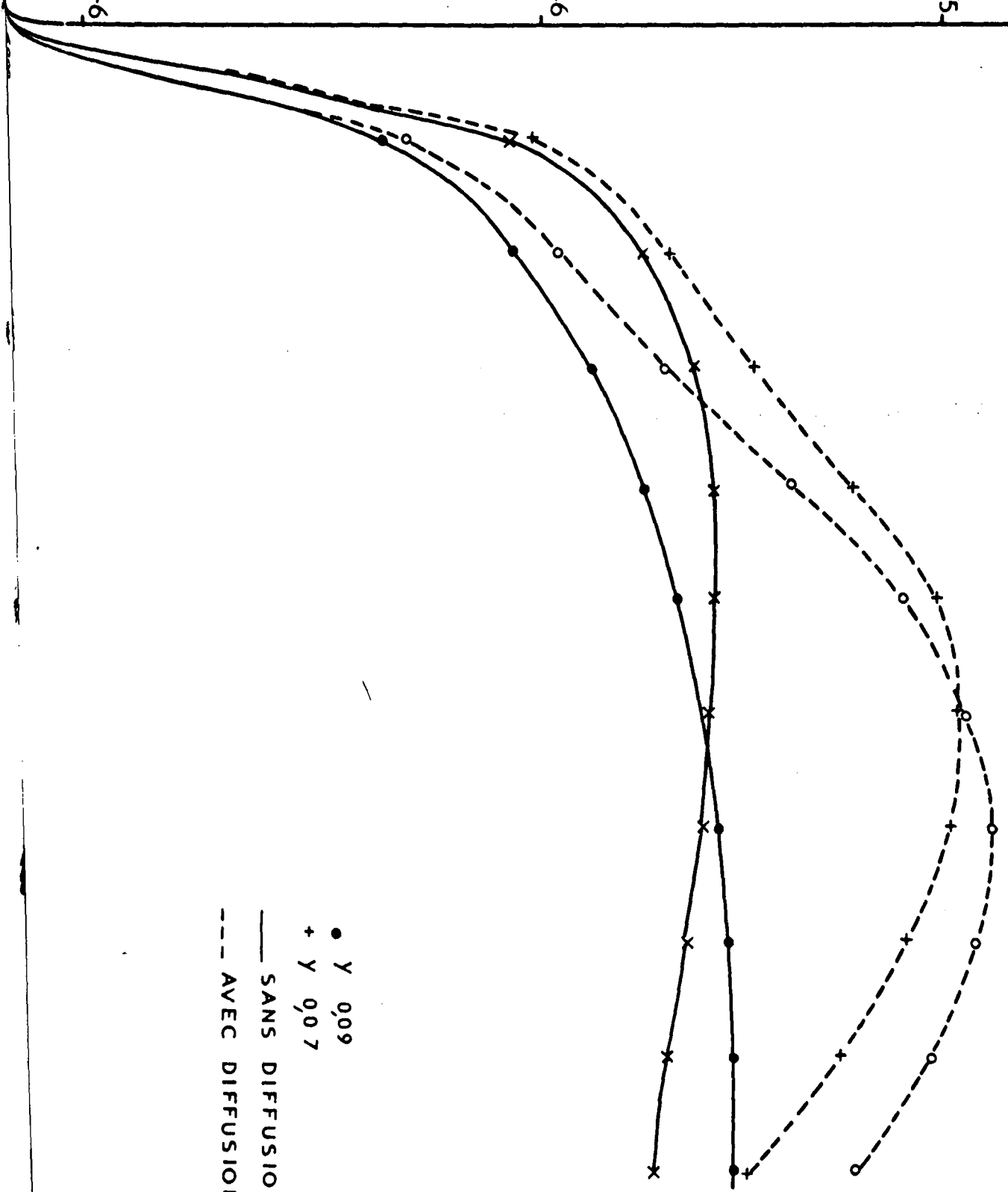
10^{-5}

$5 \cdot 10^{-6}$

10^{-6}

FIG : 24

● Y 0,09
+ Y 0,07
— SANS DIFFUSION
--- AVEC DIFFUSION



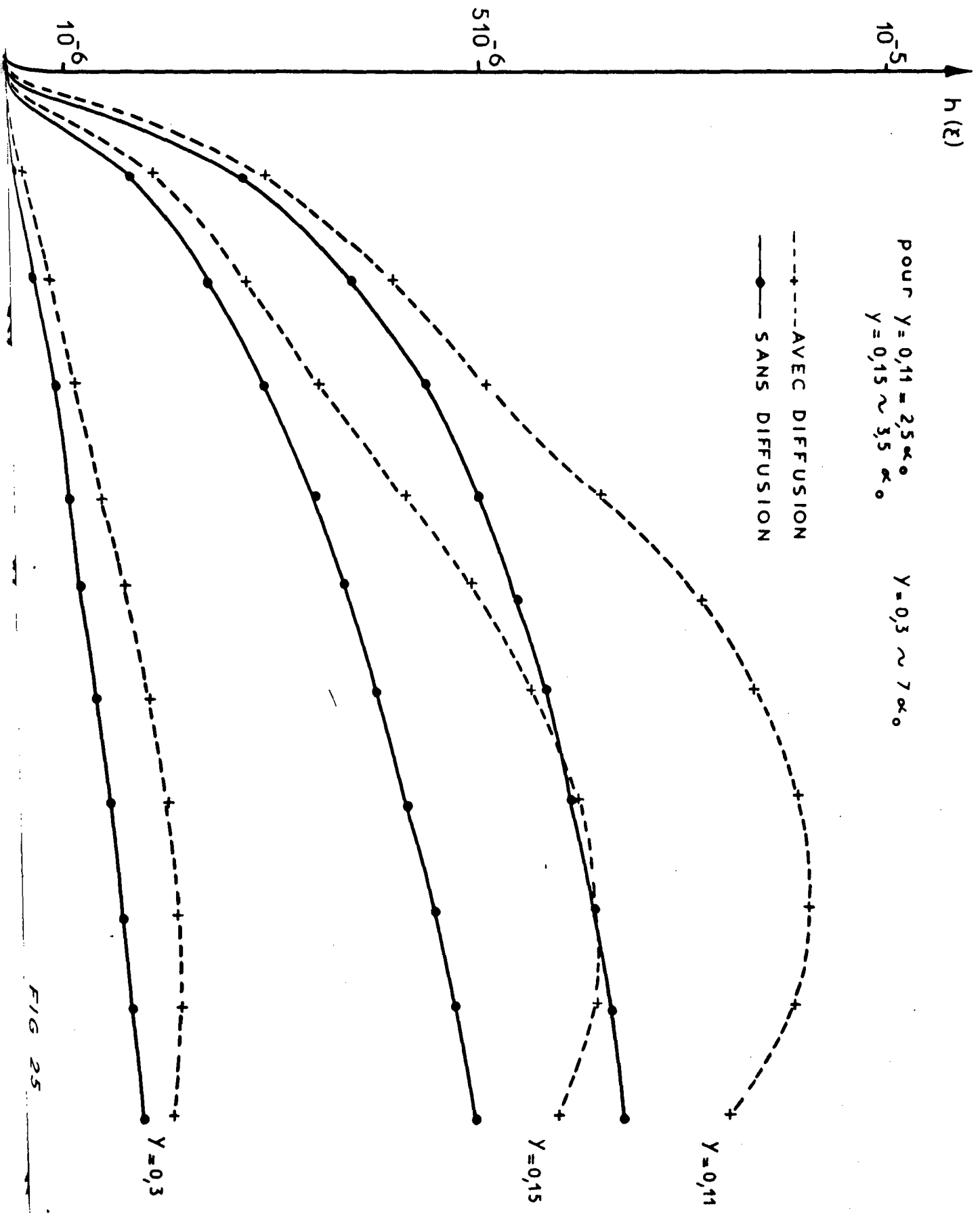


FIG 25

FIG : 26

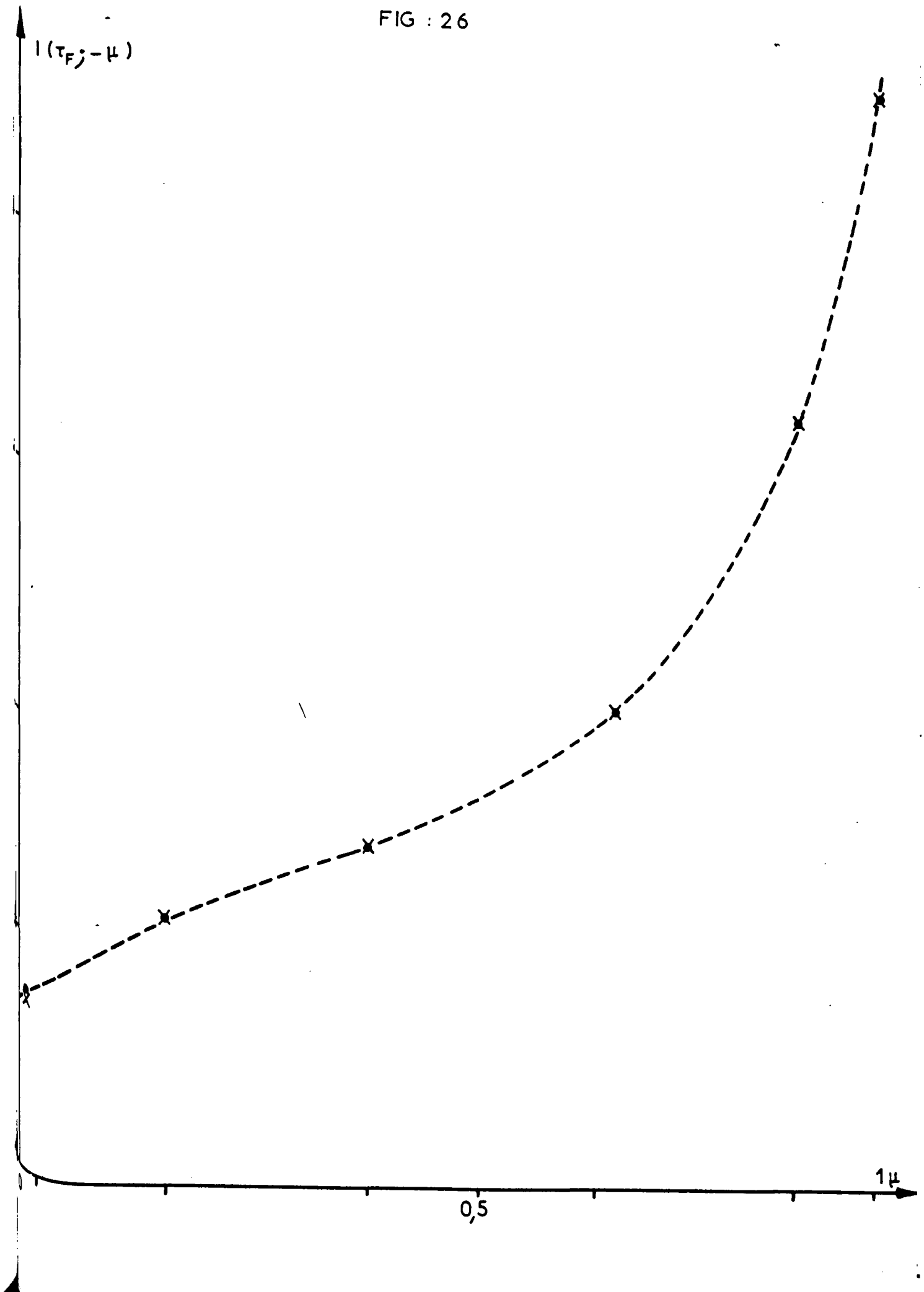
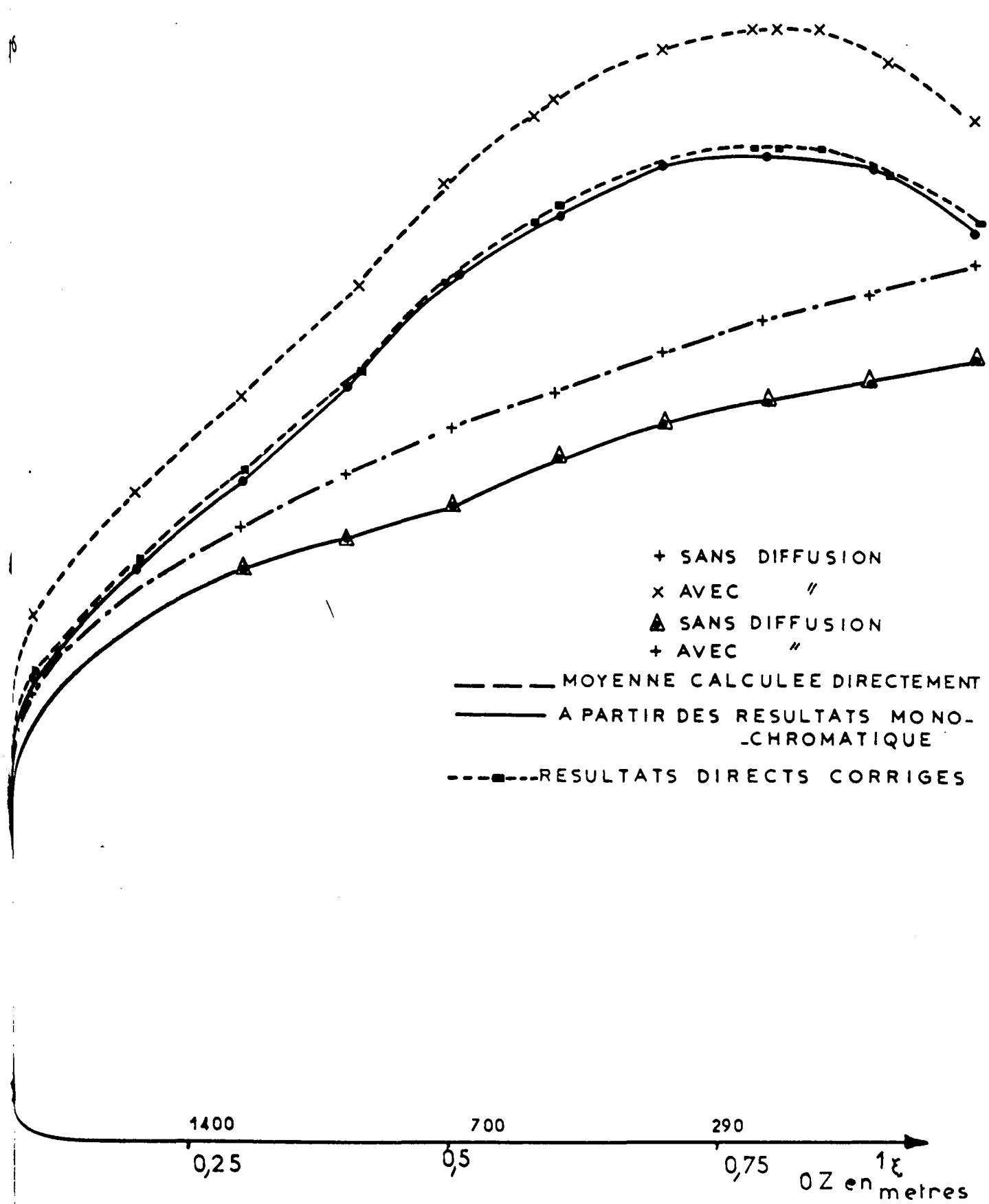
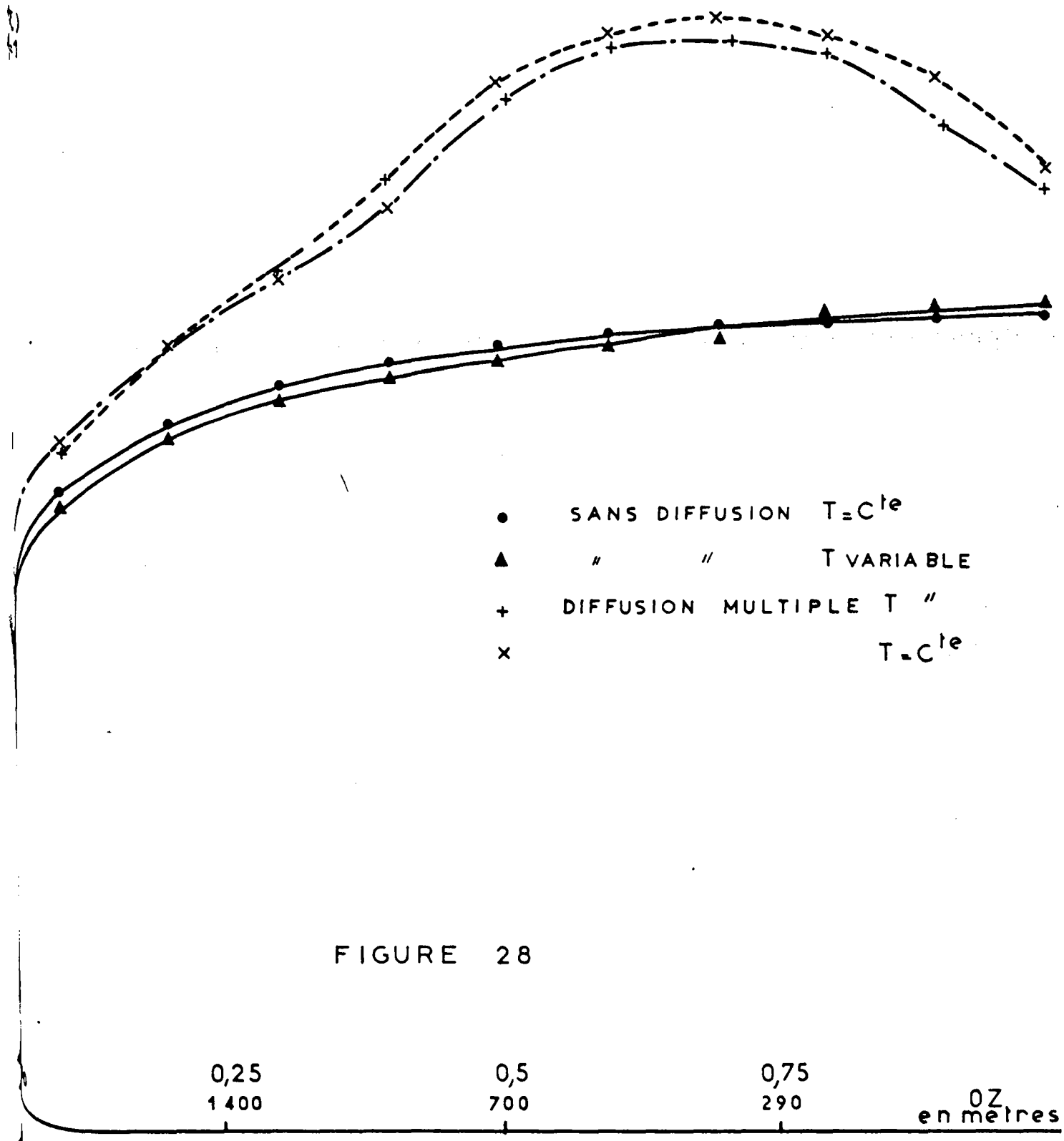


FIG : 27



50



- SANS DIFFUSION $T=C^{te}$
- ▲ " " T VARIABLE
- + DIFFUSION MULTIPLE T "
- x $T=C^{te}$

FIGURE 28

0,25 0,5 0,75
1400 700 290
en metres

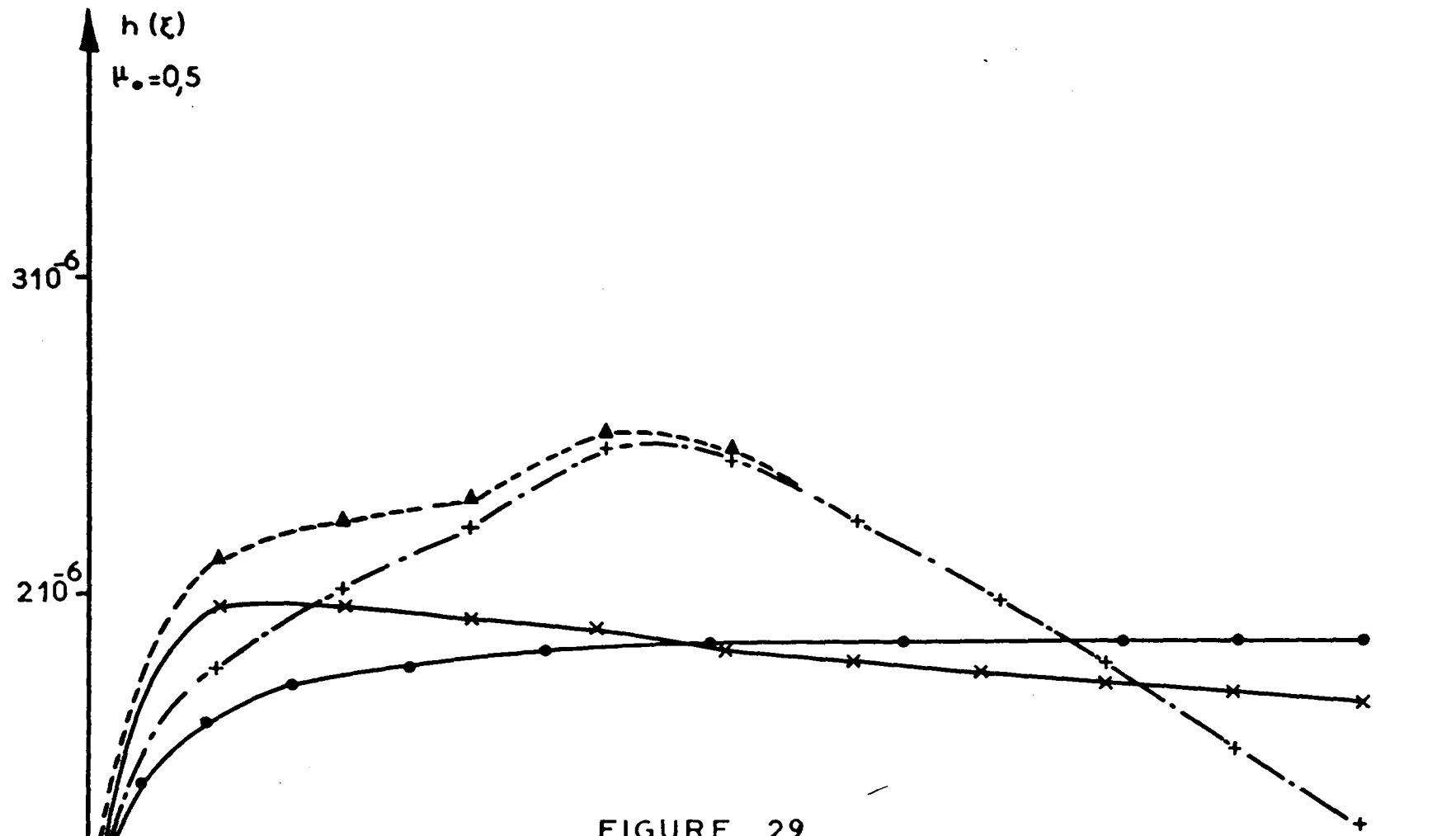


FIG : 30

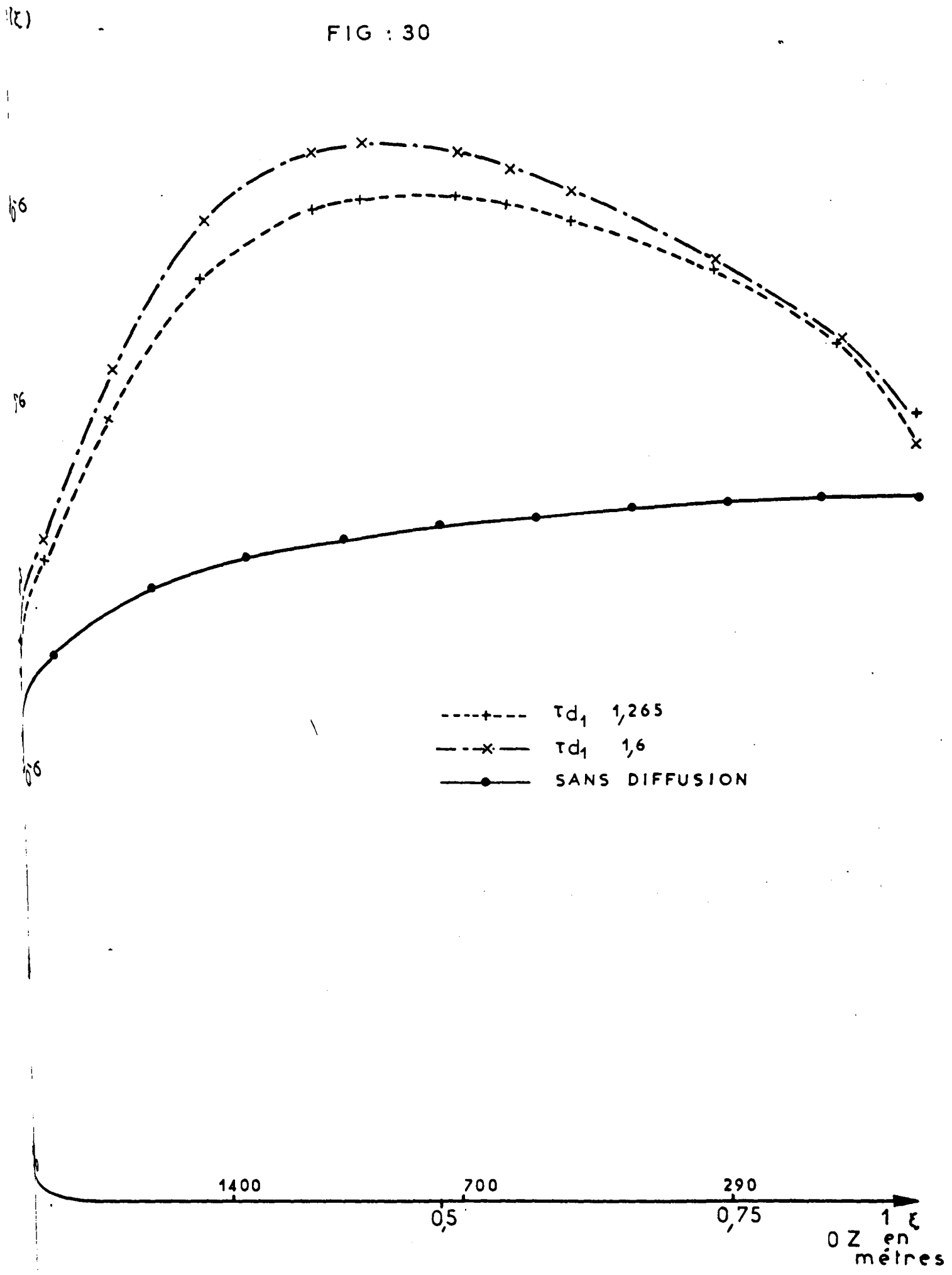
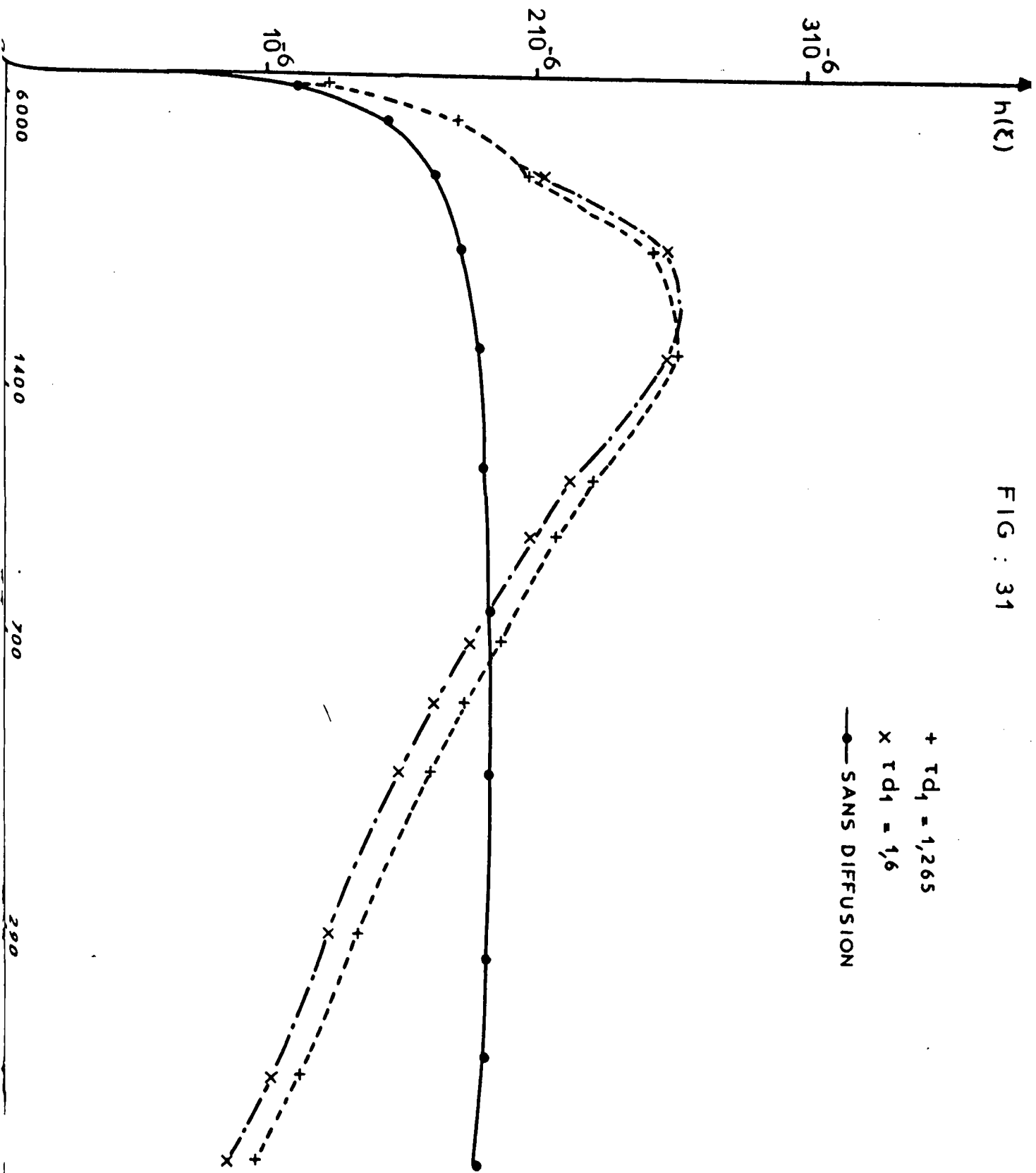


FIG : 31



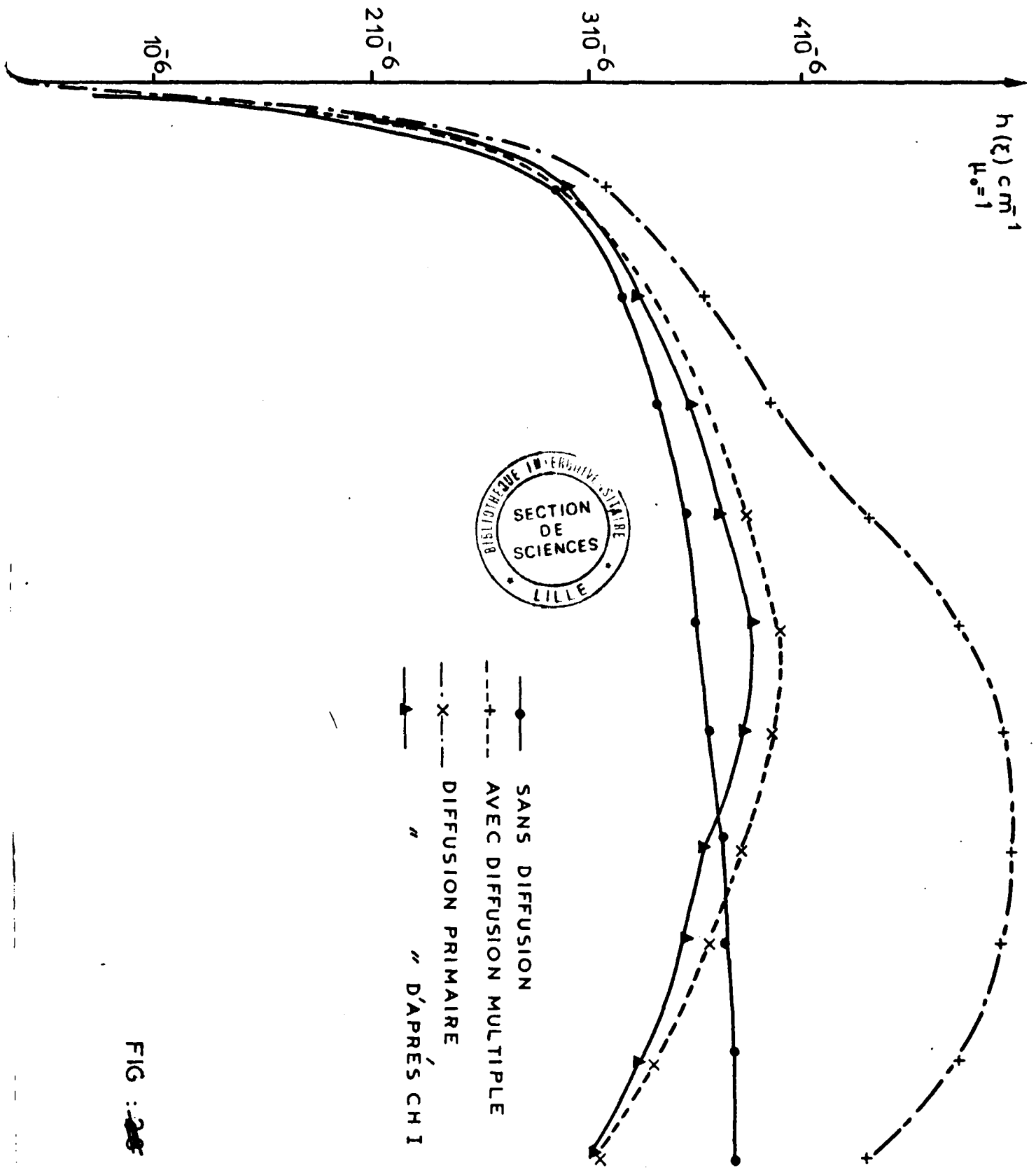


FIG : ~~28~~ 32